



TUGAS AKHIR - MN 141581

**ANALISIS PENGARUH GERAKAN KAPAL TERHADAP
ADDED WAVE RESISTANCE STUDI KASUS : KAPAL
*CORVETTE***

**Yuda Wikara Kusumah
NRP 04111340000077**



TUGAS AKHIR - MN 141581

ANALISIS PENGARUH GERAKAN KAPAL TERHADAP ADDED WAVE RESISTANCE STUDI KASUS : KAPAL CORVETTE

Yuda Wikara Kusumah

NRP 04111340000077

Dosen Pembimbing

Aries Sulisetyono, S.T., MA.Sc., Ph.D.

Teguh Putranto, S.T., M.T.

DEPARTEMEN TEKNIK PERKAPALAN

FAKULTAS TEKNOLOGI KELAUTAN

INSTITUT TEKNOLOGI SEPULUH NOPEMBER

SURABAYA

2018



FINAL PROJECT - MN 141581

**STUDY ON THE INFULUENCE OF SHIP MOTION TO
ADDED WAVE RESISTANCE ON CORVETTE WARSHIP**

Yuda Wikara Kusumah

NRP 04111340000077

Supervisor(s)

Aries Sulisetyono, S.T., M.A.Sc., Ph.D.

Teguh Putranto, S.T., M.T.

DEPARTMENT OF NAVAL ARCHITECTURE

FACULTY OF MARINE TECHNOLOGY

SEPULUH NOPEMBER INSTITUTE OF TECHNOLOGY

SURABAYA

2018

LEMBAR PENGESAHAN

ANALISIS PENGARUH GERAKAN KAPAL TERHADAP ADDED WAVE RESISTANCE STUDI KASUS : KAPAL *CORVETTE*

TUGAS AKHIR

Diajukan Guna Memenuhi Salah Satu Syarat

Memperoleh Gelar Sarjana Teknik

pada

Bidang Keahlian Rekayasa Perkapalan – Hidrodinamika

Program Sarjana Departemen Teknik Perkapalan

Fakultas Teknologi Kelautan

Institut Teknologi Sepuluh Nopember

Oleh:

YUDA WIKARA KUSUMAH

NRP 4113100077

Disetujui oleh Dosen Pembimbing Tugas Akhir:

Dosen Pembimbing I

Aries Sulisetyono, S.T., M.A.Sc., Ph.D.

NIP 19710320 199512 1 002

Dosen Pembimbing II

Teguh Putranto, S.T., M.T.

NIP 19900513 201404 1 001

Mengetahui,

Kepala Departemen Teknik Perkapalan

Ir. Wasis Dwi Aryawan, M.Sc., Ph.D.

NIP 19640210 198903 1 001

SURABAYA, JANUARI 2018

LEMBAR REVISI

ANALISIS PENGARUH GERAKAN KAPAL TERHADAP ADDED WAVE RESISTANCE STUDI KASUS : KAPAL CORVETTE

TUGAS AKHIR

Telah direvisi sesuai dengan hasil Ujian Tugas Akhir
Tanggal 24 Januari 2018

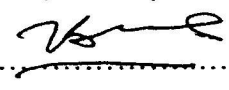
Bidang Keahlian Rekayasa Perkapalan – Hidrodinamika
Program Sarjana Departemen Teknik Perkapalan
Fakultas Teknologi Kelautan
Institut Teknologi Sepuluh Nopember

Oleh:

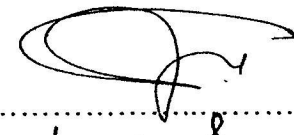
YUDA WIKARA KUSUMAH

NRP 04111340000077

Disetujui oleh Tim Penguji Ujian Tugas Akhir:

1. Sri Rejeki, S.T., M.T. 
2. Prof. Ir. I Ketut Aria Pria Utama, M.Sc., Ph.D
3. Dr. Ir. Ketut Suastika, M.Sc. 

Disetujui oleh Dosen Pembimbing Tugas Akhir:

1. Aries Sulisetyono S.T., MA.Sc., Ph.D. 
2. Teguh Putranto S.T., M.T. 

SURABAYA, 24 JANUARI 2018

Dipersembahkan kepada Ibu (Henni Kariah) dan Bapak (Djohardi Angga Kusumah) tercinta
atas segala dukungan dan doanya

KATA PENGANTAR

Puji syukur kepada Tuhan Yang Maha Esa karena atas karunianya Tugas Akhir ini dapat diselesaikan dengan baik.

Pada kesempatan ini Penulis ingin mengucapkan terima kasih kepada pihak-pihak yang membantu penyelesaian Tugas Akhir ini, yaitu:

1. Allah SWT.
2. Ibu, Bapak, dan segenap keluarga penulis yang telah memberikan dukungan dan doa nya.
3. Bapak Aries Sulisetyono S.T., MA.Sc., Ph.D. dan Bapak Teguh Putranto, S.T., M.T selaku Dosen Pembimbing atas bimbingan dan motivasinya selama penggerjaan dan penyusunan Tugas Akhir ini;
4. Bapak Teguh Putranto S.T., M.T. selaku Dosen Wali yang telah memberikan bimbingan, waktu, ilmu, dan arahan kepada penulis selama masa perkuliahan.
5. Bapak Ir. Wasis Dwi Aryawan, M.Sc., Ph.D selaku Ketua Departemen Teknik Perkapalan FTK-ITS.
6. Seluruh dosen dan karyawan Departemen Teknik Perkapalan FTK-ITS.
7. Teman-teman Departemen Perkapalan Angkatan 2013 atas pertemanan dan kerja sama selama masa perkuliahan.
8. Semua pihak yang telah membantu penulis mengerjakan Tugas Akhir ini baik secara langsung maupun tidak langsung yang tidak dapat disebutkan satu persatu.

Penulis menyadari bahwa Tugas Akhir ini masih jauh dari kesempurnaan, sehingga kritik dan saran yang bersifat membangun sangat diharapkan. Akhir kata semoga laporan ini dapat bermanfaat bagi banyak pihak.

Surabaya, 24 Januari 2018

ANALISIS PENGARUH GERAKAN KAPAL TERHADAP ADDED WAVE RESISTANCE STUDI KASUS : KAPAL CORVETTE

Nama Mahasiswa : Yuda Wikara Kusumah
NRP : 04111340000077
Departemen / Fakultas : Teknik Perkapalan / Teknologi Kelautan
Dosen Pembimbing : 1. Aries Sulisetyono, S.T., MA.Sc., Ph.D.
2. Teguh Putranto, S.T., M.T.

ABSTRAK

Ketika kapal berlayar di laut, kapal membutuhkan tenaga tambahan. Hal ini disebabkan pada perairan bergelombang kapal mengalami gerakan heave dan pitch yang bisa mengakibatkan adanya *added wave resistance*, *added power*, dan *speed loss*. Nilai *added wave resistance* terbesar untuk ketiga metode terdapat pada *sea state 6*, dengan *heading angle* 90. Hasil *added wave resistance* menggunakan metode Havelock Theory tertinggi yaitu 33.33 KN. Nilai terbesar *added wave resistance* dengan menggunakan Salvesen yaitu sebesar 24.73 KN. Untuk metode Gerritsma & Beukelman nilai tertinggi yaitu sebesar 45.89 KN. Nilai RMS terbesar antara metode Havelock dengan Gerritsma & Beukelman yaitu 0,969 pada *sea state 2* dan *heading angle* 180. Sedangkan antara metode Havelock dengan Salvesen nilai RMS terbesar yaitu 0,932 pada *sea state 2* dan *heading angle* 135. Untuk perbandingan antara metode Gerritsma & Beukelman dengan Salvesen, didapatkan nilai RMS terbesar yaitu 2,771 pada *sea state 2* dan *heading angle* 180. Nilai *added power* untuk metode Salvesen, Gerritsma & Beukelman, dan Havelock Theory memiliki nilai terbesar pada *sea state 6* dengan *heading angle* 90. Nilai *added power* tertinggi untuk metode Salvesen yaitu 381.6 kW. Untuk metode Gerritsma & Beukelman memiliki nilai *added power* terbesar yaitu 708.1 kW. Nilai terbesar *added power* untuk metode Havelock Theory yaitu 514.4 kW. Nilai *speed loss* untuk metode Salvesen, Gerritsma & Beukelman, dan Havelock Theory memiliki nilai terbesar pada *sea state 6* dengan *heading angle* 90. Nilai *speed loss* tertinggi untuk metode Salvesen yaitu 0.2053 knot. Untuk metode Gerritsma & Beukelman memiliki nilai *speed loss* terbesar yaitu 1.1328 knot. Nilai terbesar *speed loss* untuk metode Havelock Theory yaitu 1.0009 knot.

Kata Kunci: Kapal *Corvette*, *Added Wave Resistance*, *Added Power*, *Speed Loss*

STUDY ON THE INFULUENCE OF SHIP MOTION TO ADDED WAVE RESISTANCE ON CORVETTE WARSHIP

Author : Yuda Wikara Kusumah

ID No. : 04111340000077

Dept. / Faculty : Naval Architecture / Marine Technology

Supervisors : 1. Aries Sulisetyono, S.T., MA.Sc., Ph.D.

2. Teguh Putranto S.T.,M.T.

ABSTRACT

A ship needs an added power when it is sailing through a seaway. The reason behind this is because when a ship sails through a seaway, the ships experienced a heave and pitch motion that results in added wave resistance, added power, and speed loss. The added wave resistance is calculated with Havelock Theory, Gerritsma & Beukelman, and Salvesen method which the highest results for the three method is in sea state 6, with 90 heading angle. The highest added wave resistance result for Havelock Theory is 33.33 KN, for Salvesen is 24.73 KN, and for Gerritsma & Beukelman method is 45.89 KN. The highest RMS result between Havelock Theory and Gerritsma & Beukelman method is 0,969 which happened in sea state 2 with 180 heading angle, between Havelock Theory and Salvesen is 0,932 which happened in sea state 2 with 135 heading angle, and for Gerritsma & Beukelman and Salvesen method is 2.771 which happened in sea state 2 with 180 heading angle. The calculation for added power is using EHP (Effective Horse Power). The highest result of added power for Salvesen, Gerritsma & Beukelman, and Havelock Theory method happened in sea state 6 with heading angle 90. The highest result of added power for salvesen method is 381.6 kW. For Gerritsma & Beukelman method the highest result of added power is 708.1 kW and the highest result of added power for Havelock Theory method is 514.4 kW. After the added power is calculated then the speed loss could be obtained. The highest speed loss for the three method is in sea state 6 with 90 heading angle. The highest result for Salvesen is 0.2053 knot, for Gerritsma & Beukelman is 1.1328 knot, and for Havelock Theory is 1.0009 knot.

Keywords: Corvette Warship, Added Wave Resistance, Added Power, Speed Loss

DAFTAR ISI

LEMBAR PENGESAHAN	iii
LEMBAR REVISI.....	iv
HALAMAN PERUNTUKAN.....	v
KATA PENGANTAR.....	vi
ABSTRAK	vii
ABSTRACT	viii
DAFTAR ISI	ix
DAFTAR GAMBAR.....	xii
DAFTAR TABEL	xiv
Bab I PENDAHULUAN	1
I.1. Latar Belakang Masalah.....	1
I.2. Perumusan Masalah.....	2
I.3. Tujuan.....	2
I.4. Batasan Masalah.....	2
I.5. Manfaat.....	3
Bab II STUDI LITERATUR	5
II.1. Dasar Teori.....	5
II.1.1. Kapal Korvet.....	5
II.1.2. Gelombang Laut	6
II.1.3. <i>Seakeeping Kapal</i>	7
II.1.4. Sea State	11
II.1.5. <i>Added Wave Resistance</i>	12
II.1.6. <i>Added Wave Resistance</i> Gelombang Irreguler	16
II.1.7. <i>Added Power</i>	16
II.1.8. <i>Root Mean Square</i>	16
II.1.9. <i>Speed Loss</i>	17
II.1.10. Perangkat Lunak Maxsurf Motions	17
II.2. Tinjauan Pustaka	18
Bab III METODOLOGI	21

III.1.	Diagram Alir	21
III.2.	Studi Literatur	24
III.3.	Data Kapal.....	24
III.4.	Permodelan Kapal	25
III.5.	Maxsurf Motions	26
III.5.1.	Pemodelan.....	27
III.5.2.	Metode Analisis	28
III.5.3.	<i>Vessel Draft and Trim</i>	28
III.5.4.	Jenis Kapal	29
III.5.5.	<i>Environment</i>	30
III.5.6.	<i>Strip Theory Method</i>	30
III.5.7.	Pengaturan Kecepatan Kapal, dan Gelombang.....	31
III.5.8.	Perhitungan <i>Motion</i>	32
III.5.9.	Perhitungan Wave Encounter Spectrum	32
III.6.	Perhitungan <i>Added Wave Resistance</i>	33
III.7.	Perhitungan <i>Added Wave Resistance</i> pada Gelombang Irregular	33
III.8.	Perhitungan <i>Added Power</i>	34
III.9.	Perhitungan RMS	34
III.10.	Perhitungan <i>Speed Loss</i>	34
III.11.	Kesimpulan.....	34
Bab IV HASIL DAN PEMBAHASAN.....		35
IV.1.	RAO <i>Heave</i> dan <i>Pitch</i> Kapal <i>Corvette</i>	35
IV.2.	<i>Wave Spectrum</i>	36
IV.3.	Perhitungan <i>Added Wave Resistance</i> Menggunakan Metode Havelock	38
IV.4.	Perhitungan <i>Added Wave Resistance</i> Menggunakan Metode Salvesen	40
IV.5.	Perhitungan <i>Added Wave Resistance</i> Menggunakan Metode Gerritsma & Beukelman	43
IV.6.	Analisis Perbandingan <i>Added Wave Resistance</i>	45
IV.7.	RMS (<i>Root Mean Square</i>).....	59
IV.8.	Perhitungan <i>Added Power</i>	63

IV.9. <i>Speed Loss</i>	65
Bab V KESIMPULAN DAN SARAN	69
V.1. Kesimpulan.....	69
V.2. Saran.....	70
DAFTAR PUSTAKA.....	71
LAMPIRAN A RAO HEAVE DAN PITCH KAPAL PERANG TIPE <i>CORVETTE</i>	
LAMPIRAN B ENCOUNTER WAVE SPECTRUM DENGAN HEADING ANGLE 180, 135, dan 90	
LAMPIRAN C ADDED WAVE RESISTANCE MENGGUNAKAN HAVELOCK	
LAMPIRAN D ADDED WAVE RESISTANCE MENGGUNAKAN METODE SALVESEN	
LAMPIRAN E ADDED WAVE RESISTANCE MENGGUNAKAN METODE GERRITSMA & BEUKELMAN	

DAFTAR GAMBAR

Gambar II.1 Kapal <i>Corvette</i>	5
Gambar II.2. a. Gelombang <i>Regullar</i> b, c. Gelombang <i>Irregular</i>	7
Gambar II.3 Derajat Kebebasan Kapal Pada <i>Seakeeping</i>	8
Gambar II.4 Gelombang pada Variasi Frekuensi Gelombang	10
Gambar II.5 <i>Speed Loss</i>	10
Gambar III.1 Diagram Alir.....	23
Gambar III.2 Permodelan Kapal dengan Menggunakan <i>software Maxsurf</i>	25
Gambar III.3 <i>Linesplan</i> Kapal <i>Corvette</i>	26
Gambar III.4 <i>Open Design</i>	27
Gambar III.5 <i>Analysis Method</i>	28
Gambar III.6 <i>Vessel Draft and Trim</i>	29
Gambar III.7 <i>Vessel Type</i>	29
Gambar III.8 <i>Environment</i>	30
Gambar III.9 <i>Strip Theory Method</i>	31
Gambar III.10 <i>Inputs</i>	31
Gambar III.11 Hasil <i>Solving Maxsurf Motion</i>	33
Gambar IV.1 RAO <i>Heave</i>	35
Gambar IV.2 RAO <i>Pitch</i>	36
Gambar IV.3 <i>Wave Encounter Spectrum Heading Angle 180°</i>	37
Gambar IV.4 <i>Wave Encounter Spectrum Heading Angle 135°</i>	37
Gambar IV.5 <i>Encounter Wave Spectrum Heading Angle 90°</i>	38
Gambar IV.6 <i>Added Wave Resistance Havelock Heading Angle 180</i>	38
Gambar IV.7 <i>Added Wave Resistance Havelock Heading Angle 135</i>	39
Gambar IV.8 <i>Added Wave Resistance Havelock Heading Angle 90</i>	39
Gambar IV.9 <i>Added Wave Resistance Irreguler Havelock</i>	40
Gambar IV.10 <i>Added Wave Resistance Salvesen Heading Angle 180</i>	41
Gambar IV.11 <i>Added Wave Resistance Salvesen Heading Angle 135</i>	41
Gambar IV.12 <i>Added Wave Resistance Salvesen Heading Angle 90</i>	42

Gambar IV.13 <i>Added Wave Resistance Irreguler Salvesen</i>	42
Gambar IV.14 <i>Added Wave Resistance Gerritsma & Beukelman 180</i>	43
Gambar IV.15 <i>Added Wave Resistance Gerritsma & Beukelman Heading Angle 135</i>	44
Gambar IV.16 <i>Added Wave Resistance Gerritsma & Beukelman Heading Angle 90</i>	44
Gambar IV.17 <i>Added Wave Resistance Irreguler Gerritsma & Beukelman</i>	45
Gambar IV.18 <i>Added Wave Resistance Sea State 2 Heading Angle 90</i>	46
Gambar IV.19 <i>Added Wave Resistance Sea State 3 Heading Angle 90</i>	47
Gambar IV.20 <i>Added Wave Resistance Sea State 4 Heading Angle 90</i>	47
Gambar IV.21 <i>Added Wave Resistance Sea State 5 Heading Angle 90</i>	48
Gambar IV.22 <i>Added Wave Resistance Sea State 6 Heading Angle 90</i>	49
Gambar IV.23 <i>Added Wave Resistance Sea State 2 Heading Angle 135</i>	50
Gambar IV.24 <i>Added Wave Resistance Sea State 3 Heading Angle 135</i>	50
Gambar IV.25 <i>Added Wave Resistance Sea State 4 Heading Angle 135</i>	51
Gambar IV.26 <i>Added Wave Resistance Sea State 5 Heading Angle 135</i>	52
Gambar IV.27 <i>Added Wave Resistance Sea State 6 Heading Angle 135</i>	53
Gambar IV.28 <i>Added Wave Resistance Sea State 2 Heading Angle 180</i>	54
Gambar IV.29 <i>Added Wave Resistance Sea State 3 Heading Angle 180</i>	54
Gambar IV.30 <i>Added Wave Resistance Sea State 4 Heading Angle 180</i>	55
Gambar IV.31 <i>Added Wave Resistance Sea State 5 Heading Angle 180</i>	56
Gambar IV.32 <i>Added Wave Resistance Sea State 6 Heading Angle 180</i>	56
Gambar IV.33 <i>Added Wave Resistance Irreguler Heading Angle 180</i>	57
Gambar IV.34 <i>Added Wave Resistance Irreguler Heading Angle 135</i>	58
Gambar IV.35 <i>Added Wave Resistance Irreguler Heading Angle 90</i>	58
Gambar IV.36 <i>Added Power Metode Salvesen</i>	63
Gambar IV.37 <i>Added Power Metode Gerritsma & Beukelman</i>	64
Gambar IV.38 <i>Added Power Metode Havelock</i>	64
Gambar IV.39 <i>Speed dan Power Havelock, Sea State 6, Heading Angle 90</i>	62
Gambar IV.40 <i>Speed dan Power Gerritsma & Beukelman, Sea State 6, Heading Angle 90</i> ...	63
Gambar IV.41 <i>Speed dan Power Salvesen, Sea State 6, Heading Angle 90</i>	64

DAFTAR TABEL

Tabel II.1 Persamaan Response Amplitude Operator (RAO)	9
Tabel II.2 <i>Sea State</i>	12
Tabel III.1 Ukuran Utama dan Hidrostatik Kapal Corvette	24
Tabel IV.1 Perbandingan <i>Added Wave Resistance Heading Angle 180, sea state 2</i>	60
Tabel IV.2 Perbandingan <i>Added Wave Resistance Heading Angle 135, sea state 2</i>	56
Tabel IV.3 Perbandingan <i>Added Wave Resistance Heading Angle 90, sea state 2</i>	57
Tabel IV.4 Perbandingan <i>Added Wave Resistance Heading Angle 180, sea state 3</i>	57
Tabel IV.5 Perbandingan <i>Added Wave Resistance Heading Angle 135, sea state 3</i>	57
Tabel IV.6 Perbandingan <i>Added Wave Resistance Heading Angle 90, sea state 3</i>	57
Tabel IV.7 Perbandingan <i>Added Wave Resistance Heading Angle 180, sea state 4</i>	57
Tabel IV.8 Perbandingan <i>Added Wave Resistance Heading Angle 135, sea state 4</i>	58
Tabel IV.9 Perbandingan <i>Added Wave Resistance Heading Angle 90, sea state 4</i>	58
Tabel IV.10 Perbandingan <i>Added Wave Resistance Heading Angle 180, sea state 5</i>	58
Tabel IV.11 Perbandingan <i>Added Wave Resistance Heading Angle 135, sea state 5</i>	58
Tabel IV.12 Perbandingan <i>Added Wave Resistance Heading Angle 90, sea state 5</i>	58
Tabel IV.13 Perbandingan <i>Added Wave Resistance Heading Angle 180, sea state 6</i>	59
Tabel IV.14 Perbandingan <i>Added Wave Resistance Heading Angle 135, sea state 6</i>	59
Tabel IV.15 Perbandingan <i>Added Wave Resistance Heading Angle 90, sea state 6</i>	59
Tabel IV.16 <i>Speed Loss</i> , Havelock, Kecepatan 30 knot.....	63
Tabel IV.17 Speed Loss, Gerritsma & Beukelman, Kecepatan 30 knot	64
Tabel IV.18 Speed Loss, Salvesen, Kecepatan 30 knot	65

BAB I

PENDAHULUAN

I.1. Latar Belakang Masalah

Indonesia memiliki wilayah laut yang luas dengan kondisi perairan yang berbeda-beda. Kondisi laut yang berbeda-beda ini dikelompokkan menjadi beberapa tingkatan yang disebut *sea state*. *Sea state* adalah kondisi laut yang meliputi besarnya kecepatan angin, ketinggian gelombang, panjang gelombang dan periode gelombang. Skala *sea state* adalah 0 sampai 9. Semakin meningkat kondisi *sea state* maka semakin meningkat pula kondisi laut.

Kapal korvet merupakan jenis kapal perang yang lebih kecil dari frigat dan lebih besar dari kapal patrol pantai. Biasanya kapal korvet dimasukkan kedalam kategori kapal patrol yang mampu menyelesaikan operasi sergap dan serbu secara mandiri. Dilihat dari fungsinya kapal ini merupakan kapal yang membutuhkan kecepatan yang tinggi pada berbagai macam perairan guna melindungi wilayah, masyarakat, dan sumber daya yang ada di perairan. Seperti diketahui Indonesia yang memiliki wilayah lautan yang sangat luas sehingga rawan pelanggaran yang terjadi di wilayah perairan seperti *illegal fishing*, *human trafficking*, penyelundupan barang, terorisme dan juga pembajakan. Kapal perang tipe korvet dapat menjadi alat utama sistem pertahanan Negara (ALUTISTA) untuk meningkatkan sektor pertahanan militer Nasional di wilayah perairan Indonesia.

Analisis gerakan kapal korvet yang berlayar pada perairan Indonesia sangat perlu untuk dilakukan dalam proses desainnya. Hal ini dapat memberikan jaminan keselamatan dan performance kapal tersebut untuk berlayar, mengingat kapal korvet beroperasi pada kecepatan tinggi dan perairan Indonesia yang luas memiliki kondisi *sea state* yang berbeda beda. Untuk mencapai kecepatan yang diinginkan terdapat beberapa pendekatan yang bisa dilakukan, salah satunya yaitu dengan mengetahui seberapa besar hambatan yang terjadi pada kapal. Hambatan itu sendiri terdiri dari beberapa komponen, ada hambatan yang disebabkan udara, hambatan yang disebabkan gelombang, dll. Salah satu komponen hambatan yang sangat berpengaruh yaitu adalah *added wave resistance*.

Secara umum, fokus dalam mendesain kapal hanya pada hambatan kapal dan performa pada air tenang walaupun akhir – akhir ini terdapat beberapa perubahan dalam optimasi dan desain lambung kapal. Namun, ketika kapal berlayar di lautan, kapal membutuhkan tenaga tambahan apabila dibandingkan dengan tenaga yang dibutuhkan kapal ketika berjalan

melewati perairan tenang. Penurunan performa pada lautan ini biasanya dihitung dengan menambahkan 15-30% pada tenaga yang dibutuhkan di perairan tenang (Jorgen Storm-Tejsen, 1973). Prediksi yang lebih akurat dibutuhkan untuk menentukan *added wave resistance*, karena dengan mengetahui besarnya *added wave resistance* maka dapat ditentukan berapa besar power yang dapat dibutuhkan oleh kapal korvet yang sedang didesain.

I.2. Perumusan Masalah

Berdasarkan latar belakang di atas, permasalahan yang akan dikaji dalam tugas akhir ini adalah :

1. Bagaimana olah gerak *heaving* dan *pitching* kapal korvet pada *sea state* 2-6?
2. Berapa besar nilai *added wave resistance* pada kapal korvet?
3. Bagaimana hubungan *sea state* dengan *added wave resistance*?
4. Bagaimana perbedaan nilai *added wave resistance* antara Havelock Theory, Gerritsma & Beukelman, dan Salvesen pada *sea state* 2-6?
5. Berapa besar nilai *added power* pada kapal korvet?
6. Berapa besar nilai *speed loss* pada kapal korvet?

I.3. Tujuan

Tujuan dari penulisan Tugas Akhir ini adalah:

1. Mengetahui respon gerak *heave* dan *pitch* dari kapal korvet pada *sea state* 2-6..
2. Mengetahui nilai *added wave resistance* yang terjadi pada kapal korvet dengan menggunakan metode Havelock Theory, Gerritsman & Beukelman, dan Salvesen pada *sea state* 2-6
3. Mengetahui hubungan *sea state* dengan *added wave resistance*.
4. Mengetahui perbedaan nilai *added wave resistance* antara Havelock Theory, Gerritsma & Beukelman, dan Salvesen pada *sea state* 2-6
5. Mengetahui nilai *added power* yang terjadi pada kapal korvet dengan menggunakan metode Havelock Theory, Gerritsman & Beukelman, dan Salvesen pada *sea state* 2-6
6. Mengetahui nilai *speed loss* yang terjadi pada kapal korvet pada *sea state* 2-6

I.4. Batasan Masalah

Agar penyusunan tugas akhir ini dapat lebih terarah, maka diberikan batasan-batasan masalah sebagai berikut:

1. Perhitungan *added wave resistance* adalah untuk kapal korvet dengan ukuran utama sebagai berikut: LOA = 106 m; B = 14 m; H = 8.75 m; T = 3.70 m
2. Perhitungan *added wave resistance* dengan menggunakan Havelock Theory, Gerritsma & Beukelman, dan Salvesen
3. Perhitungan olah gerak kapal hanya *heaving* dan *pitching*, karena gerakan *motion heaving* dan *pitching* memiliki pengaruh paling besar terhadap *added wave resistance* (Rebull, 2014).
4. Perhitungan olah gerak kapal menggunakan perangkat lunak Maxsurf Motion
5. Variasi *heading angle* yang digunakan adalah 180, 135, dan 90.
6. Rentang *sea state* yang digunakan adalah *sea state* 2-6, dimana semakin tinggi *sea state* maka kondisi suatu perairan semakin meningkat. Pada *sea state* 2 merupakan kondisi perairan dengan gelombang yang kecil dan masih tergolong tenang, sementara pada *sea state* 6 terdapat gelombang yang besar dan puncak gelombang lebih luas. Pada *sea state* 6 kondisi perairan sangat buruk.

I.5. Manfaat

Dari Tugas Akhir ini, diharapkan dapat diambil manfaat sebagai berikut:

1. Secara akademis, diharapkan hasil penggerjaan Tugas Akhir ini dapat menunjang proses belajar mengajar dan turut memajukan khazanah Pendidikan di Indonesia.
2. Secara praktek, diharapkan hasil dari Tugas Akhir ini dapat berguna sebagai referensi pertimbangan desain kapal korvet yang optimum

I.6. Hipotesis

Terdapat perbedaan hasil *added wave resistance*, dan *added power* antara metode Havelock, Gerritsma & Beukelman, dan Salvesen

Halaman ini sengaja dikosongkan

BAB II

STUDI LITERATUR

II.1. Dasar Teori

II.1.1. Kapal Korvet

Korvet merupakan jenis kapal perang yang lebih kecil dari fregat dan lebih besar dari kapal patroli pantai, walaupun banyak desain terbaru yang menyamai fregat dalam ukuran dan tugas. Biasanya dimasukan kategori sebagai kapal patroli yang mampu melakukan operasi sergap dan serbu secara mandiri. Istilah korvet sendiri diperkenalkan oleh Angkatan Laut Perancis pada abad ke-17 untuk menyebut suatu kapal kecil (biasanya membawa 20 meriam) yang digunakan untuk melindungi kapal dagang dan patroli lepas pantai. Angkatan Laut Inggris kemudian juga mengadopsi istilah ini pada abad ke-19.



Gambar II.1 Kapal Corvette

Desain kapal korvet yang umum seperti pada Gambar II.1 digunakan hingga saat ini merupakan hasil pengembangan dari kapal penangkap ikan paus (*whale catcher*). Kapal ini merupakan jawaban akan kapal perusak/*destroyer* atau kapal penghancur kapal torpedo (*torpedo boat destroyer*) yang berukuran lebih besar. Di mana Angkatan Laut Inggris memerlukan kapal kecil dan gesit dengan tugas melindungi kapal-kapal dagangnya.

Kapal korvet sendiri memiliki fungsi yang serupa dengan kapal perusak, tetapi berukuran lebih kecil.

Kapal korvet, selain kapal fregat adalah kapal yang menjadi primadona bagi Angkatan Laut di berbagai negara, mengingat kemampuannya yang cukup tinggi. Kapal Korvet selain menyandang persenjataan yang cukup modern dan dilengkapi dengan rudal sehingga cukup mematikan bila berhadapan dengan kapal-kapal perang yang lainnya. Desain kapal korvet yang terbaru juga mampu mengangkut helikopter. Begitupun harganya cukup terjangkau oleh banyak negara.

II.1.2. Gelombang Laut

Gelombang dibedakan menjadi dua macam, yaitu gelombang sinusoidal dan gelombang trochoidal. Karena jenis gelombang tersebut sangat kompleks maka untuk melakukan perhitungan ilmiah dilakukan pendekatan agar dapat digambarkan sifat dari gelombang yang kita gunakan. Gelombang sinusoidal adalah gelombang harmonik yang mengikuti fungsi sinus, bagian puncak dan lembah gelombang mempunyai bentuk yang sama. Sedangkan gelombang trochoidal mempunyai puncak gelombang yang runcing dengan lembah gelombang yang datar dan lebih panjang. Jenis gelombang ini lebih sulit diterapkan dalam perhitungan meskipun bentuknya lebih mendekati bentuk gelombang sesungguhnya (Bhattacharya, 1978).

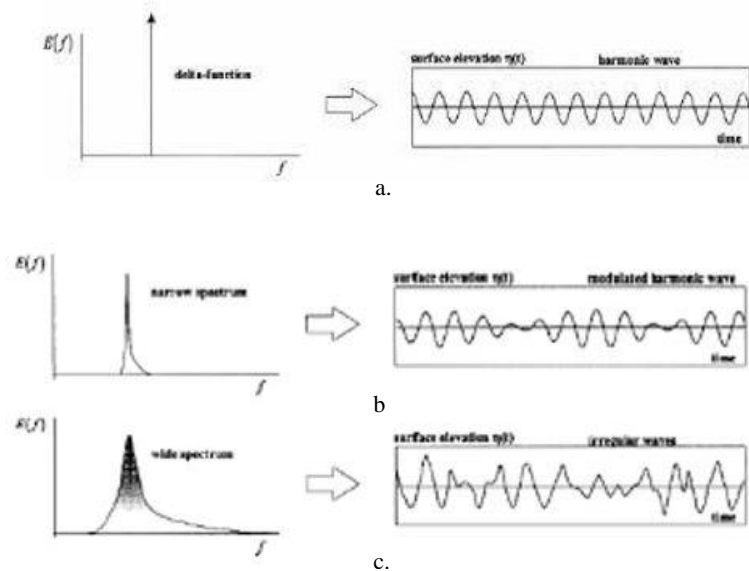
Kapal yang bergerak di laut dipengaruhi oleh gaya-gaya dari luar antara lain berupa gelombang, arus air, dan angin. Untuk memprediksi gerakan kapal yang dipengaruhi semua hal diatas adalah sangat kompleks, karena itu diperlukan penyederhanaan dengan beberapa asumsi sehingga permasalahan dapat lebih sederhana dan dapat dicari penyelesaiannya. Untuk tugas akhir ini diasumsikan hanya gelombang laut yang mempengaruhi gerakan kapal, sedangkan yang lainnya diabaikan.

Gelombang di laut kenyataannya mempunyai bentuk dan sifat yang kompleks, dan sangat tidak beraturan tetapi untuk perhitungan ilmiah dilakukan pendekatan agar dapat menggambarkan sifat dari gelombang tersebut. Pendekatan tersebut adalah dengan menggunakan data gelombang irregular.

Gelombang irreguler merupakan gelombang superposisi dari beberapa gelombang reguler yang mempunyai frekuensi dan tinggi gelombang berbeda. Sedangkan gelombang

reguler merupakan gelombang dengan periode tunggal, sehingga gelombang ini juga mempunyai spektrum tunggal

Gelombang diasumsikan di perairan dalam sehingga pengaruh dasar tidak terjadi. Selain itu lebar perairan tak terbatas sehingga pengaruh sisi perairan kecil.



Gambar II.2. a. Gelombang Regular b, c. Gelombang Irregular

Gambar II.2 menjelaskan tentang perbedaan gelombang *regular* dan gelombang *irregular*. Pada Gambar II.2.a merupakan grafik gelombang *regular* dimana panjang gelombang selalu sama. Gambar II.2.b merupakan gelombang *irregular narrow spectrum* dimana panjang dan tinggi gelombang berbeda beda dengan frekuensi golombang yang sempit terhadap waktu. Sedangkan Gambar II.2.c merupakan gelombang *irregular* dengan *wide spectrum* dimana panjang dan tinggi gelombang tidak sama pada tiap-tiap gelombang dengan frekuensi yang lebar terhadap waktu.

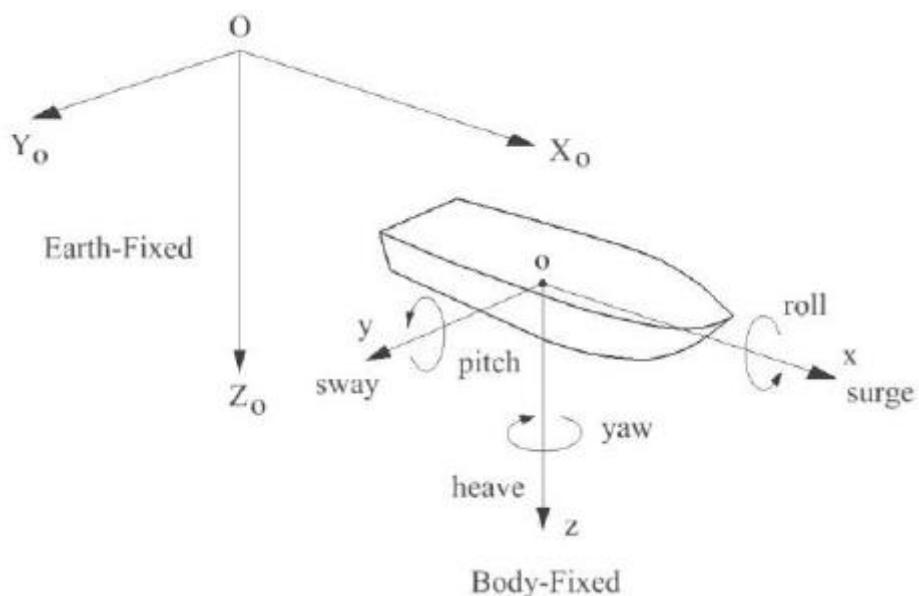
II.1.3. Seakeeping Kapal

Seakeeping adalah kemampuan kapal berlayar pada kondisi lingkungan tertentu. Kapal dikatakan memiliki kemampuan seakeeping yang baik apabila kapal tersebut mampu beroperasi secara efektif pada kondisi laut yang di desain. Suatu kapal yang terapung bebas mempunyai 6 derajat bebas (Bhattacharya, 1978):

- *Surging* : gerakan translasi searah sumbu x.
- *Rolling* : gerakan rotasi terhadap sumbu x.

- *Swaying* : gerakan translasi searah sumbu y.
- *Pitching* : gerakan rotasi terhadap sumbu y.
- *Heaving* : gerakan translasi searah sumbu z.
- *Yawing* : gerakan rotasi terhadap sumbu z.

Pada kenyataanya, kapal di laut bebas dapat mengalami keenam gerakan sekaligus. Namun yang sering digunakan untuk menjadi bahan pertimbangan adalah gerak *heaving*, *pitching* dan *rolling*.



Gambar II.3 Derajat Kebebasan Kapal Pada Seakeeping

Gambar II.3 menjelaskan mengenai derajat kebebasan yang dimiliki kapal sesuai dengan sumbu masing masing yaitu gerakan kapal yang searah dengan sumbu *axis* dan gerakan perputar pada sumbu *axis*. Gerakan kapal yang searah dengan sumbu *axis* antara lain gerakan *surge* (searah sumbu x), gerakan *heave* (searah sumbu z), dan gerakan *sway* (searah sumbu y). Gedangkan gerakan kapal memutar pada sumbu *axis* yaitu gerakan *roll* (pada sumbu x), gerakan *pitch* (pada sumbu y), dan gerakan *yaw* (pada sumbu z). Pada penelitian ini motion kapal yang dikalkulasi hanya *heaving* dan *pitching*, karena gerakan *motion heaving* dan *pitching* memiliki pengaruh paling besar terhadap *added wave resistance* (Rebull, 2014).

II.1.3.1 Gerakan Struktur Pada Gelombang Reguler

Response Amplitude Operator (RAO) juga disebut sebagai gerakan suatu struktur pada gelombang reguler. RAO adalah fungsi dari amplitudo gerakan struktur terhadap amplitudo gelombang (Chakrabarti, 1987). Banyak cara untuk mengetahui RAO, mulai dari tes menggunakan model di towing tank, pendekatan numerik maupun analitis baik secara manual ataupun menggunakan program tertentu. Secara matematis persamaan RAO dapat dituliskan seperti ini (Bhattacharya, 1978):

Tabel II.1 Persamaan Response Amplitude Operator (RAO)

No.	Gerakan	RAO
1	<i>Surge</i>	$(xa/\delta a)^2$
2	<i>Sway</i>	$(ya/\delta a)^2$
3	<i>Heave</i>	$(za/\delta a)^2$
4	<i>Roll</i>	$(\phi a/\delta a)^2$
5	<i>Pitch</i>	$(\theta a/\delta a)^2$
6	<i>Yaw</i>	$(\phi a/\delta a)^2$

Tabel II.1 menjelaskan mengenai RAO yang dialami kapal sesuai dengan derajat kebebasan seperti yang telah dijelaskan pada Gambar II.3 yaitu *surge*, *sway*, *heave*, *roll*, *pitch* dan *yaw*.

II.1.3.2 Gerakan struktur Pada Gelombang Irregular

Gelombang tak beraturan adalah gabungan dari beberapa gelombang beraturan yang dijumlahkan yang masing-masing memiliki frekuensi, tinggi, dan fase gelombang yang berbeda. Dengan mengalikan RAO dengan spektrum gelombang pada gelombang tak beraturan maka akan didapatkan response dari struktur. Spektrum gelombang (ω) sebelumnya harus diubah terlebih dahulu menjadi spektrum encountered (ω_e). Frekuensi encounter dapat dihitung dengan persamaan (Bhattacharya, 1978):

$$\omega_e = \omega - \frac{\omega^2 V}{g} \cos \mu \quad (2.1)$$

Dimana,

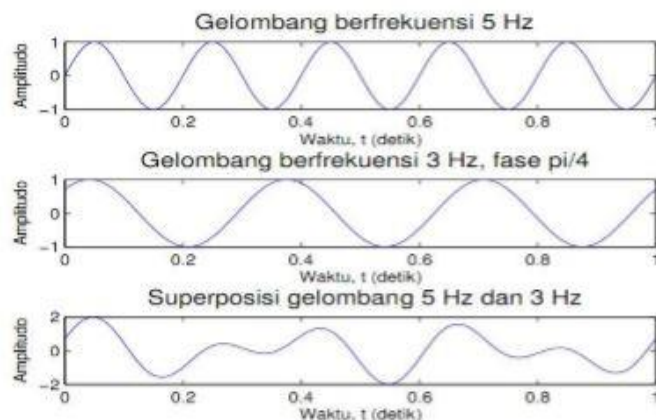
ω_e = frekuensi encounter

- ω = frekuensi gelombang
- g = percepatan gravitasi
- V = kecepatan kapal
- μ = sudut hadap kapal terhadap gelombang

II.1.3.3 Spektrum Gelombang

Pola gelombang irreguler dapat dihasilkan jika sejumlah gelombang sinusoidal dengan panjang gelombang dan tinggi yang berbeda digabungkan. Gelombang hasil penggabungan tidak menunjukkan pola yang pasti untuk ketinggian gelombang, panjang gelombang, ataupun periode gelombang (Bhattacharya, 1978).

Penggabungan beberapa gelombang sinusoidal tidak hanya menghasilkan gelombang irreguler, teapi juga pola gelombang tidak pernah terulang dari satu waktu ke waktu lain. Namun, ada satu cara untuk memperhitungkan gelombang irreguler yaitu dengan menentukan total energi. Hal ini diperoleh dengan menjumlahkan energi dari semua gelombang reguler yang menghasilkan gelombang irreguler dengan superposisi.



Gambar II.4 Gelombang pada Variasi Frekuensi Gelombang

Gambar II.4 menjelaskan mengenai perbedaan gelombang pada variasi frekuensi gelombang yaitu pada frekuensi 5Hz atau lima gelombang pada satuan waktu detik, gelombang pada frekuensi 3Hz atau tiga gelombang pada satuan waktu detik, dan superposisi atau gabungan dua frekuensi gelombang yaitu gelombang dengan frekuensi 3Hz dan 5Hz.

Pada tugas akhir ini digunakan wave spectrum dari International Towing Tank Conference (ITTC). Rumus dari spektrum dapat dituliskan sebagai berikut (Bhattacharya, 1978):

$$S(\omega w) = \frac{A}{\omega w^5} e^{-B/\omega w^4} \quad (2.2)$$

Dimana,

A = $8.10 \times 10^{-3} g^2$

g = percepatan gravitasi

ω = frekuensi gelombang

B = $3.11 \times 10^4 / H_{1/3}^2$

$H_{1/3}^2$ = significant wave height

Spektrum gelombang encounter didapatkan dengan merubah spectrum gelombang dengan rumus:

$$S(\omega e) = S(\omega w) \frac{1}{[1 - \left(\frac{4\omega e V}{g}\right) \cos \mu]^{0.5}} \quad (2.3)$$

Dimana,

ωw = Frekuensi gelombang

ωe = Frekuensi encounter

$S(\omega e)$ = Spektrum encounter

$S(\omega w)$ = Spektrum gelombang

μ = Heading angle

V = Kecepatan kapal

g = Percepatan gravitasi

II.1.4. Sea State

Ketika kapal bergerak di laut maka gerakannya dipengaruhi oleh gaya-gaya yang bekerja dari luar antara lain gelombang, arus air, kedalaman dan luas perairan, angin, dan lain sebagainya. Keadaan tersebut dibedakan dalam berapa sea state dimana semakin tinggi sea state maka kondisi suatu perairan maka semakin meningkat pula kondisi gelombangnya. Data sea state tersebut disajikan dalam table di bawah ini. Dengan asumsi gerakan kapal

dipengaruhi oleh besarnya kecepatan angin, periode serta panjang gelombang. Data sea state tersebut dapat diberikan dalam tabel sebagai berikut:

Tabel II.2 Sea State

Sea State	0	1	2	3	4	5	6	7	8	9
Wind Vel. (Knots)	2	8.5	13.5	16	19	24	26	40	54	59.5
Wave Height (ft)	0.04	0.8	2.1	2.9	4.1	6.6	7.7	18.2	33.2	40.3
Average Periode (Sec)	0.5	2.3	3.6	4.3	5.1	6.4	7	10.7	14.5	15.9

Tabel II.2 menjelaskan mengenai kecepatan angin dalam satuan knot, ketinggian gelombang dengan satuan *feet*, dan periode rata-rata gelombang dalam satuan detik pada masing-masing *sea state* yaitu pada *sea state* 0 yaitu perairan tenang hingga *sea state* 9 yaitu perairan dengan gelombang tinggi (badai).

II.1.5. Added Wave Resistance

Ketika kapal bergerak, kapal akan menyebabkan terjadinya dua gelombang. Pertama yaitu gelombang yang disebabkan oleh gerakan kapal itu sendiri. Kedua yaitu gelombang yang disebabkan oleh olah gerak kapal karena gelombang yang menghadang kapal tersebut. Kedua gelombang tersebut sama-sama menyebabkan hilangnya energi atau *power* kapal. Dengan kata lain untuk menciptakan gelombang tersebut, diperlukan sejumlah energi. Sehingga dapat disimpulkan bahwa ketika kapal bergerak pada perairan tenang gelombang kedua tidak perlu diperhitungkan. Namun pada kenyataannya hal ini jarang terjadi energi yang hilang pada saat proses terjadinya gelombang tersebut, menurut teori *seakeeping*, bisa dibagi menjadi tiga komponen:

- *Added resistance* disebabkan oleh *vertical motions*

Komponen ini terjadi disebabkan oleh interferensi antara gelombang yang dihasilkan oleh olah gerak kapal (*radiated waves*) dengan gelombang yang menghadang kapal. Komponen ini

juga biasa disebut sebagai *drift force* dan memiliki pengaruh yang paling besar terhadap *added resistance*.

- *Added resistance* disebabkan oleh *reflection*

Gelombang yang menghadang kapal juga akan memantul, dan berinteraksi dengan *radiated waves*. Komponen ini juga biasa disebut sebagai *diffraction effect*.

- *Added resistance* disebabkan oleh *viscous effect*

Viscous effect yang disebabkan oleh gaya *damping* terkait juga dengan gaya *heaving* dan *pitching* pada perairan tenang.

Dari ketiga komponen tersebut, yang memiliki pengaruh paling besar adalah *radiated waves* dan energi yang hilang yang disebabkan oleh *viscous effect* sangatlah kecil sehingga dapat diabaikan. Maka dari itu, *added wave resistance* bisa juga disebut sebagai *non-viscous phenomenon* (Tejsen, 1973)

II.1.4.1 Havelock

Havelock merupakan salah satu metode dari beberapa metode untuk memprediksi *added wave resistance*. Metode ini berdasarkan integral dari komponen komponen beban longitudinal terhadap permukaan basah dari lambung kapal. Dimana perhitungan dari teori Havelock ini menggambarkan bahwa, secara umum, *drifting force* merupakan penyebab yang paling berpengaruh terhadap besarnya *added wave resistance*, sedangkan *diffraction* merupakan yang paling kecil pengaruhnya. Perhitungan *added wave resistance* Metode Havelock Thepry menggunakan persamaan (Bhattacharya, 1978):

$$R_{aw} = -\frac{k}{2} (F_a z_a \sin \varepsilon_{zF} + M_a \theta_a \sin \varepsilon_{\theta M}) \quad (2.4)$$

Dimana,

R_{aw} = *added wave resistance*

k = *wave number*

F_a = *exciting force*

M_a = *exciting momen*

z_a = *amplitude heave*

- θ_a = amplitude pitch
 ε_{zF} = sudut fase antara *exciting force* dan *amplitude heave*
 $\varepsilon_{\theta M}$ = sudut fase antara *exciting momen* dan *amplitude pitch*

II.1.4.2 Salvesen

Metode Salvesen merupakan metode untuk memprediksi *added wave resistance*. Metode ini mengasumsikan bahwa kapal memiliki bentuk lambung yang ramping dan juga simetris antara sisi *starboard* dan *portside*. Perhitungan *added wave resistance* Metode Salvesen menggunakan persamaan (Salvesen, 1978):

$$R = -\frac{i}{2}k \cos\beta \sum_{j=3,5} \zeta_j \{F_j^I + F_j^D\} + R_7 \quad (2.5)$$

Dimana,

R = *added wave resistance*

k = *wave number*

β = *heading angle*

ζ = *wave amplitude*

Dalam persamaan ini, F_j^I merepresentasikan gaya dan momen Froude-Krilov, sedangkan F_j^D merepresentasikan gaya dan momen dari *diffraction*. Perhitungan F_j^I menggunakan persamaan:

$$F_3^I = -i\rho\omega \iint N_3 \phi_0 ds \quad (2.6)$$

$$F_5^I = i\rho\omega \iint xN_3 \phi_0 ds \quad (2.7)$$

Dimana,

ω = frekuensi gelombang

N_3 = *amplitude heave*

ϕ_0 = *incident wave potential*

ρ = massa jenis air

$$F_3^D = \int h_3(x) dx \quad (2.8)$$

$$F_5^D = - \int \left(x + \frac{v}{i\omega} \right) h_3(x) dx \quad (2.9)$$

Dimana,

$$h_3(x) = \rho k \int \psi_3(N_3 + iN_2 \sin\beta) \phi_0 dl \quad (2.10)$$

V = kecepatan kapal

ω = frekuensi gelombang

ψ_3 = *velocity potential heave*

II.1.4.3 Gerritsma & Beukelman

Metode ini biasa juga disebut dengan *The Radiated Energy Method*. Metode ini biasa disebut dengan *The Radiated Energy Method* karena Gerritsma dan Beukelman merupakan orang pertama yang menggunakan metode *The Radiated Energy* untuk melakukan perhitungan *added wave resistance*. Dari metode *The Radiated Energy* bisa didapatkan gelombang yang dihasilkan oleh olah gerak kapal. Energi yang terdapat pada gelombang tersebut lah yang digunakan untuk perhitungan metode Gerritsma & Beukelman. Berikut merupakan persamaan yang digunakan untuk menghitung *added wave resistance* (Rebull, 2014):

$$R_{AW} = \frac{k}{2\omega_e} \int_{x_o}^{x_f} b(x) V_{za}^2(x) dx \quad (2.11)$$

Dimana,

$b(x)$ = *damping coefficient*

V_{za} = *vertical velocity*

R_{AW} = *added wave resistance*

k = *wave number*

ω_e = *encounter wave frequency*

Konsep dari metode ini yaitu menghitung energi gelombang *radiated* pada satu periode osilasi. Dengan kata lain energi yang dibutuhkan untuk mengakibatkan gelombang *radiated* pada satu kali osilasi. Selain itu diasumsikan bahwa agar kapal bisa terus berlayar sesuai dengan kecepatan yang diinginkan, maka energi yang dibutuhkan untuk mengakibatkan gelombang *radiated* ini dikeluarkan oleh sistem propulsi kapal (Alexandersson, 2009):

II.1.6. Added Wave Resistance Gelombang Irreguler

Setelah menentukan *wave spectrum* untuk kondisi perairan tertentu dan *added wave resistance* untuk gelombang reguler pada kondisi perairan tertentu, maka dapat diperoleh *added wave resistance* untuk gelombang irreguler, dengan menggunakan persamaan (Bhattacharya, 1978):

$$R_{AW} = 2 \int_0^{\infty} S_{\zeta}(\omega_e) \frac{R_{AW}}{\zeta_a^2}(\omega_e) d\omega_e \quad (2.12)$$

Dimana,

R_{AW} = mean added wave resistance

$S_{\zeta}(\omega_e)$ = encounter wave spectrum

ζ_a^2 = wave amplitude

II.1.7. Added Power

Untuk permasalahan pada gerakan kapal, pertambahan hambatan rata-rata, gaya dorong propeller rata-rata, dan torsi rata rata pada suatu gelombang irregular bisa dihitung dengan menggunakan RAO yang dihitung pada gelombang reguler dan *wave spectrum* yang sudah dihitung. Untuk *added power* sendiri juga dapat dihitung dengan menambahkan *added wave resistance* pada hambatan kapal untuk air tenang. *Effective horse power* pada gelombang irreguler lalu dihitung dengan persamaan (Lewis, 1988):

$$EHP = R_T V \quad (2.13)$$

Dimana,

EHP = Effective Horse Power

R_T = Hambatan Total Kapal

V = Kecepatan Kapal

II.1.8. Root Mean Square

Root mean square digunakan dalam penelitian ini untuk membandingkan besaran metode satu dengan metode lainnya. Dalam memulai pembahasan tentang rms. Hal yang paling mudah dari bahasa. *Root-mean-square* artinya dikuadratkan, lalu diambil rata-ratanya, kemudian diakarkan. Sehingga, apabila terdapat sekumpulan pengukuran $\{x_i\}$ (dengan

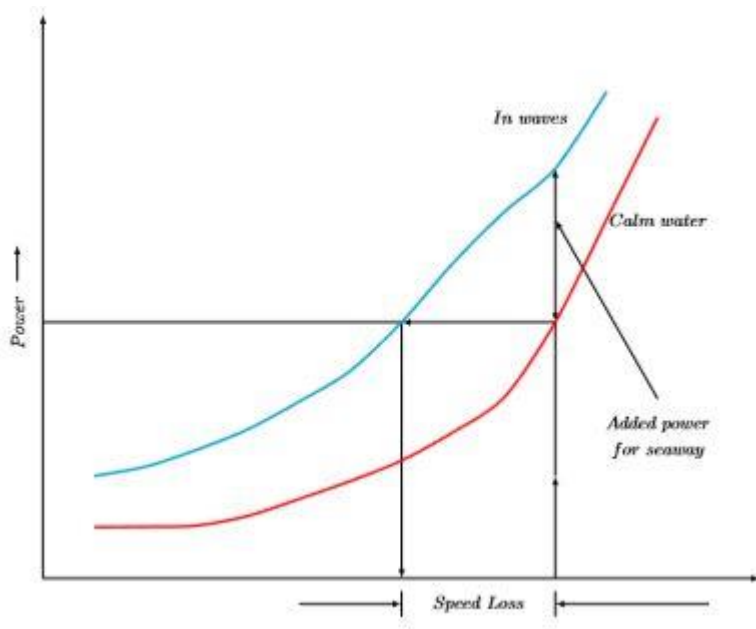
indeks $i = 1, 2, \dots, N$ menunjukkan nilai pengukuran ke- i), untuk mendapatkan nilai rms-nya (Iqra M, 2014):

1. Kuadratkan setiap nilai pengukuran: $x_1^2, x_2^2, \dots, x_N^2$
2. Rata-ratakan, $\frac{1}{N} \sum_i^N (x_i^2) = y$
3. Dan akar kuadratkan, $\sqrt{y} = x_{rms}$

$$RMS = \sqrt{\frac{1}{N} \sum_i^N (x_i^2)} \quad (2.14)$$

II.1.9. Speed Loss

Perhitungan *speed loss* pada penelitian ini yaitu dengan memanfaatkan grafik power pada air tenang dan gelombang irregular. Proses perhitungannya dengan mengambil selisih perbedaan antara *speed* di air tenang dengan gelombang irreguler pada *power* yang sama, seperti pada Gambar II.5 (Iqra M, 2014).



Gambar II.5 Speed Loss

II.1.10. Perangkat Lunak Maxsurf Motions

Maxsurf Motion merupakan sebuah software yang menyediakan alat-alat yang dibutuhkan untuk melakukan analisis performa seakeeping kapal. Selain digunakan untuk

analisis seakeeping sebuah kapal, Maxsurf Motion juga dapat melakukan analisis added wave resistance dengan menggunakan beberapa metode.

Untuk melakukan analisis *seakeeping* terdapat dua metode, yaitu *strip theory* dan *panel method*. Metode *strip theory* itu sendiri berdasarkan dari metode salvesen, metode tersebut menghitung respons *coupled heave* dan *pitch* dari kapal. Sedangkan *panel method* merupakan metode yang berdasarkan *Boundary Element Method* (BEM).

Dibutuhkan geometri dari lambung kapal untuk dapat memproses analisis seakeeping dan added wave resistance. Terdapat beberapa proses yang harus dilakukan untuk memroses analisis seperti input, analysis setting dll. Untuk hasil daripada analisis itu sendiri dapat ditampilkan dalam bentuk seperti grafik RAO, grafik spektra, tabel, animasi, dan lain lain.

II.2. Tinjauan Pustaka

Referensi pertama adalah penelitian yang dilakukan oleh Rebull (2014). Penelitian ini memperdalam perhitungan hambatan total kapal dimana, *added wave resistance* merupakan salah satu komponen yang sangat berpengaruh terhadap hambatan total kapal sehingga dilakukan penelitian lebih lanjut. Terdapat perhitungan *added wave resistance* yang dikalkulasi menurut Gerritsma & Beukelman dan Havelock Theory.

Referensi kedua adalah penelitian yang dilakukan oleh Salvesen (1978) mengenai perhitungan *added wave resistance* yang dikalkulasi menurut Gerritsma & Beukelman serta dibandingkan dengan perhitungan Salvesen dan dibandingkan dengan hasil eksperimen pada sudut hadap gelombang 180. Penelitian ini dilakukan dengan variasi bentuk lambung kapal dan Froude number.

Referensi ketiga adalah penelitian yang dilakukan oleh Iqra (2014) mengenai perhitungan *added wave resistance* dikalkulasi menurut Gerritsma & Beukelman serta dibandingkan dengan perhitungan menurut Havelock dan Joosen, sedangkan *added power* menggunakan pendekatan EHP (Effisiensi Horse Power). Penelitian ini melakukan perhitungan dengan variasi kecepatan, heading angle, dan sea state. Output yang dihasilkan dari penelitian ini yaitu adalah nilai *added wave resistance*, *added power*, dan biaya pelayaran.

Referensi keempat yaitu penelitian yang dilakukan oleh Kim (2016) mengenai perhitungan *speed loss*. Penelitian ini melakukan perhitungan dengan variasi kecepatan, dan *heading angle*. Untuk menghitung *speed loss* dilakukan perhitungan *power* pada air tenang

dan gelombang irregular. *Speed loss* dapat dihitung dari selisih kecepatan pada power yang sama antara kondisi air tenang dan gelombang irregular.

Halaman ini sengaja dikosongkan

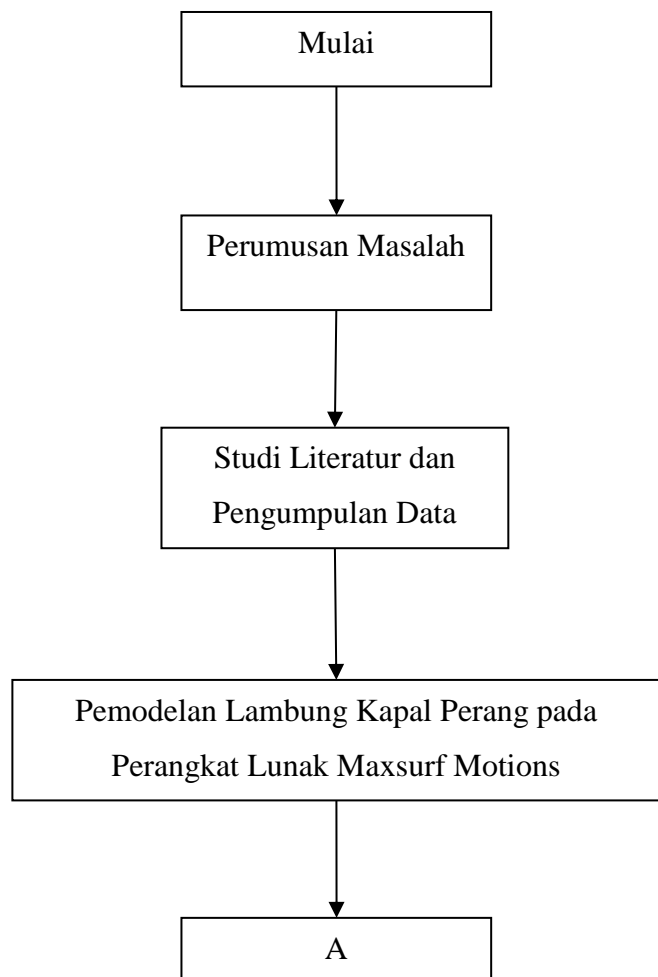
BAB III

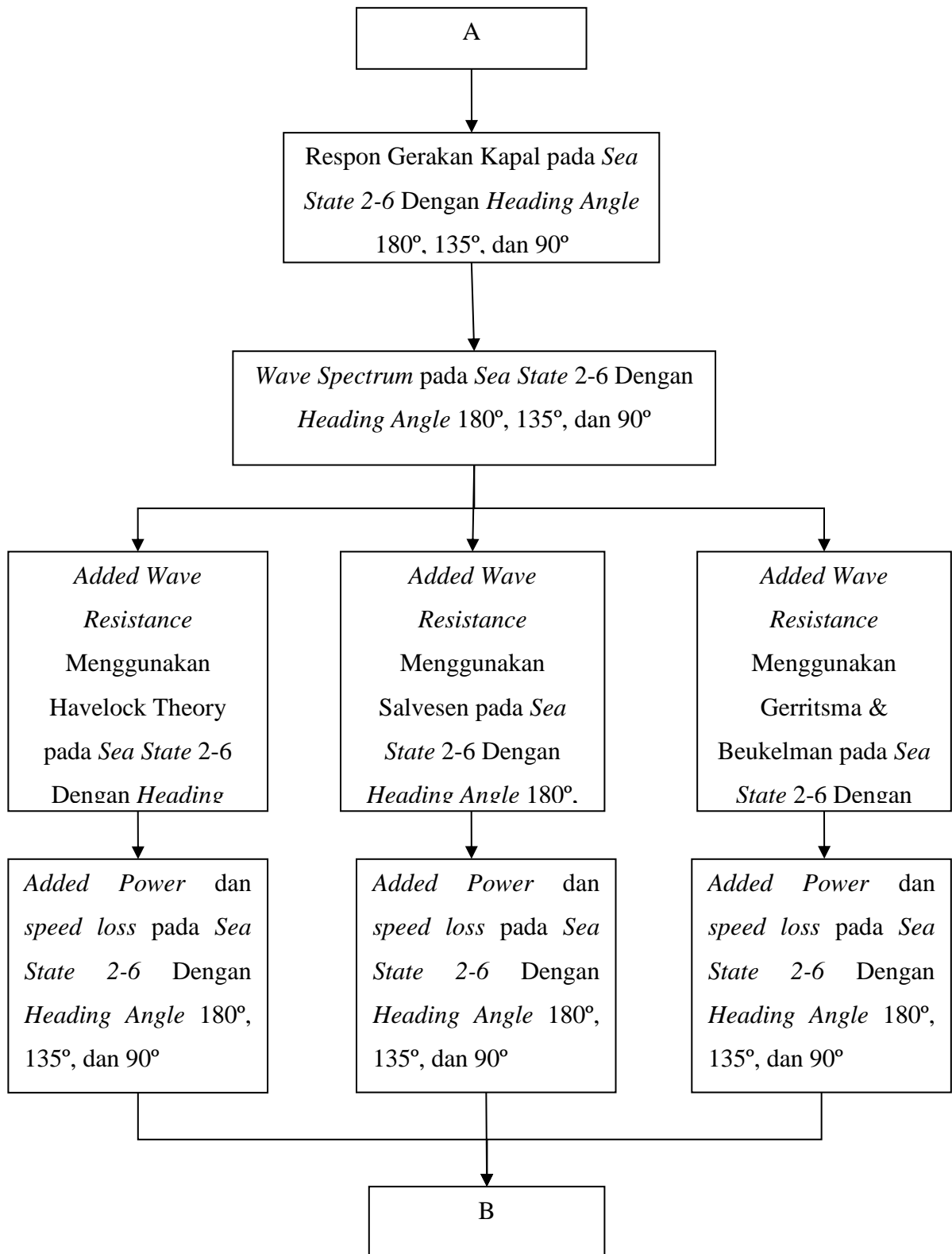
METODOLOGI

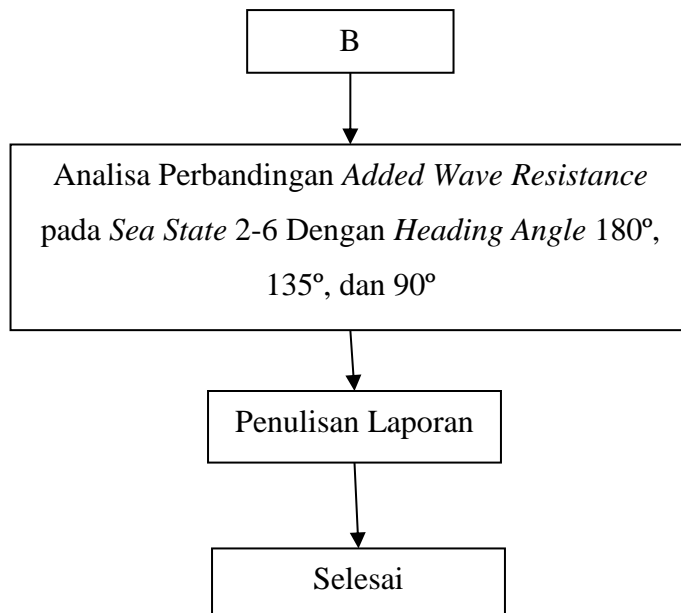
Pada bab ini akan diuraikan sistematika pengerjaan Tugas Akhir oleh penulis. Pada hakekatnya metodologi merupakan kerangka dasar dari proses pengerjaan suatu penelitian. Metodologi penelitian Tugas Akhir ini mencakup seluruh proses kegiatan atau langkah-langkah yang digunakan dalam proses analisis dan penyelesaian masalah pada Tugas Akhir.

III.1. Diagram Alir

Berikut ini diagram alur proses pengerjaan tugas akhir.







Gambar III.1 Diagram Alir

Penelitian ini dimulai dengan perumusan masalah mengenai *added wave resistance*, pengumpulan data dan studi literatur mengenai penelitian yang telah dilakukan sebelumnya sebagai referensi dan landasan teori. Setelah pengumpulan data dan landasan teori selesai, dilakukan permodelan kapal *corvette* dengan menggunakan *software* Maxsurf sehingga didapatkan model 3D kapal yang akan diuji dalam penelitian ini.

Setelah desain 3D selesai dibuat, dilakukan perhitungan respon gerakan kapal pada *sea state* 2-6 dengan variasi *heading angle* 180°, 135°, dan 90° sehingga didapatkan *wave spectrum* pada *sea state* 2-6 dengan variasi *heading angle* 180°, 135°, dan 90°. Setelah *spectrum* gelombang didapatkan, dilakukan perhitungan *added wave resistance* dan *added power* akibat penambahan hambatan dengan menggunakan tiga metode yaitu Havelock *theory*, Salveseen, dan Gerritsma pada *sea state* 2 hingga *sea state* 6 dengan menggunakan tiga variasi *heading angle* gelombang seperti yang telah disebutkan diatas.

Setelah didapatkan hasil *added wave resistance* dan *added power* dengan menggunakan ketiga metode tersebut, dilakukan analisa dengan membandingkan hasil yang didapatkan. Setelah dilakukan analisa mengenai ketiga metode perhitungan *added wave resistance* dan *added power*, dilakukan penulisan laporan. Setelah dilakukan penulisan laporan maka penelitian ini dianggap telah selesai.

III.2. Studi Literatur

Tujuan tahap ini adalah untuk mengetahui karakteristik kapal perang corvette serta mencari teori, konsep, dan rumusan perhitungan untuk menyelesaikan permasalahan yang ada. Dalam tugas akhir ini digunakan program Ansys Aqwa untuk perhitungan numerik analisis olah gerak kapal. Oleh karena itu perlu diketahui bagaimana cara kerja dan teori dari program tersebut, input yang dibutuhkan untuk menjalankan program, serta output yang diharapkan dalam pengerjaan tugas akhir ini. Selain itu, dilakukan juga pengumpulan informasi mengenai data ukuran utama kapal, *linesplan*, dan hidrostatik untuk proses pemodelan kapal.

III.3. Data Kapal

Data kapal perang tipe *Corvette* yang diperoleh dalam pengerjaan tugas akhir ini yaitu meliputi Ukutan Utama, *Linesplan*, *General Arrangement*, dan Model Maxsurf 3D. Berikut merupakan data ukuran utama kapal *corvette* yang akan diuji dalam penelitian ini:

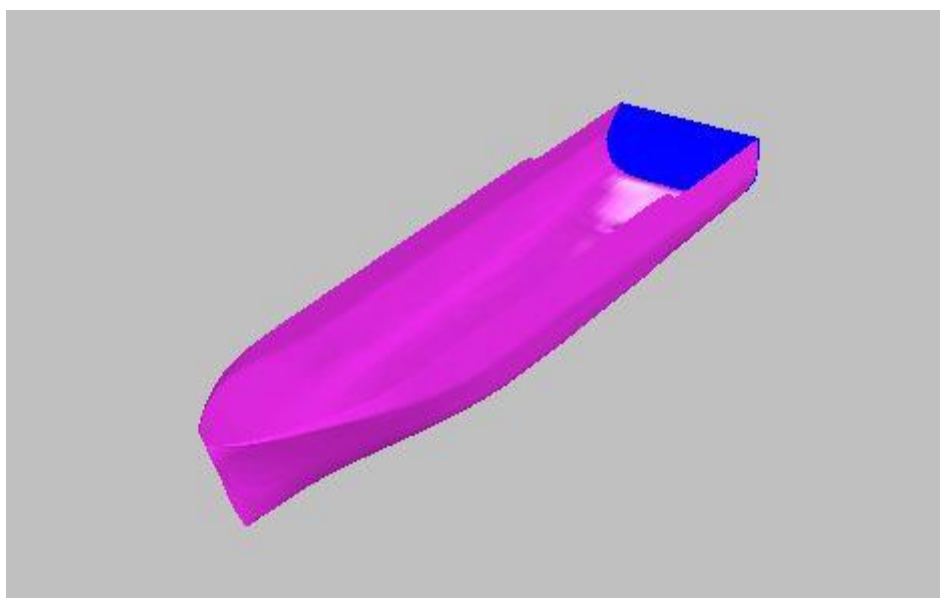
Tabel III.1 Ukuran Utama dan Hidrostatik Kapal Corvette

	Nilai	Satuan
Loa	106,0	m
B	14,00	m
T	3,700	M
H	8,750	M
Vs	30,00	Knot
Cp	0,67	
Cb	0,498	
Cm	0,744	
Cwp	0,827	
Disp.	2423,379	Ton
Volume	2364,272	m^3
WSA	1370,378	m^2

Tabel III.1 merupakan data utama kapal *corvette* yang akan diuji dalam penelitian ini. Data kapal tersebut meliputi ukuran utama, kecepatan dinas, koefisien kapal, dan data hidrostatik kapal lainnya.

III.4. Permodelan Kapal

Pemodelan lambung kapal yang akan digunakan sebagai input pada perangkat lunak Numeca dengan menggunakan bantuan software Maxsurf Modeler. Maxsurf membuat model lambung kapal yang terdiri dari beberapa surface dengan fitur 3D NURB (Non-Uniform Rational B-Spline). Database yang akan digunakan pada tahap ini adalah linesplan kapal *Corvette* dan disesuaikan dengan data kapal seperti ukuran utama dan *displacement*.

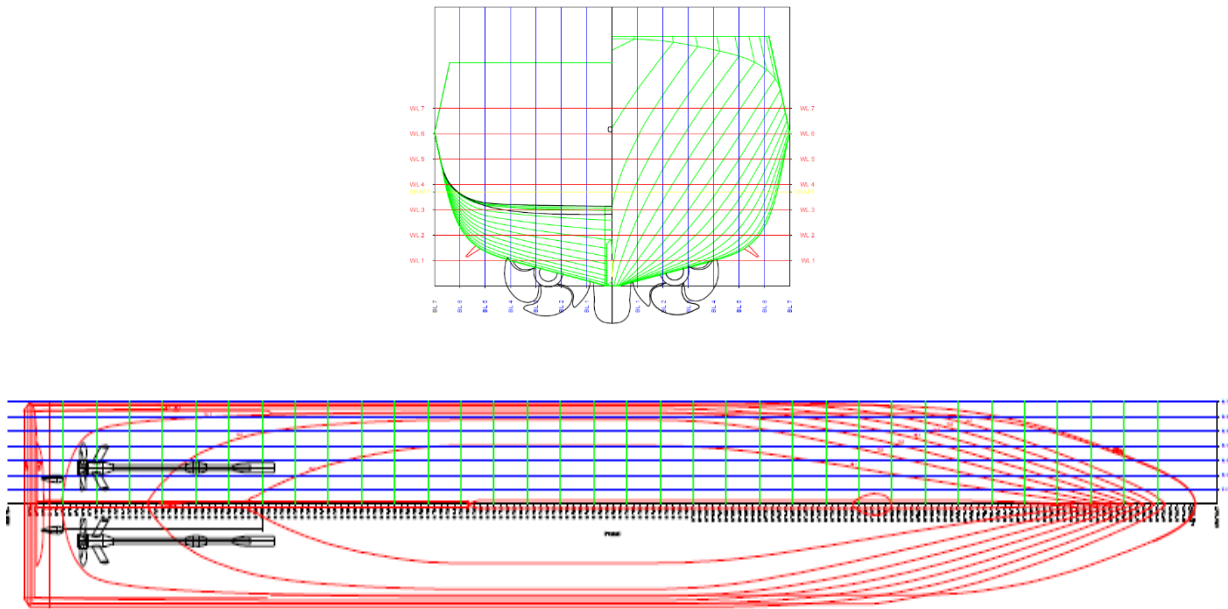


Gambar III.2 Permodelan Kapal dengan Menggunakan *software Maxsurf*

Gambar III.2 merupakan permodelan tiga dimensi yang dilakukan pada kapal *corvette* yang akan dikapkan diuji pada penelitian ini dengan menggunakan *software Maxsurf*. Permodelan kapal dilakukan semirip mungkin dengan data kapal yang didapatkan sehingga diharapkan penelitian ini mendapatkan hasil yang optimal.

Setelah permodelan selesai, dilakukan perhitungan *hydrostatic* dengan menggunakan *software Maxsurf*. Hal ini dilakukan untuk mendapatkan data kapal lambung tanpa *transverse step* dan lambung dengan *transverse step*. Seperti yang telah dijelaskan sebelumnya, bahwa untuk mendapatkan *displacement* yang sama maka dilakukan perubahan sarat pada kapal

dengan *transverse step*. Perbedaan yang terjadi ditunjukkan pada Tabel IV.1 beserta selisihnya. Karena dalam kasus ini, perbedaan yang terjadi pada data kapal akibat perbedaan sarat tidak menjadi perhatian khusus karena hal tersebut bukan menjadi masalah dalam kasus ini dengan catatan ukuran utama dan karakteristik lambung seperti sudut *deadrise*, *angle of entrance*, *angle of attack* dll pada kapal tidak berubah.



Gambar III.3 Linesplan Kapal Corvette

Gambar III.3 merupakan *linesplan* kapal *corvette* yang didapatkan setelah model 3D kapal selesai dibuat. Setelah *linesplan* selesai dibuat, maka proses permodelan kapal dalam penelitian ini selesai dilakukan.

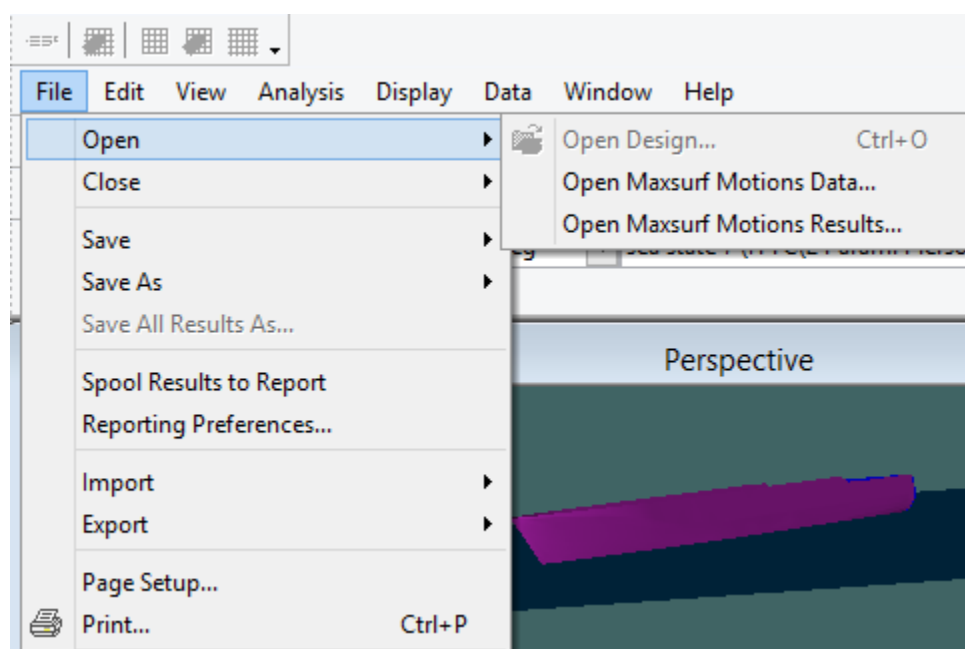
III.5. Maxsurf Motions

Dalam proses perhitungan *added wave resistance* menggunakan perangkat lunak Maxsurf Motion dibutuhkan model kapal dan beberapa data lainnya seperti, tinggi gelombang untuk tiap sea state yang akan dihitung, kecepatan kapal yang digunakan, sudut hadang gelombang, dan juga beberapa pengaturan pengaturan dalam analisis yang akan dilakukan seperti metode pemodelan dan lain lain.

Hasil perhitungan dari perangkat lunak Maxsurf Motion adalah RAO dari *heave*, *pitch*, dan *added wave resistance*. Selain RAO juga didapatkan respons spektrum *heave*, *pitch*, dan *added wave resistance*. Hasil perhitungan ini nantinya akan digunakan untuk menganalisa gerakan kapal dan juga untuk menganalisa nilai *added wave resistance* pada kapal perang Tipe *Corvette*. Supaya dapat melakukan perhitungan *added wave resistance* dengan Maxsurf Motion tahapan yang harus dilakukan adalah sebagai berikut.

III.5.1. Pemodelan

Untuk melakukan analisis pada Maxsurf Motion, diperlukan model kapal yang digunakan. Cara untuk memasukkan model kedalam Maxsurf Motion yaitu dengan cara klik menu *file > open > open design*. Berikut merupakan tampilan pada saat akan memasukkan model ke dalam Maxsurf Motion.

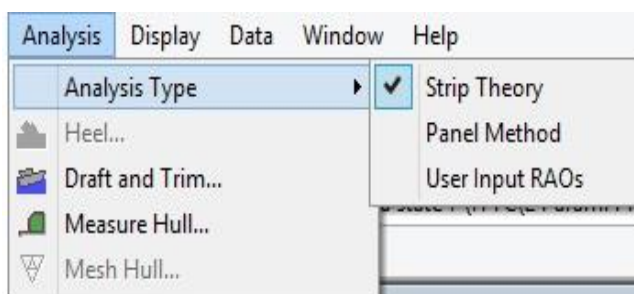


Gambar III.4 *Open Design*

Gambar III.4 merupakan langkah yang dilakukan dalam memasukan desain kapal yang telah dibuat pada *software Maxsurf Modeller*.

III.5.2. Metode Analisis

Langkah berikutnya setelah pemodelan yaitu adalah *analysis method*. Proses ini adalah menentukan metode yang akan digunakan untuk menganalisis *added wave resistance*. Terdapat dua jenis metode yaitu *strip theory* dan *panel method*. Kedua metode tersebut memiliki peruntukannya masing masing seperti *strip theory* hanya dapat melakukan analisa heave, roll, dan pitch sementara *panel method* dapat melakukan analisa seluruh 6 derajat kebebasan kapal. Cara untuk memilih metode analisis yaitu dengan cara klik menu *analysis* lalu klik *analysis type* sehingga akan muncul tampilan seperti berikut.

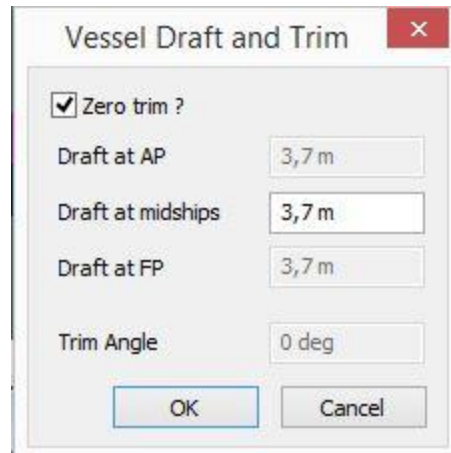


Gambar III.5 Analysis Method

Gambar III.5 merupakan langkah dalam memilih metode yang akan digunakan dalam perhitungan tersebut. Gambar tersebut menunjukkan pilihan metode yang dapat dipilih yaitu *Strip Theory*, *Panel Method*, dan *User Input RAOs*. Dalam penelitian ini, metode yang dipilih adalah *Strip Theory*.

III.5.3. Vessel Draft and Trim

Pada proses ini, dibutuhkan untuk memasukkan data kapal berupa sarat kapal dan sudut *trim* (apabila terdapat *trim* pada kapal). Cara untuk memasukkan data kapal adalah dengan klik pada menu *analysis* lalu setelah itu klik pada bagian *draft and trim*. Sehingga akan muncul tampilan seperti berikut.



Gambar III.6 *Vessel Draft and Trim*

Pada Gambar III.6 diatas terdapat beberapa kolom yang harus diisi. Yang pertama yaitu kolom *zero trim* apabila tidak ada trim pada kapal maka klik pada box disebelah tulisan sehingga kolom yang harus diisi hanya kolom *draft at midship*. Pada kolom *draft at midship* dimasukkan nilai sarat kapal yang akan dianalisis. Setelah selesai klik tombol ok.

III.5.4. Jenis Kapal

Proses ini berfungsi untuk memilih jenis kapal yang akan dianalisis. Cara untuk memasukkan jenis kapal yang akan digunakan yaitu pertama klik menu *analysis* lalu setelah itu klik pilihan *vessel type* sehingga akan muncul tampilan seperti berikut.

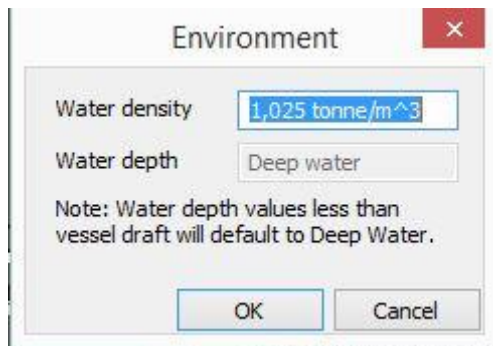


Gambar III.7 *Vessel Type*

Gambar III.7 menunjukan pilihan jenis lambung kapal yang akan diuji, pilihan yang dapat dipilih seperti pada gambar diatas adalah lambung tunggal dan lambung ganda. Dalam penelitian ini, kapal yang digunakan merupakan kapal jenis lambung tunggal.

III.5.5. Environment

Cara untuk menampilkan kolom *environment* yaitu dengan klik menu *analysis* lalu setelah itu klik *environment* sehingga akan muncul tampilan seperti berikut.

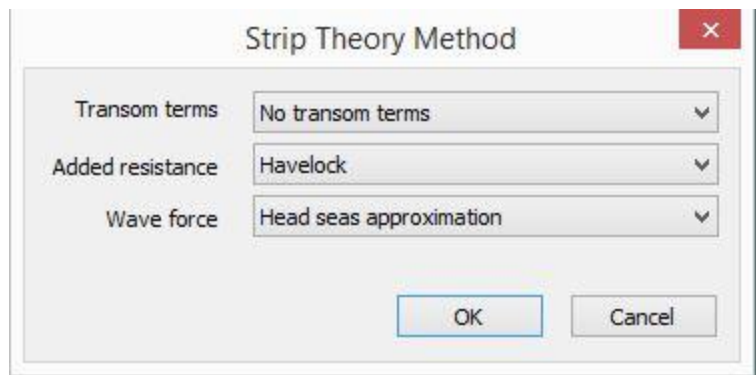


Gambar III.8 Environment

Gambar III.8 menunjukkan *interface* yang muncul dalam kolom pilihan *enviroment* dimana pada kolom tersebut terdapat kolom massa jenis air dan kedalaman air pada kolom *environment*. Kedalaman air tidak perlu di isi karena secara otomatis kapal diasumsikan berada pada perairan dalam.

III.5.6. Strip Theory Method

Proses ini berfungsi untuk menentukan beberapa metode yang akan digunakan seperti metode analisis untuk perhitungan *added resistance*, metode analisis untuk perhitungan gaya gelombang, dan koreksi transom. Cara untuk memasukkan data data tersebut yaitu dengan klik menu *analysis* lalu klik pada pilihan *strip theory method*. Setelah itu akan muncul tampilan seperti berikut.



Gambar III.9 *Strip Theory Method*

Pada Gambar III.9 menunjukkan kolom mengenai *strip theory method* yang telah dipilih sebagai metode yang digunakan dalam penelitian ini. Pada gambar tersebut, kolom *transom terms* terdapat pilihan *no transom terms* dan *transom terms*. Koreksi *transom terms* akan menambahkan hasil *damping* daripada *heave* dan *pitch* sehingga akan menyebabkan berkurangnya nilai respons dari kapal.

Pada kolom *added resistance* terdapat empat pilihan metode untuk menghitung nilai *added resistance*. Terdapat metode *Salvesen*, *Gerritsma and Beukelman*, dan *Havelock Theory*. Pada kolom *wave force* terdapat dua pilihan yaitu *head seas approximation* dan *arbitrary wave heading*. *Head seas approximation* digunakan untuk menganalisa sudut hadang gelombang antara 160 derajat – 200 derajat. Sementara *arbitrary wave heading* digunakan untuk menghitung sudut hadang gelombang diluar rentang sudut *head seas approximation*.

III.5.7. Pengaturan Kecepatan Kapal, dan Gelombang

Pada kolom *inputs* terdapat beberapa *sheet* yang perlu untuk disunting. Berikut merupakan tampilan dari kolom *inputs*.

	Name	Speed [kn]	Analyse
1	half speed	15,000	<input checked="" type="checkbox"/>
2	full speed	30,000	<input checked="" type="checkbox"/>

Gambar III.10 *Inputs*

Gambar III.10 merupakan *interface* yang muncul pada kolom pengisian kecepatan kapal yang akan diuji. Pada gambar tersebut terdapat *sheet speeds*, *headings*, dan *spectra*. Pada bagian *speeds* dapat ditambahkan variasi kecepatan kapal yang akan digunakan. Cara untuk menambahkan atau mengurangi *item* yaitu dengan menggunakan menu *edit* atau bisa langsung menambahkan dengan tombol Ctrl + A dan mengurangi dengan menggunakan tombol del.

Bagian *headings* digunakan untuk menambahkan sudut gelombang yang menghadang kapal. Pada bagian *spectra* digunakan untuk menambahkan spektrum gelombang atau sea state yang akan digunakan.

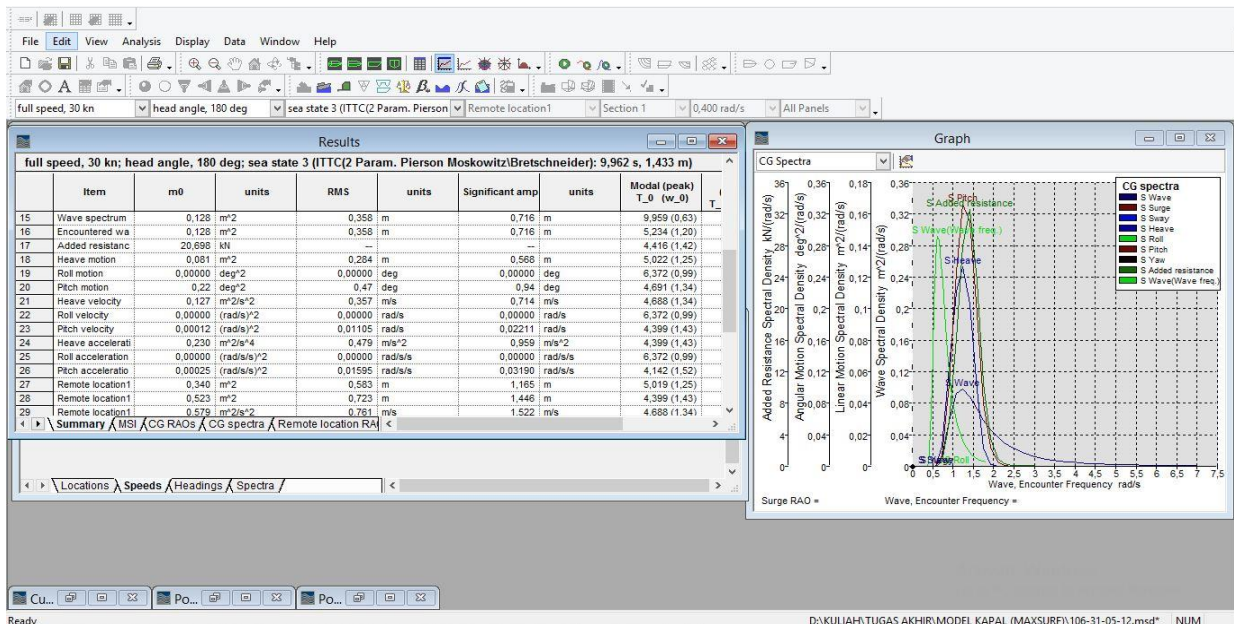
III.5.8. Perhitungan *Motion*

Pada penelitian ini, perilaku gerak kapal corvette dikaji dalam kondisi gelombang irregular dengan lima variasi *sea state* yaitu skala 2 – 6. Dengan *heading angle* sebesar 90°, 135°, dan 180°.

III.5.9. Perhitungan Wave Encounter Spectrum

Pada penelitian ini, perilaku gerak kapal corvette dikaji dalam kondisi gelombang irregular dengan rentang frekuensi gelombang *encounter* yang dianalisis antara 0.4 – 7 rad/s dengan jarak antar frekuensi yaitu sebesar 0.17 rad/s. Untuk itu didapatkan spektrum gelombang *encounter* untuk menggambarkan kondisi gelombang yang diinginkan. Spektrum gelombang dibuat dalam lima variasi *sea state* yaitu skala 2-6.

Respons struktur pada gelombang irregular dapat dilakukan dengan mentransformasikan spektrum gelombang *encounter* menjadi spectrum respons. Spectrum respons didefinisikan sebagai respons kerapatan energi pada struktur. Hal ini didapatkan dengan mengalikan harga dari *response amplitude operators* (RAO) dengan spectrum gelombang encounter.



Gambar III.11 Hasil Solving Maxsurf Motion

Gambar III.11 menunjukkan *interface* yang muncul setelah proses perhitungan *wave spectrum* selesai dilakukan. Seperti pada gambar diatas, grafik disebelah kanan gambar merupakan grafik spektrum gelombang yang didapatkan.

III.6. Perhitungan *Added Wave Resistance*

Setelah mendapatkan respons untuk gerakan *heaving* dan *pitching*, dilakukan perhitungan *added wave resistance*. Perhitungan dilakukan pada frekuensi gelombang *encounter* yang dianalisis yaitu antara 0.4 – 7 rad/s dengan jarak antar frekuensi yaitu sebesar 0.17 rad/s. Perhitungan *added wave resistance* menggunakan tiga metode yaitu Metode Havelock Theory, Salvesen, dan Gerritsma & Beukelman. Untuk perhitungan Metode Havelock Theory dapat dilihat pada persamaan (2.4), untuk perhitungan Metode Salvesen dapat dilihat pada persamaan (2.5), dan untuk perhitungan Metode Gerritsma & Beukelman dapat dilihat pada persamaan (2.11).

III.7. Perhitungan *Added Wave Resistance* pada Gelombang Irregular

Untuk mendapatkan nilai *added wave resistance* pada gelombang irreguler maka perlu dihitung nilai rata-rata daripada *added wave resistance* untuk tiap *sea state* yaitu skala 2-6 dan *heading angle* 180, 135, dan 90. Untuk perhitungan *added wave resistance* irregular dapat dilihat pada persamaan (2.12)

III.8. Perhitungan *Added Power*

Setelah didapatkan *added wave resistance* irregular untuk tiap *sea state* dan *heading angle* dan juga hambatan kapal pada air tenang, maka dapat diperoleh *added power* kapal untuk tiap *sea state* dan *heading angle*. Perhitungan *added power* dapat dilihat pada persamaan (2.13). Pada persamaan (2.13) terdapat komponen hambatan total, dimana hambatan total yang terdapat pada persamaan tersebut yaitu hambatan kapal pada air tenang dan *added wave resistance*.

III.9. Perhitungan RMS

Untuk membandingkan hasil perhitungan *added wave resistance* dan *added power* tiap metode maka diperlukan perhitungan RMS. RMS dikalkulasi dengan menggunakan persamaan (2.14).

III.10. Perhitungan *Speed Loss*

Perhitungan *speed loss* pada penelitian ini yaitu dengan memanfaatkan grafik power pada air tenang dan gelombang irregular. Proses perhitungannya dengan mengambil selisih perbedaan antara *speed* di air tenang dengan gelombang irreguler pada *power* yang sama.

III.11. Kesimpulan

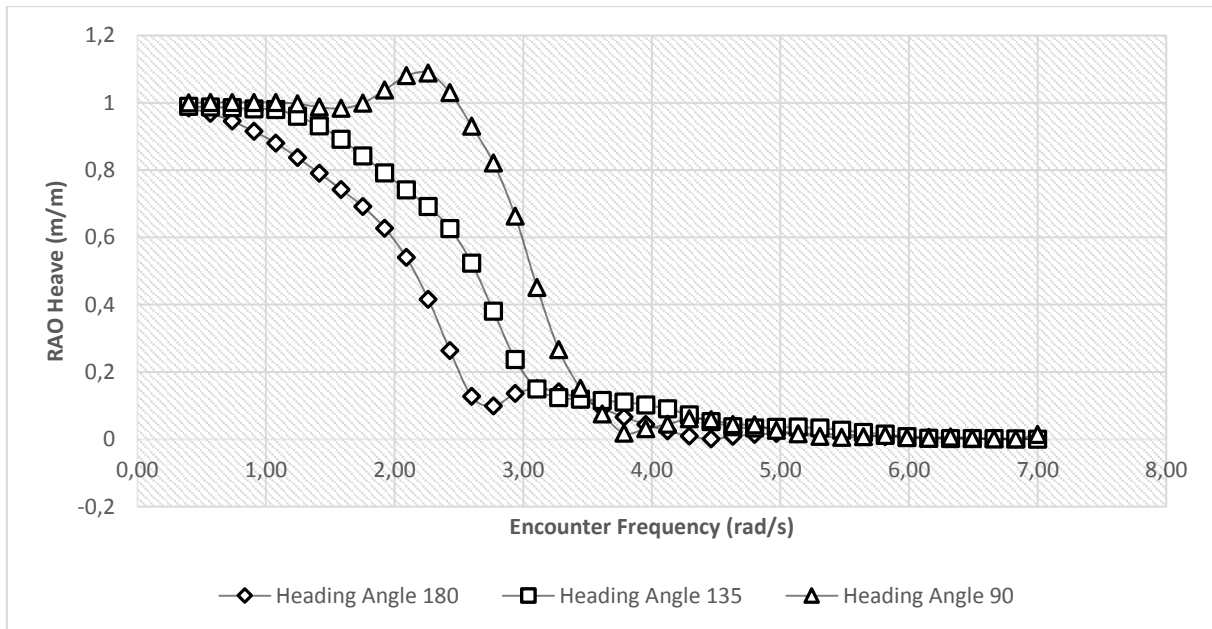
Pada tahapan selanjutnya yaitu penyusunan kesimpulan dari keseluruhan penelitian yang dilakukan mulai dari awal sampai akhir. Kesimpulan ini merupakan pembuktian dari hipotesis awal serta jawaban dari permasalahan yang ada meliputi ketercapaian tujuan penelitian. Pada tahapan ini juga dilakukan penyusunan laporan tugas akhir yang merupakan keseluruhan laporan dari penelitian yang telah dikerjakan.

BAB IV

HASIL DAN PEMBAHASAN

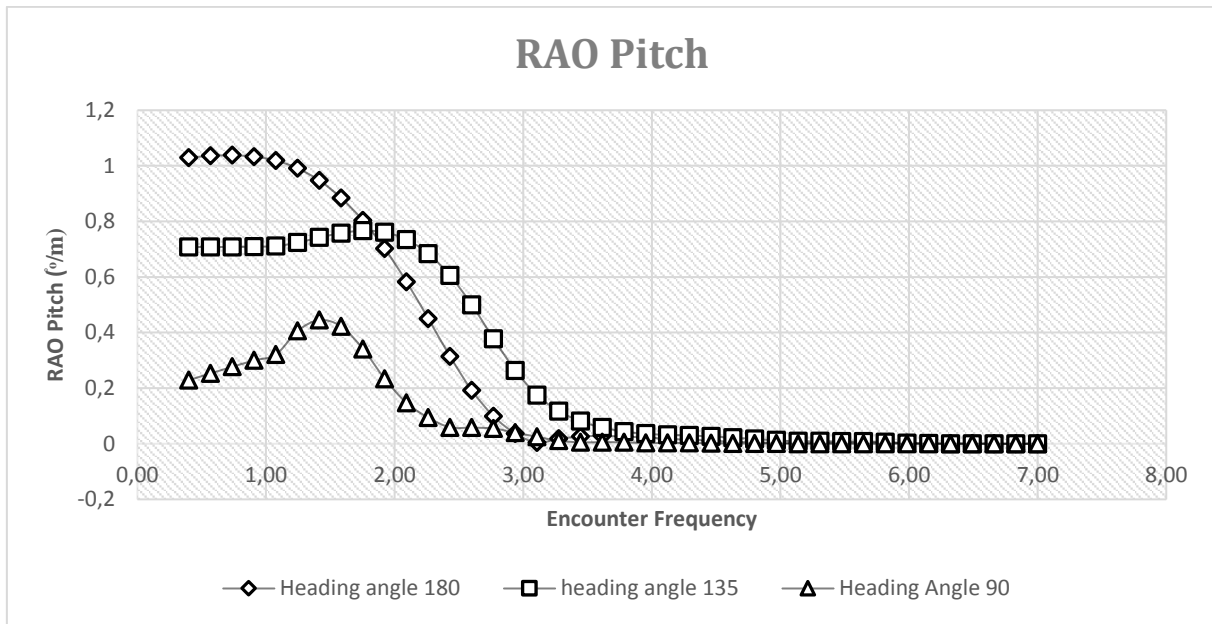
IV.1. RAO *Heave* dan *Pitch* Kapal *Corvette*

Hasil perhitungan dari RAO *heave* dan *pitch* didapatkan setelah perangkat lunak Maxsurf Motions selesai di *running*. Analisis RAO dihitung pada sudut hadang 180° , 135° , dan 90° pada *sea state 2 - 6*.



Gambar IV.1 RAO *Heave*

Gambar IV.1 menunjukkan hasil response amplitude operator (RAO) pada gerakan *heave* dengan variasi *heading angle* 180° , 135° , dan 90° . Berdasarkan gambar tersebut dapat diketahui bahwa RAO terbesar terjadi ketika kapal bergerak pada *heading angle* 90° dan terjadi pada frekuensi *encountered* 2.26 rad/s yaitu sebesar 1.088 m/m.

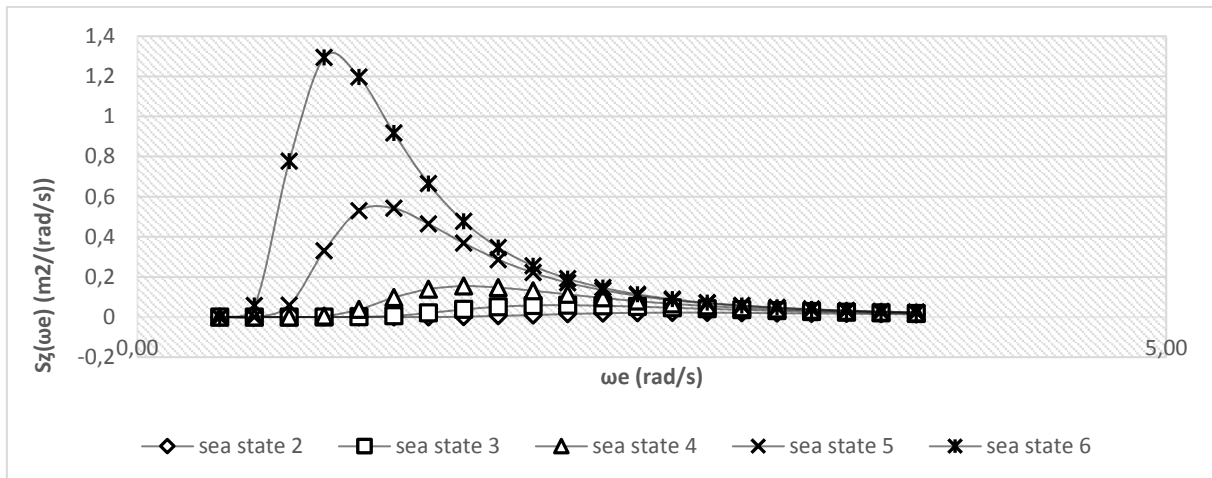


Gambar IV.2 RAO Pitch

Gambar IV.2 menunjukkan hasil response amplitude operator (RAO) pada gerakan *pitch* dengan variasi *heading angle* 180° , 135° , dan 90° . Berdasarkan gambar tersebut dapat diketahui bahwa RAO terbesar terjadi ketika kapal bergerak pada *heading angle* 180° dan terjadi pada frekuensi *encountered* 0.74 rad/s yaitu sebesar $1.038 \text{ } ^\circ/\text{m}$. Nilai numerik *encounter wave frequency* dan RAO *heave* dan *pitch* secara detail dapat dilihat pada Lampiran A.

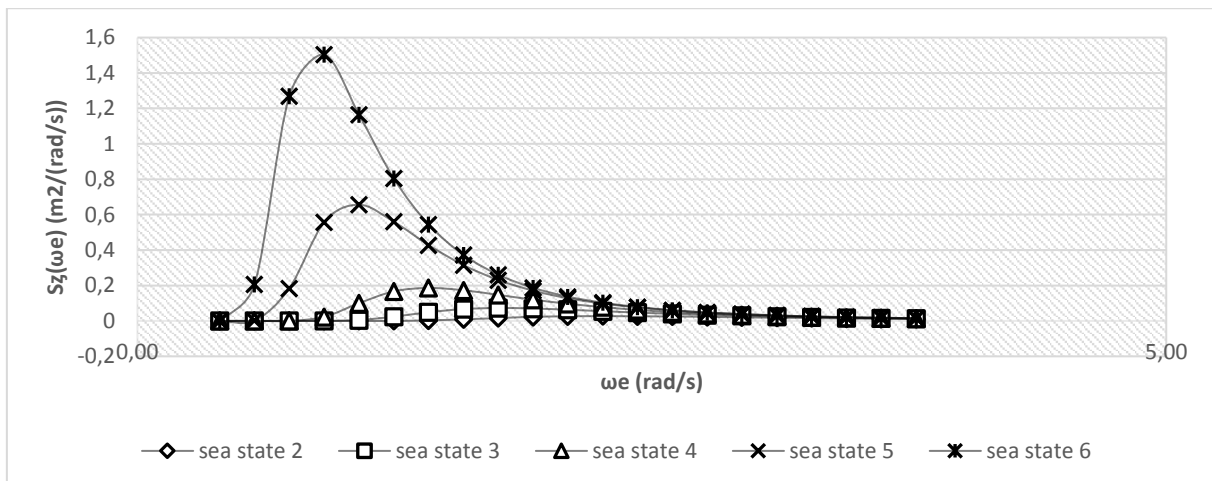
IV.2. Wave Spectrum

Untuk mendapatkan gerakan kapal karena pengaruh gelombang irreguler, maka dilakukan perhitungan spectrum gelombang. Persamaan spektrum gelombang ITTC digunakan dalam penggerjaan tugas akhir ini. Spektrum gelombang tersebut kemudian ditransformasikan menjadi spectrum gelombang *encountered* pada *heading angle* 180° , 135° , dan 90° pada *sea state* 2 – 6. Pada Gambar IV.3 merupakan spektrum gelombang *encountered* yang diperoleh dari Maxsurf Motions.



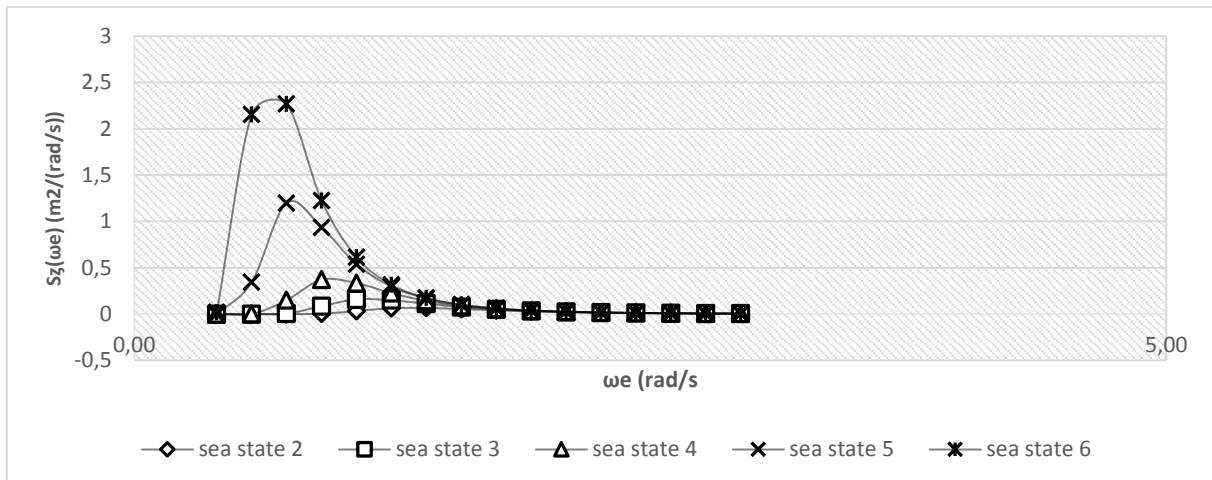
Gambar IV.3 Wave Encounter Spectrum Heading Angle 180°

Gambar IV.3 menunjukkan hasil bahwa spectrum gelombang dengan *sea state* yang berbeda akan meghasilkan spectrum yang berbeda juga. Dapat dilihat bahwa spektrum gelombang tertinggi untuk *heading angle* 180° yaitu pada *sea state* 6.



Gambar IV.4 Wave Encounter Spectrum Heading Angle 135°

Gambar IV.4 menunjukkan hasil spektrum gelombang *encounter* untuk *heading angle* 135°. Sama seperti Gambar IV.3, spektrum gelombang *encounter* tertinggi yaitu terdapat pada *sea state* 6.

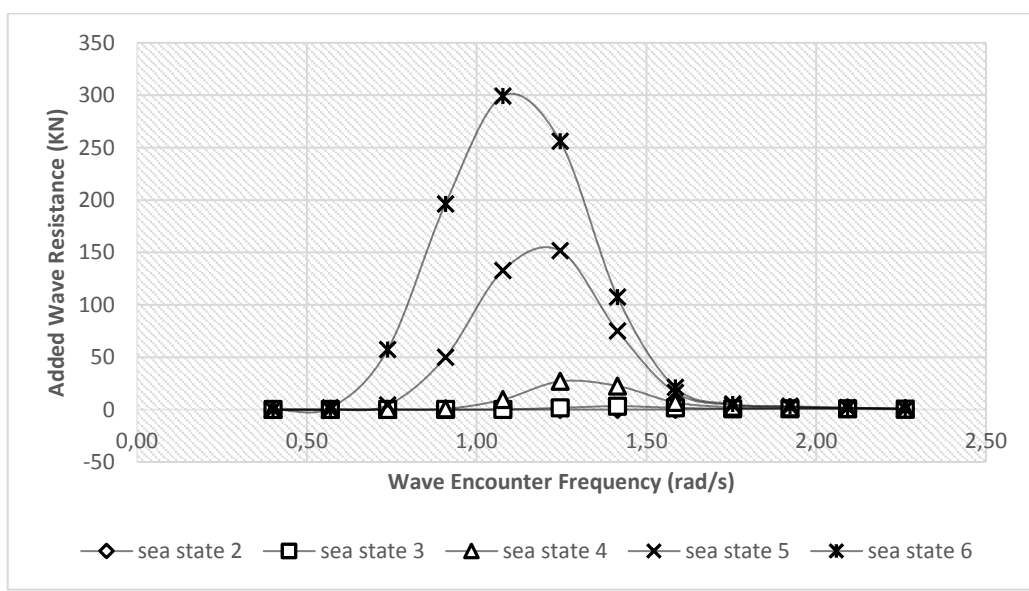


Gambar IV.5 Encounter Wave Spectrum Heading Angle 90°

Gambar IV.5 menunjukkan hasil spektrum gelombang *encounter* untuk *heading angle* 90°. Nilai numerik wave spectrum dan encounter wave spectrum secara detail dapat dilihat pada Lampiran B.

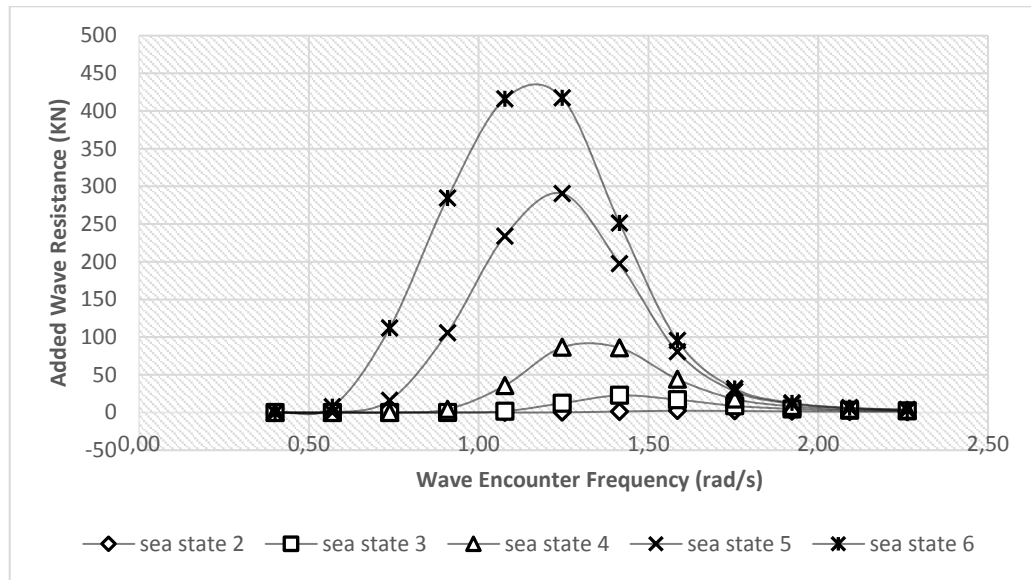
IV.3. Perhitungan *Added Wave Resistance* Menggunakan Metode Havelock

Setelah didapatkan spektrum gelombang *encounter* maka dapat dilakukan perhitungan *added wave resistance* pada *sea state* 2-6 untuk *heading angle* 180°, 135°, dan 90°. Perhitungan *added wave resistance* Metode Havelock dihitung dengan menggunakan persamaan (2.4).



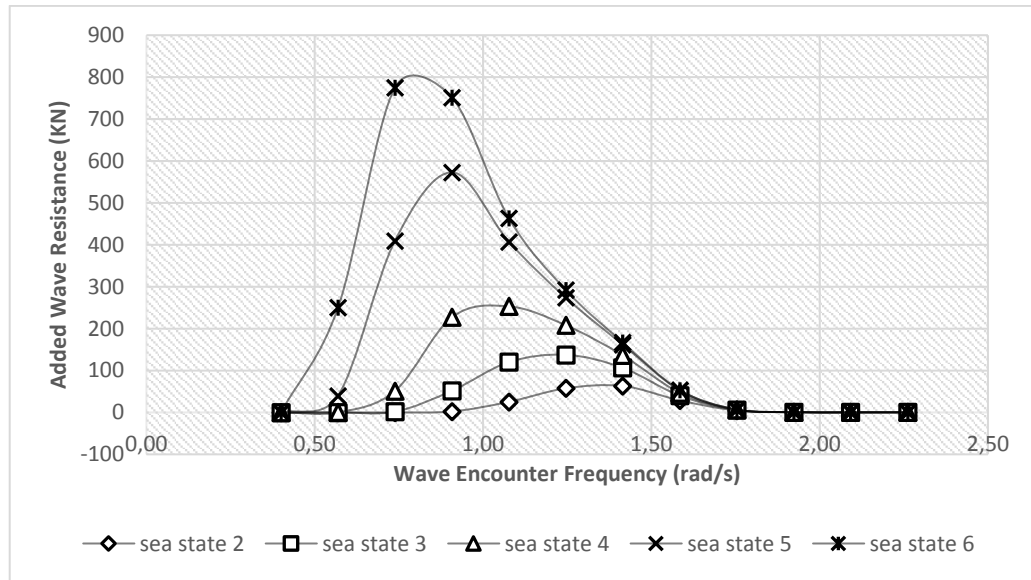
Gambar IV.6 Added Wave Resistance Havelock Heading Angle 180

Gambar IV.6 menunjukkan hasil nilai *added wave resistance* terbesar yaitu pada *sea state* 6 dengan nilai *added wave resistance* irreguler yaitu sebesar 8.73 kN.



Gambar IV.7 Added Wave Resistance Havelock Heading Angle 135

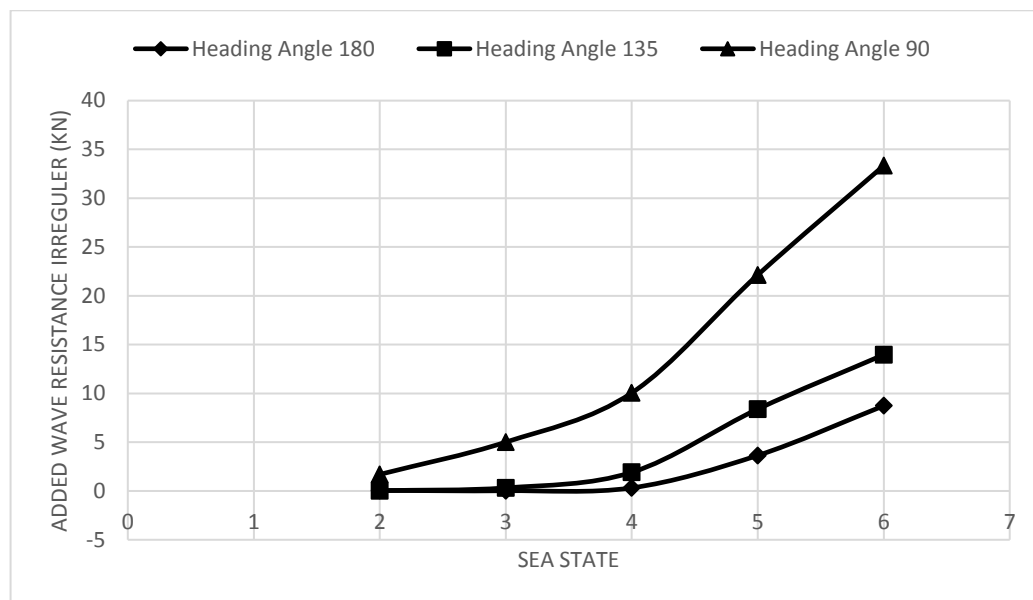
Gambar IV.7 menunjukkan hasil nilai *added wave resistance* terbesar yaitu pada *sea state* 6 dengan nilai *added wave resistance* irreguler yaitu sebesar 13.96 kN.



Gambar IV.8 Added Wave Resistance Havelock Heading Angle 90

Gambar IV.8 menunjukkan hasil nilai *added wave resistance* terbesar yaitu pada *sea state* 6 dengan nilai *added wave resistance* irreguler yaitu sebesar 33.33 kN. Pada Gambar

IV.6-8 juga menunjukkan dari *sea state* 2-6 semakin besar *sea state* atau *added wave resistance* pun semakin besar.

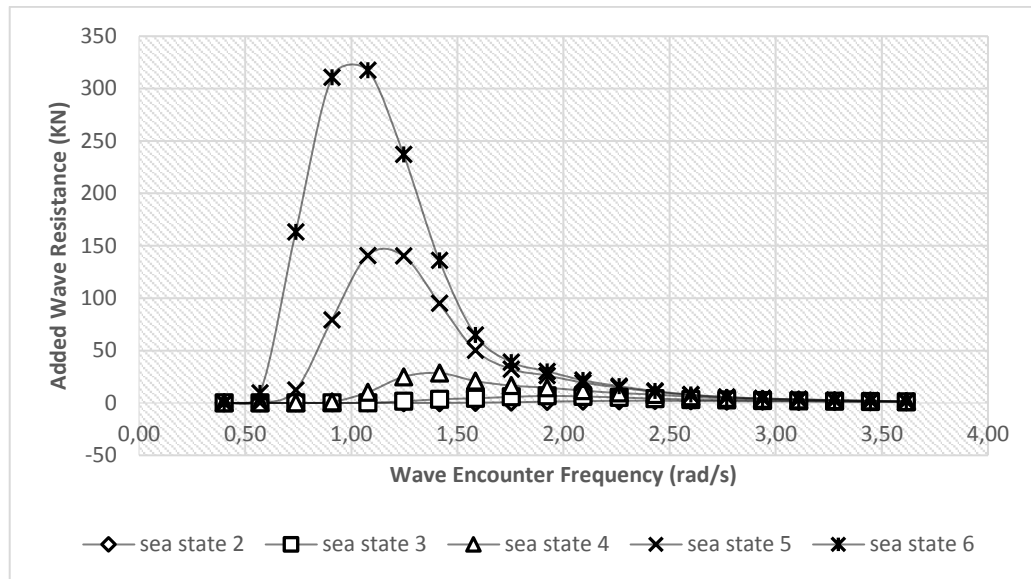


Gambar IV.9 Added Wave Resistance Irreguler Havelock

Pada Gambar IV.9 menunjukkan hasil nilai *added wave resistance* irreguler terbesar yaitu pada *heading angle* 90. Nilai numerik *added wave resistance* Havelock dan spektrum gelombang *encounter* secara detail dapat dilihat pada Lampiran C.

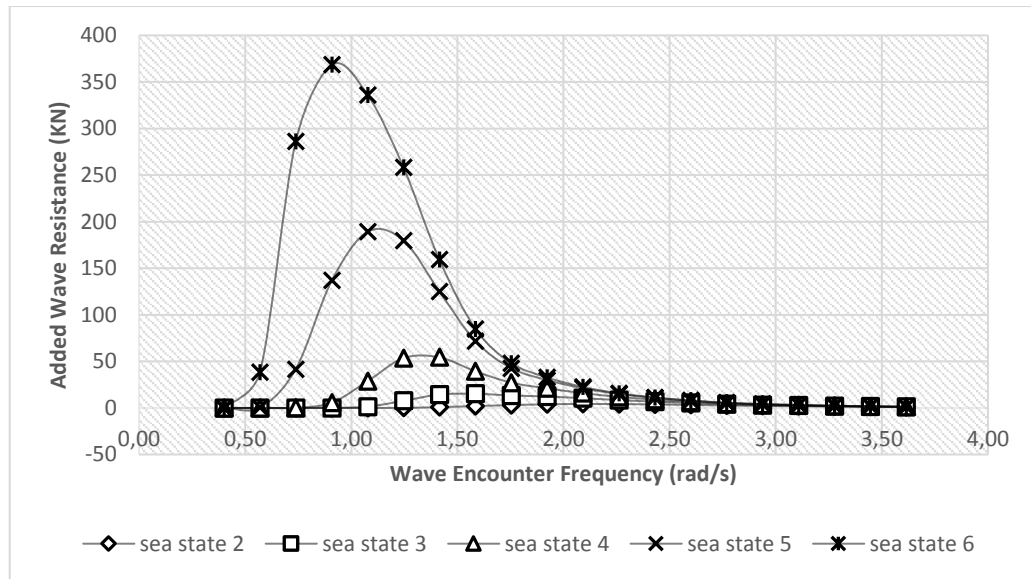
IV.4. Perhitungan *Added Wave Resistance* Menggunakan Metode Salvesen

Setelah dilakukan perhitungan Havelock, maka selanjutnya dilakukan perhitungan *added wave resistance* dengan menggunakan Metode Salvesen. Dalam perhitungan ini dihasilkan nilai *added wave resistance* untuk *heading angle* 180, 135, dan 90 pada *sea state* 2 – 6. Berikut merupakan hasil perhitungan *added wave resistance* Metode Salvesen:



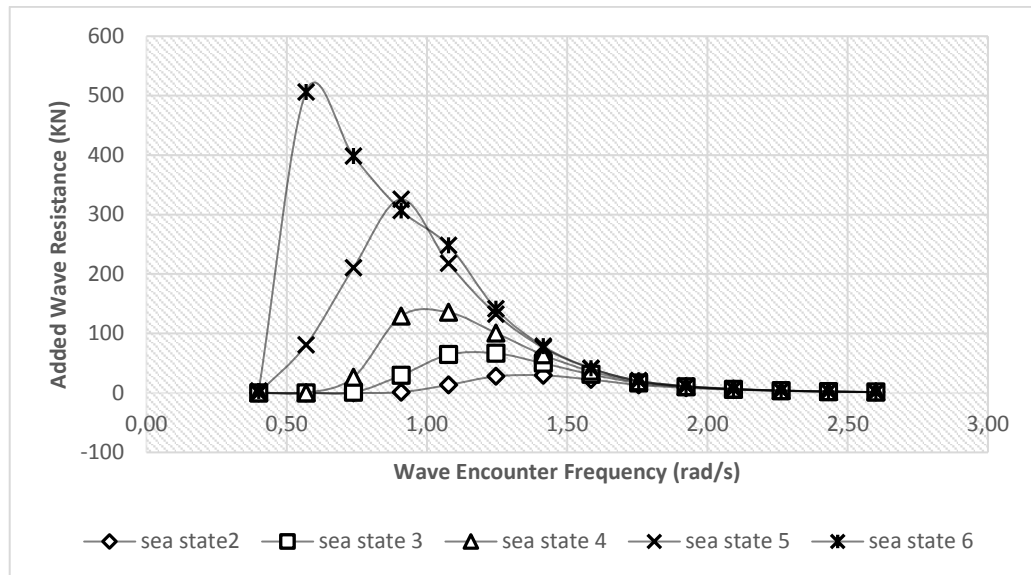
Gambar IV.10 Added Wave Resistance Salvesen Heading Angle 180

Gambar IV.10 menunjukkan hasil nilai *added wave resistance* terbesar yaitu pada *sea state 6* dengan nilai *added wave resistance* irreguler yaitu sebesar 11.18 kN.



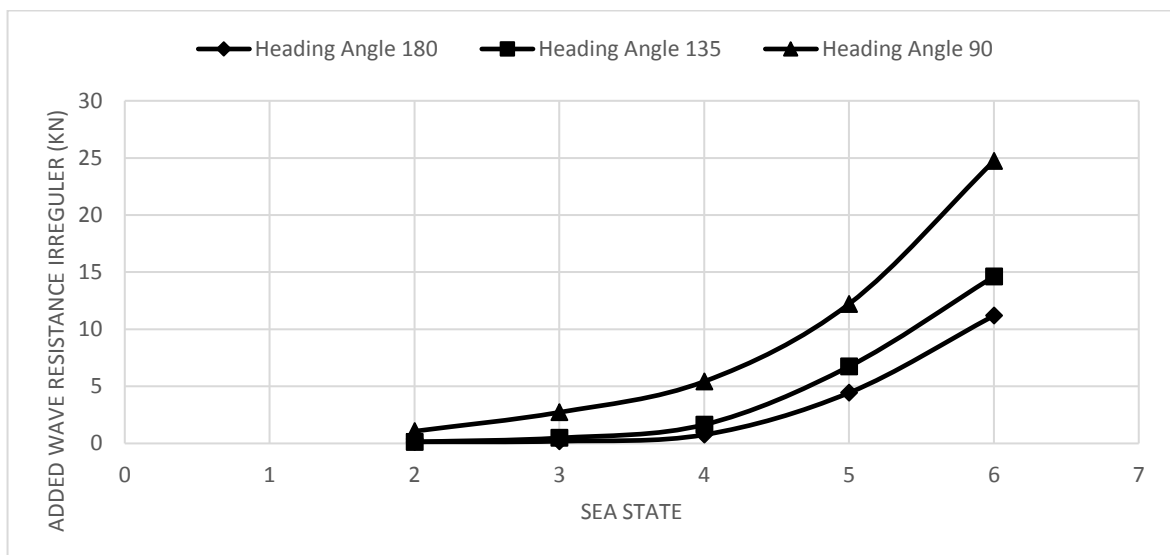
Gambar IV.11 Added Wave Resistance Salvesen Heading Angle 135

Gambar IV.11 menunjukkan hasil nilai *added wave resistance* terbesar yaitu pada *sea state 6* dengan nilai *added wave resistance* irreguler yaitu sebesar 14.61 kN.



Gambar IV.12 *Added Wave Resistance Salvesen Heading Angle 90*

Untuk *added wave resistance* dengan *heading angle* 90 dapat dilihat pada Gambar IV.12. Dapat dilihat bahwa nilai *added wave resistance* terbesar yaitu pada *sea state* 6 dengan nilai *added wave resistance* irreguler yaitu sebesar 24.73 kN. Gambar IV.12 juga menunjukkan dari *sea state* 2-6 semakin besar *sea state* maka nilai *added wave resistance* pun semakin besar.



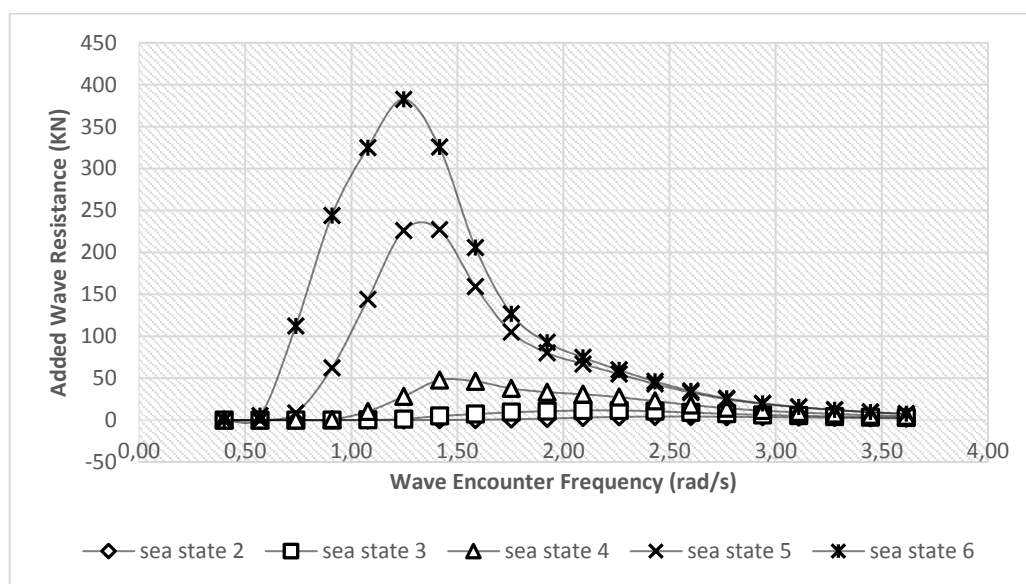
Gambar IV.13 *Added Wave Resistance Irregular Salvesen*

Gambar IV.13 menunjukkan *added wave resistance* irreguler untuk *heading angle* 180, 135, dan 90 pada *sea state* 2 – 6. Dapat dilihat bahwa nilai *added wave resistance* irregular terbesar yaitu pada *sea state* 6 dengan *heading angle* 90, dengan nilai *added wave*

resistance rata rata sebesar 24.73 kN. Nilai numerik *added wave resistance* Metode Salvesen dan spektrum gelombang *encounter* secara detail dapat dilihat pada Lampiran D.

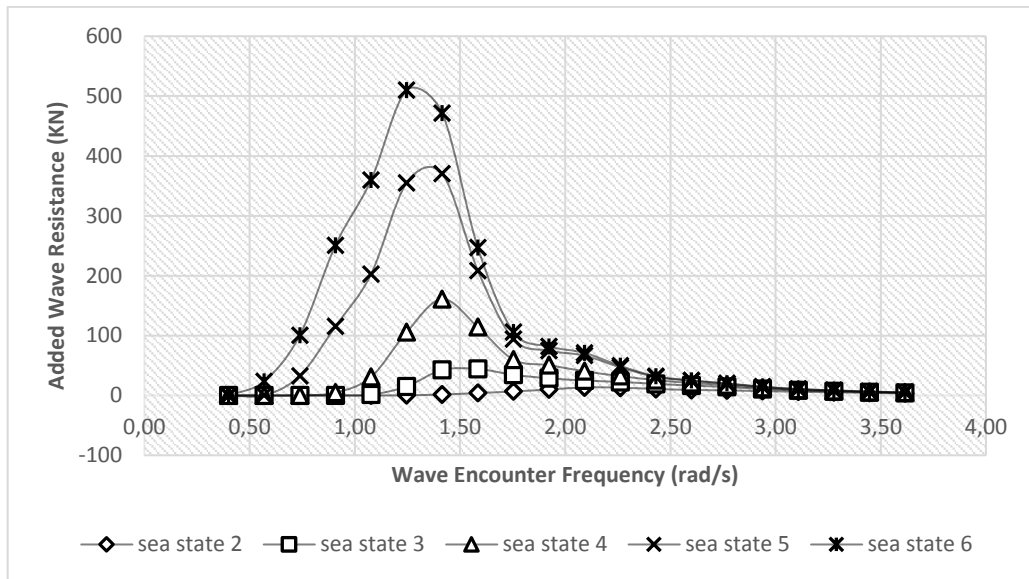
IV.5. Perhitungan *Added Wave Resistance* Menggunakan Metode Gerritsma & Beukelman

Setelah dilakukan perhitungan Metode Havelock dan Salvesen, maka selanjutnya dilakukan perhitungan *added wave resistance* dengan menggunakan Metode Gerritsma & Beukelman. Dalam perhitungan ini dihasilkan nilai *added wave resistance* untuk *heading angle* 180, 135, dan 90 pada *sea state* 2 – 6.



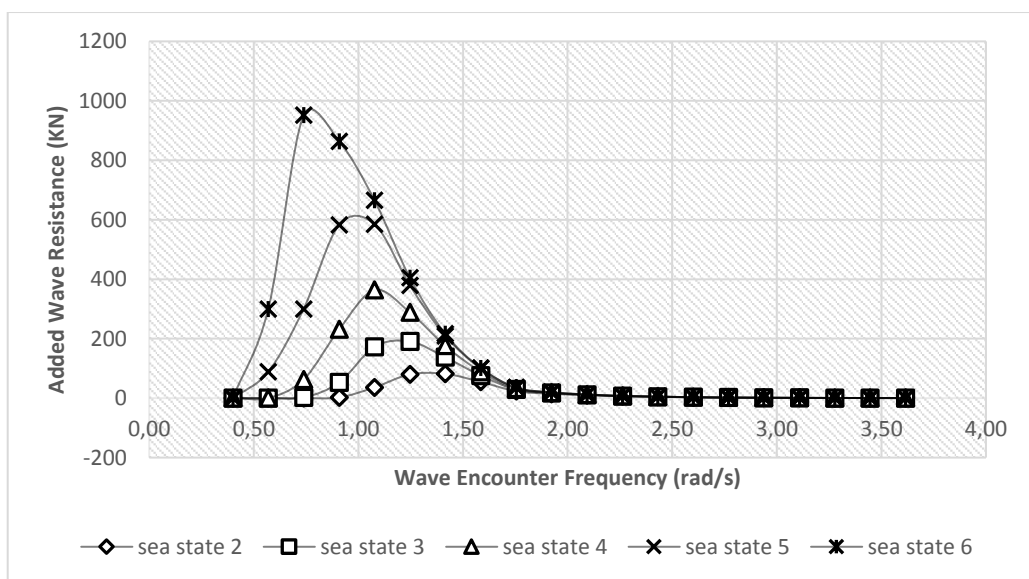
Gambar IV.14 *Added Wave Resistance* Gerritsma & Beukelman 180

Gambar IV.14 menunjukkan hasil nilai *added wave resistance* terbesar untuk *heading angle* 180 yaitu terdapat pada *sea state* 6 dengan nilai *added wave resistance* irreguler yaitu sebesar 13.83 kN.



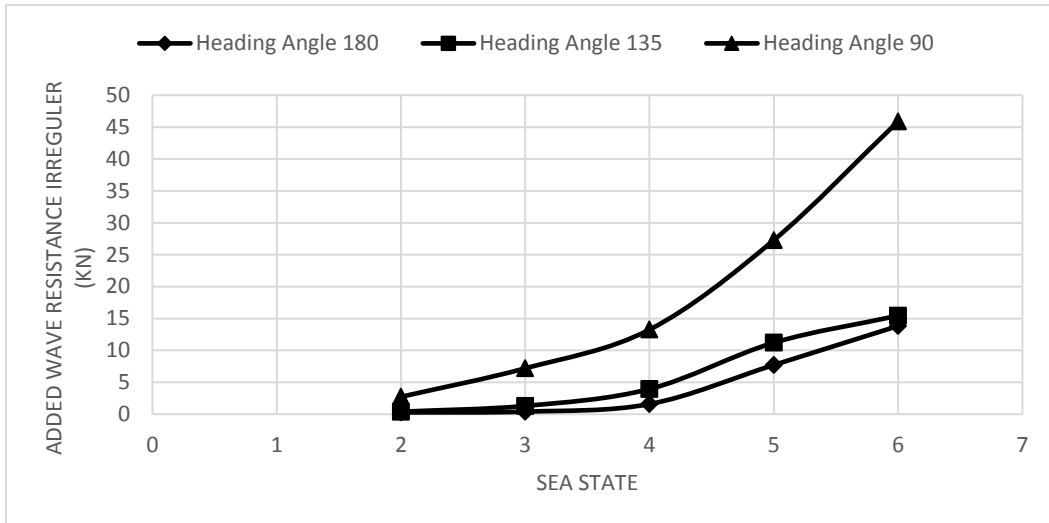
Gambar IV.15 *Added Wave Resistance Gerritsma & Beukelman Heading Angle 135*

Gambar IV.15 menunjukkan hasil nilai *added wave resistance* terbesar untuk *heading angle* 135 yaitu terdapat pada *sea state* 6 dengan nilai *added wave resistance* irreguler yaitu sebesar 15.44 kN.



Gambar IV.16 *Added Wave Resistance Gerritsma & Beukelman Heading Angle 90*

Gambar IV.16 menunjukkan hasil nilai *added wave resistance* terbesar untuk *heading angle* 180 yaitu terdapat pada *sea state* 6 dengan nilai *added wave resistance* irreguler yaitu sebesar 45.89 kN. Gambar IV.16 juga menunjukkan dari *sea state* 2-6 semakin besar *sea state* maka nilai *added wave resistance* pun semakin besar.

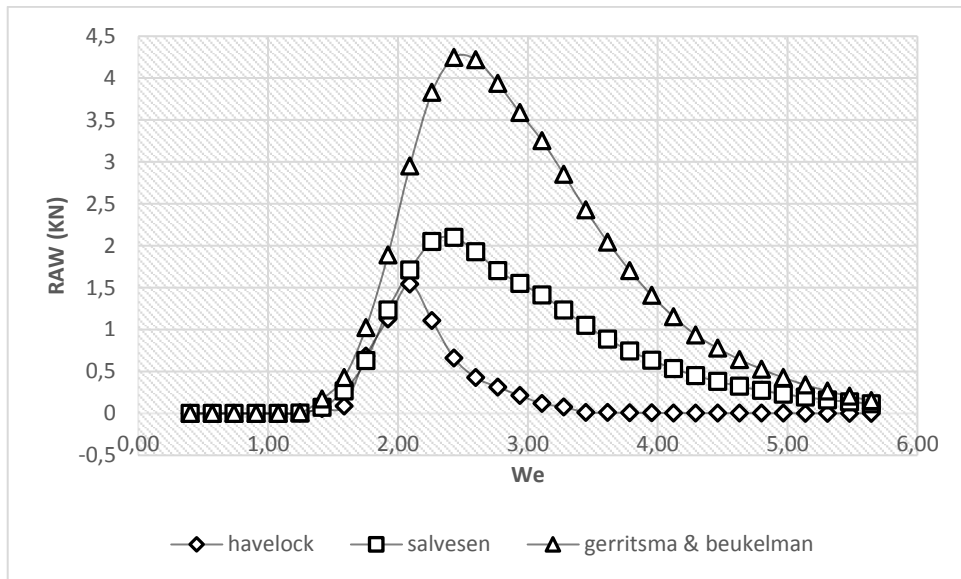


Gambar IV.17 Added Wave Resistance Irregular Gerritsma & Beukelman

Gambar IV.17 menunjukkan *added wave resistance irregular* untuk *heading angle* 180, 135, dan 90 pada *sea state* 2 – 6. Dapat dilihat bahwa nilai *added wave resistance* terbesar yaitu pada *sea state* 6 dengan *heading angle* 90, dengan nilai *added wave resistance irregular* yaitu sebesar 45.89 kN. Nilai numerik *added wave resistance* Metode Gerritsma & Beukelman dan spektrum gelombang *encounter* secara detail dapat dilihat pada Lampiran E.

IV.6. Analisis Perbandingan *Added Wave Resistance*

Setelah didapatkan hasil analisis dengan menggunakan ketiga metode maka dilakukan perbandingan antara Metode Havelock, Salvesen, dan Gerritsma & Beukelman. Penelitian lain yang membandingkan hasil *added wave resistance* dilakukan oleh Salvesen (1978). Pada penelitian tersebut dilakukan perhitungan *added wave resistance* pada kapal perang *destroyer* dengan $C_B = 0.49$, $F_n = 0.25$ pada *heading angle* 180 dengan menggunakan metode Gerritsma & Beukelman, dan Salvesen. Penelitian tersebut menunjukkan hasil berbeda untuk kedua metode tersebut. Dimana terdapat perbedaan yaitu sebesar $\pm 30\%$. Tren ini memiliki kemiripan dengan hasil yang didapatkan pada penelitian ini dimana terdapat perbedaan yang signifikan antara metode Gerritsma & Beukelman dengan Salvesen.

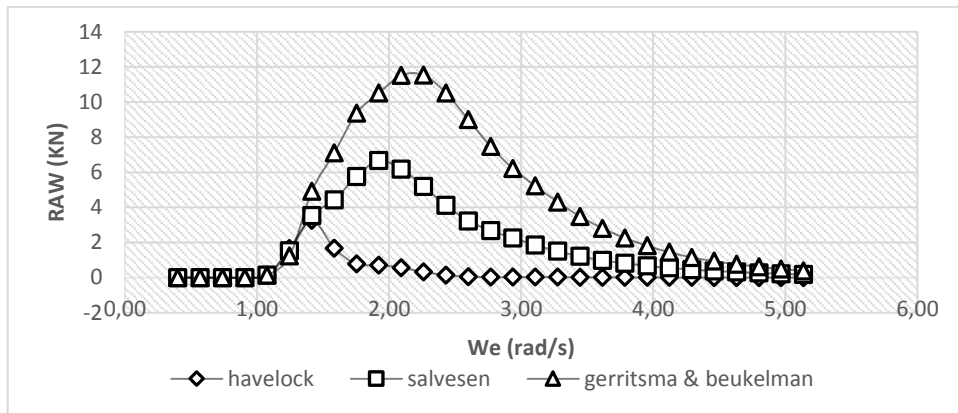


Gambar IV.18 *Added Wave Resistance Sea State 2 Heading Angle 90*

Gambar IV.18 merupakan hasil perbandingan tiga metode yaitu Havelock, Salvesen dan Gerritsma & Beukelman pada *sea state 2* dengan *heading angle* sebesar 90 derajat. Pada gambar tersebut terlihat bahwa pada *wave encounter* 2 rad/s hingga 4 rad/s, terdapat perbedaan yang cukup besar dimana hasil *added wave resistance* yang didapat dari metode Salvesen memiliki nilai terkecil sedangkan dengan metode Gerritsma, nilai *added wave resistance* yang didapat memiliki nilai terbesar.

Persamaan (2.4) dan (2.5) menjelaskan komponen dari metode Havelock dan Salvesen. Dimana untuk metode Havelock perhitungan vertical motions sangat berpengaruh terhadap *added wave resistance*. Sementara untuk metode Salvesen, terdapat komponen *exciting force*, dan momen Froude-Krilov. Pada perhitungan metode Gerritsma & Beukelman dengan menggunakan persamaan (2.11) terdapat komponen *diffraction*.

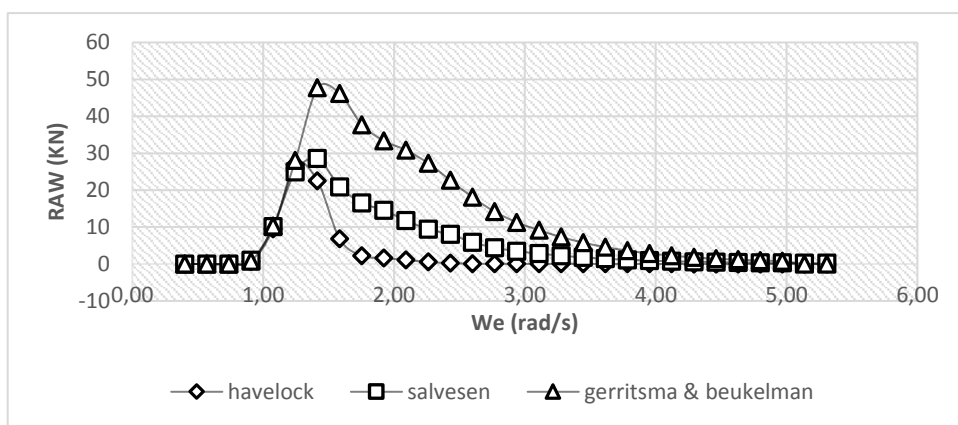
Dari komponen tersebut menghasilkan perbedaan hasil dari *added wave resistance*. Pada *wave encounter* 2 rad/s hingga 4 rad/s nilai dari *damping coefficient*, *vertical velocity*, dan *added mass* yang mewakili komponen *diffraction* lebih besar daripada *exciting force* dan momen serta *vertical motions* sehingga hasil dari metode Gerritsma & Beukelman lebih besar dari metode Havelock dan Salvesen. Sementara pada *wave encounter* 0.4 rad/s hingga 2 rad/s nilai dari *damping coefficient*, *vertical velocity*, dan *added mass* tidak jauh berbeda dengan *exciting force* dan momen serta *vertical motions* sehingga hasil dari metode Gerritsma & Beukelman, Havelock, dan Salvesen mengalami kemiripan.



Gambar IV.19 Added Wave Resistance Sea State 3 Heading Angle 90

Gambar IV.19 merupakan hasil perbandingan tiga metode yaitu Havelock, Salvesen dan Gerritsma & Beukelman pada *sea state* 3 dengan *heading angle* sebesar 90 derajat. Pada gambar tersebut terlihat bahwa pada *wave encounter* 1 rad/s hingga 4 rad/s, hasil *added wave resistance* yang didapat dari metode Salveseen memiliki nilai terkecil sedangkan dengan metode Gerritsma & Beukelman, nilai *added wave resistance* yang didapat memiliki nilai terbesar.

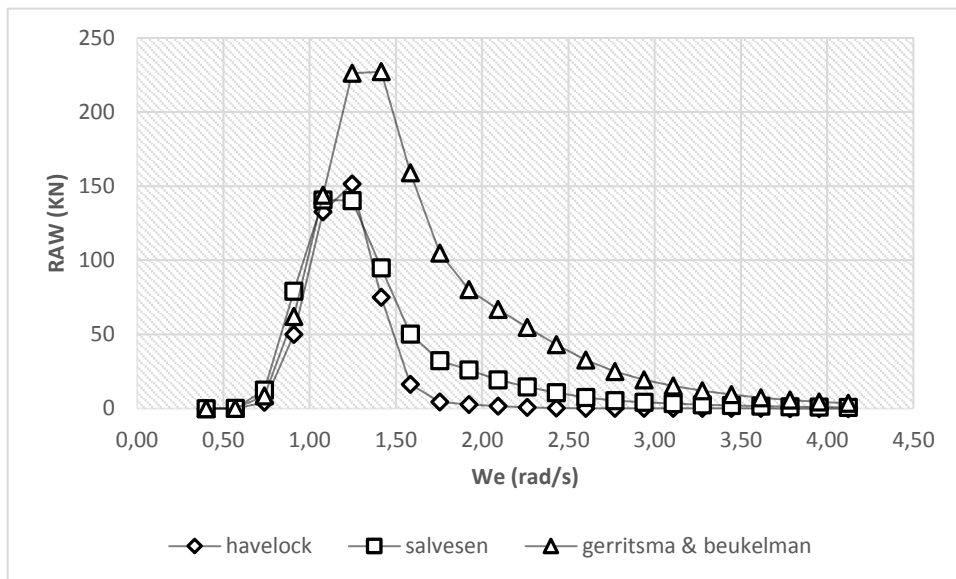
Pada *wave encounter* 1 rad/s hingga 4 rad/s nilai dari *damping coefficient*, *vertical velocity*, dan *added mass* yang mewakili komponen *diffraction* lebih besar daripada *exciting force* dan momen serta *vertical motions* sehingga hasil dari metode Gerritsma & Beukelman lebih besar dari metode Havelock dan Salvesen. Sementara pada *wave encounter* 0.4 rad/s hingga 1 rad/s nilai dari *damping coefficient*, *vertical velocity*, dan *added mass* tidak jauh berbeda dengan *exciting force* dan momen serta *vertical motions* sehingga hasil dari metode Gerritsma & Beukelman, Havelock, dan Salvesen mengalami kemiripan.



Gambar IV.20 Added Wave Resistance Sea State 4 Heading Angle 90

Gambar IV.19 merupakan hasil perbandingan tiga metode yaitu Havelock, Salvesen dan Gerritsma & Beukelman pada *sea state* 4 dengan *heading angle* sebesar 90 derajat. Pada gambar tersebut terlihat bahwa pada *wave encounter* 0,5 rad/s hingga 4 rad/s, hasil *added wave resistance* yang didapat dari metode Salvesen memiliki nilai terkecil sedangkan dengan metode Gerritsma & Beukelman, nilai *added wave resistance* yang didapat memiliki nilai terbesar.

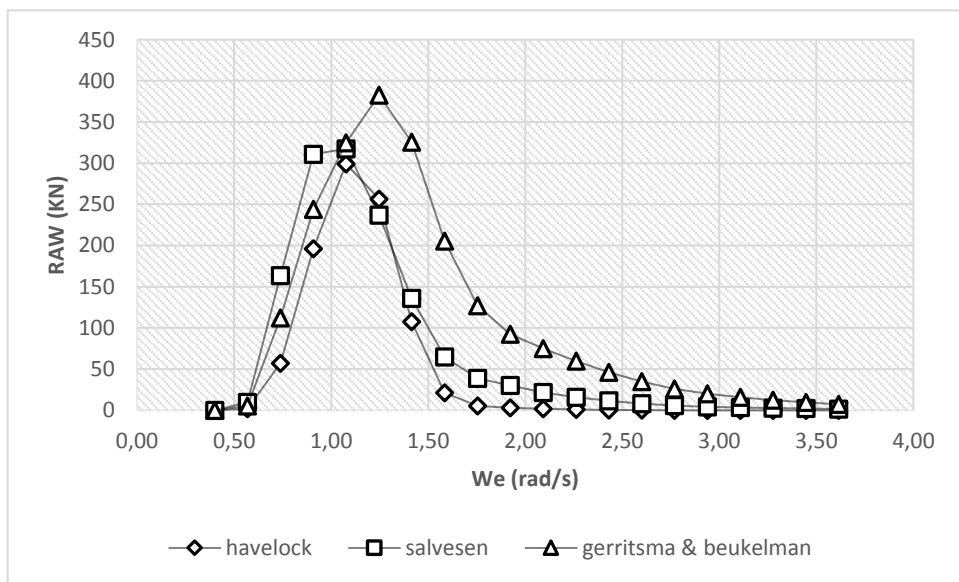
Pada *wave encounter* 2 rad/s hingga 4 rad/s nilai dari *damping coefficient*, *vertical velocity*, dan *added mass* yang mewakili komponen *diffraction* lebih besar daripada *exciting force* dan momen serta *vertical motions* sehingga hasil dari metode Gerritsma & Beukelman lebih besar dari metode Havelock dan Salvesen. Sementara pada *wave encounter* 0,4 rad/s hingga 2 rad/s nilai dari *damping coefficient*, *vertical velocity*, dan *added mass* tidak jauh berbeda dengan *exciting force* dan momen serta *vertical motions* sehingga hasil dari metode Gerritsma & Beukelman, Havelock, dan Salvesen mengalami kemiripan.



Gambar IV.21 Added Wave Resistance Sea State 5 Heading Angle 90

Gambar IV.21 merupakan hasil perbandingan tiga metode yaitu Havelock, Salvesen dan Gerritsma pada *sea state* 5 dengan *heading angle* sebesar 90 derajat. Pada gambar tersebut terlihat bahwa pada *wave encounter* 1 rad/s hingga 3 rad/s, hasil *added wave resistance* yang didapat dari metode Salvesen memiliki nilai terkecil sedangkan dengan metode Gerritsma & Beukelman, nilai *added wave resistance* yang didapat memiliki nilai terbesar.

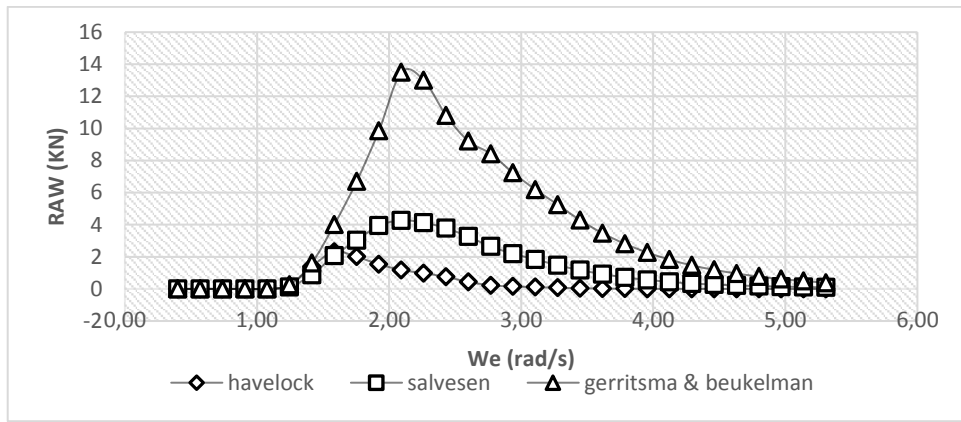
Pada *wave encounter* 1 rad/s hingga 3 rad/s nilai dari *damping coefficient*, *vertical velocity*, dan *added mass* yang mewakili komponen *diffraction* lebih besar daripada *exciting force* dan momen serta *vertical motions* sehingga hasil dari metode Gerritsma & Beukelman lebih besar dari metode Havelock dan Salvesen. Sementara pada *wave encounter* 0,4 rad/s hingga 1 rad/s nilai dari *damping coefficient*, *vertical velocity*, dan *added mass* tidak jauh berbeda dengan *exciting force* dan momen serta *vertical motions* sehingga hasil dari metode Gerritsma & Beukelman, Havelock, dan Salvesen mengalami kemiripan.



Gambar IV.22 *Added Wave Resistance Sea State 6 Heading Angle 90*

Gambar IV.22 merupakan hasil perbandingan tiga metode yaitu Havelock, Salvesen dan Gerritsma pada *sea state* 4 dengan *heading angle* sebesar 90 derajat. Pada gambar tersebut terlihat bahwa pada *wave encounter* 0,5 rad/s hingga 3 rad/s, hasil *added wave resistance* yang didapat dari metode Salvesen memiliki nilai terkecil sedangkan dengan metode Gerritsma & Beukelman, nilai *added wave resistance* yang didapat memiliki nilai terbesar.

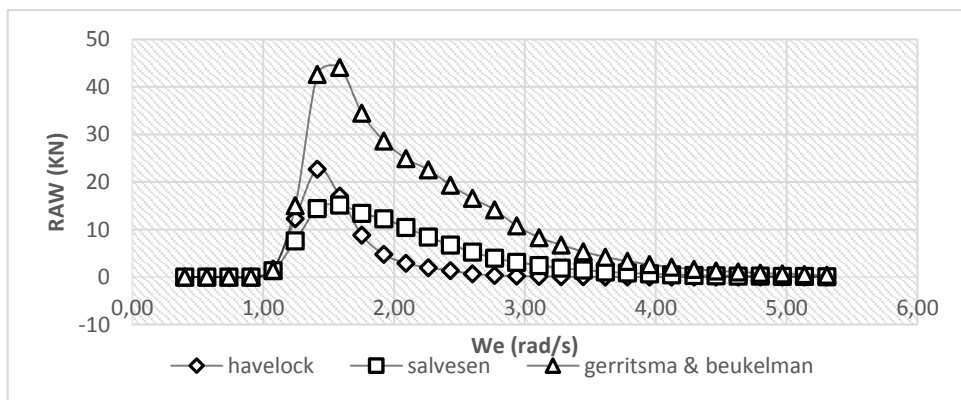
Gambar IV. 18 – 22 menunjukkan perbedaan dari ketiga metode tersebut. Metode Gerritsma & Beukelman merupakan metode dengan hasil *added wave resistance* paling besar, sementara Metode Salvesen merupakan metode dengan hasil *added wave resistance* paling kecil. Berikut merupakan perbandingan antara nilai *added wave resistance* sea state 2 sampai dengan sea state 6 untuk *heading angle* 135:



Gambar IV.23 Added Wave Resistance Sea State 2 Heading Angle 135

Gambar IV.22 merupakan hasil perbandingan tiga metode yaitu Havelock, Salvaseen dan Gerritsma pada *sea state* 2 dengan *heading angle* sebesar 135 derajat. Pada gambar tersebut terlihat bahwa pada *wave encounter* 1 rad/s hingga 5 rad/s, hasil *added wave resistance* yang didapat dari metode Havelock memiliki nilai terkecil sedangkan dengan metode Gerritsma & Beukelman, nilai *added wave resistance* yang didapat memiliki nilai terbesar.

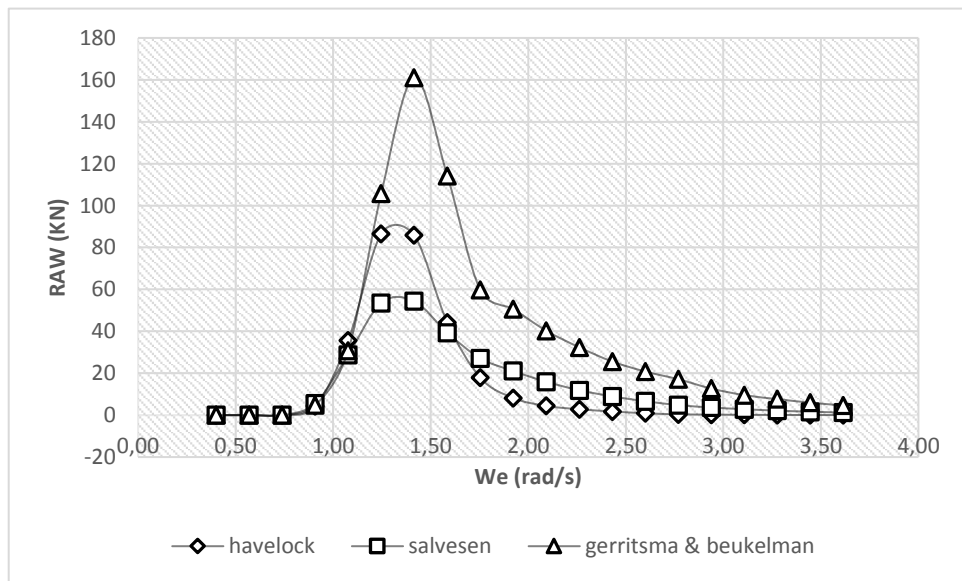
Pada *wave encounter* 1 rad/s hingga 5 rad/s nilai dari *damping coefficient*, *vertical velocity*, dan *added mass* yang mewakili komponen *diffraction* lebih besar daripada *exciting force* dan momen serta *vertical motions* sehingga hasil dari metode Gerritsma & Beukelman lebih besar dari metode Havelock dan Salvesen. Sementara pada *wave encounter* 0.4 rad/s hingga 1 rad/s nilai dari *damping coefficient*, *vertical velocity*, dan *added mass* tidak jauh berbeda dengan *exciting force* dan momen serta *vertical motions* sehingga hasil dari metode Gerritsma & Beukelman, Havelock, dan Salvesen mengalami kemiripan.



Gambar IV.24 Added Wave Resistance Sea State 3 Heading Angle 135

Gambar IV.24 merupakan hasil perbandingan tiga metode yaitu Havelock, Salvesen dan Gerritsma pada *sea state* 3 dengan *heading angle* sebesar 135 derajat. Pada gambar tersebut terlihat bahwa pada *wave encounter* 1 rad/s hingga 5 rad/s, hasil *added wave resistance* yang didapat dari metode Havelock memiliki nilai terkecil sedangkan dengan metode Gerritsma & Beukelman, nilai *added wave resistance* yang didapat memiliki nilai terbesar.

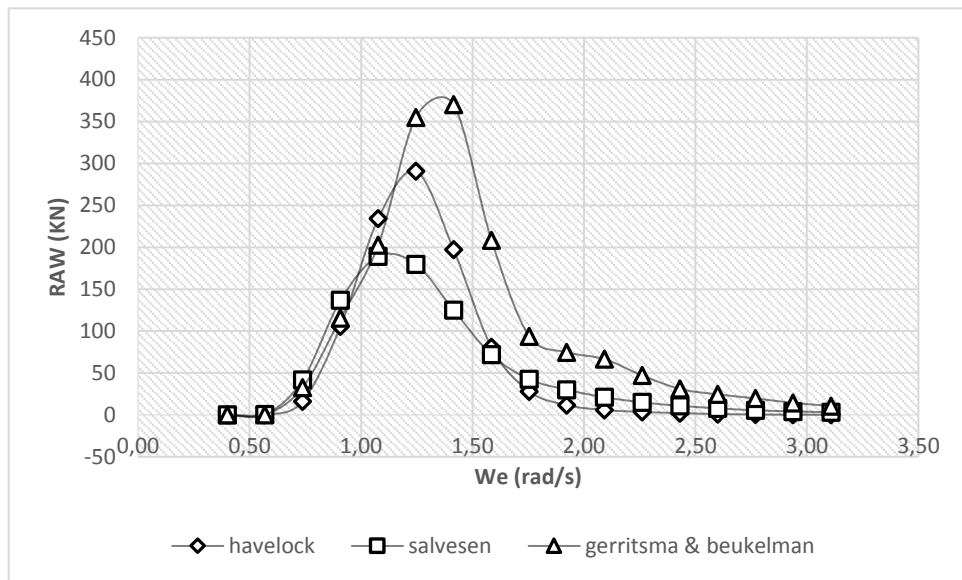
Pada *wave encounter* 1 rad/s hingga 5 rad/s nilai dari *damping coefficient*, *vertical velocity*, dan *added mass* yang mewakili komponen *diffraction* lebih besar daripada *exciting force* dan momen serta *vertical motions* sehingga hasil dari metode Gerritsma & Beukelman lebih besar dari metode Havelock dan Salvesen. Sementara pada *wave encounter* 0.4 rad/s hingga 1 rad/s nilai dari *damping coefficient*, *vertical velocity*, dan *added mass* tidak jauh berbeda dengan *exciting force* dan momen serta *vertical motions* sehingga hasil dari metode Gerritsma & Beukelman, Havelock, dan Salvesen mengalami kemiripan.



Gambar IV.25 *Added Wave Resistance Sea State 4 Heading Angle 135*

Gambar IV.25 merupakan hasil perbandingan tiga metode yaitu Havelock, Salvesen dan Gerritsma pada *sea state* 4 dengan *heading angle* sebesar 135 derajat. Pada gambar tersebut terlihat bahwa pada *wave encounter* 1 rad/s hingga 4 rad/s, hasil *added wave resistance* yang didapat dari metode Salvesen memiliki nilai terkecil sedangkan dengan metode Gerritsma & Beukelman, nilai *added wave resistance* yang didapat memiliki nilai terbesar.

Pada *wave encounter* 1 rad/s hingga 4 rad/s nilai dari *damping coefficient*, *vertical velocity*, dan *added mass* yang mewakili komponen *diffraction* lebih besar daripada *exciting force* dan momen serta *vertical motions* sehingga hasil dari metode Gerritsma & Beukelman lebih besar dari metode Havelock dan Salvesen. Sementara pada *wave encounter* 0.4 rad/s hingga 1 rad/s nilai dari *damping coefficient*, *vertical velocity*, dan *added mass* tidak jauh berbeda dengan *exciting force* dan momen serta *vertical motions* sehingga hasil dari metode Gerritsma & Beukelman, Havelock, dan Salvesen mengalami kemiripan.

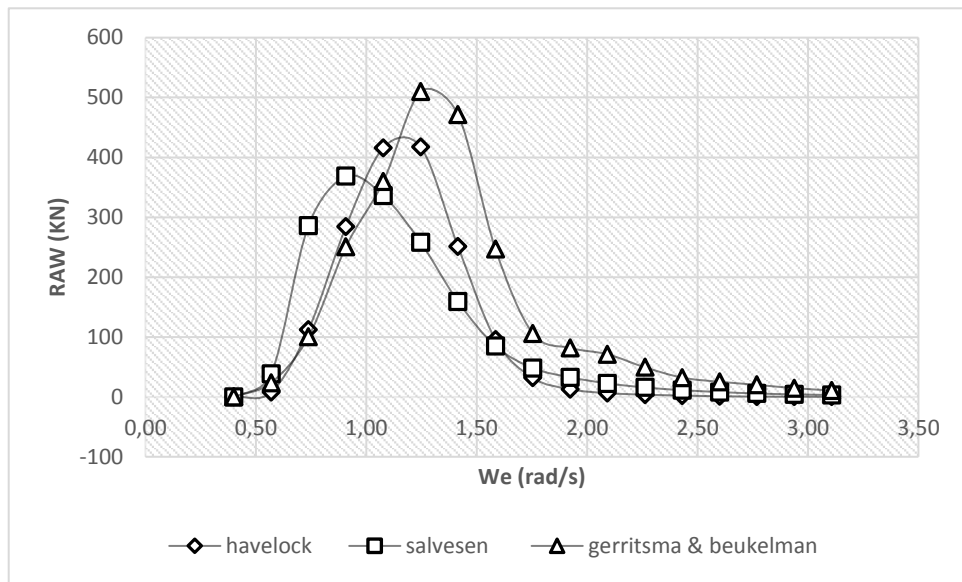


Gambar IV.26 Added Wave Resistance Sea State 5 Heading Angle 135

Gambar IV.26 merupakan hasil perbandingan tiga metode yaitu Havelock, Salvesen dan Gerritsma & Beukelman pada *sea state 5* dengan *heading angle* sebesar 135 derajat. Pada gambar tersebut terlihat bahwa pada *wave encounter* 1 rad/s hingga 3 rad/s, hasil *added wave resistance* yang didapat dari metode Salvesen memiliki nilai terkecil sedangkan dengan metode Gerritsma & Beukelman, nilai *added wave resistance* yang didapat memiliki nilai terbesar.

Pada *wave encounter* 1 rad/s hingga 3 rad/s nilai dari *damping coefficient*, *vertical velocity*, dan *added mass* yang mewakili komponen *diffraction* lebih besar daripada *exciting force* dan momen serta *vertical motions* sehingga hasil dari metode Gerritsma & Beukelman lebih besar dari metode Havelock dan Salvesen. Sementara pada *wave encounter* 0.4 rad/s hingga 1 rad/s nilai dari *damping coefficient*, *vertical velocity*, dan *added mass* tidak jauh

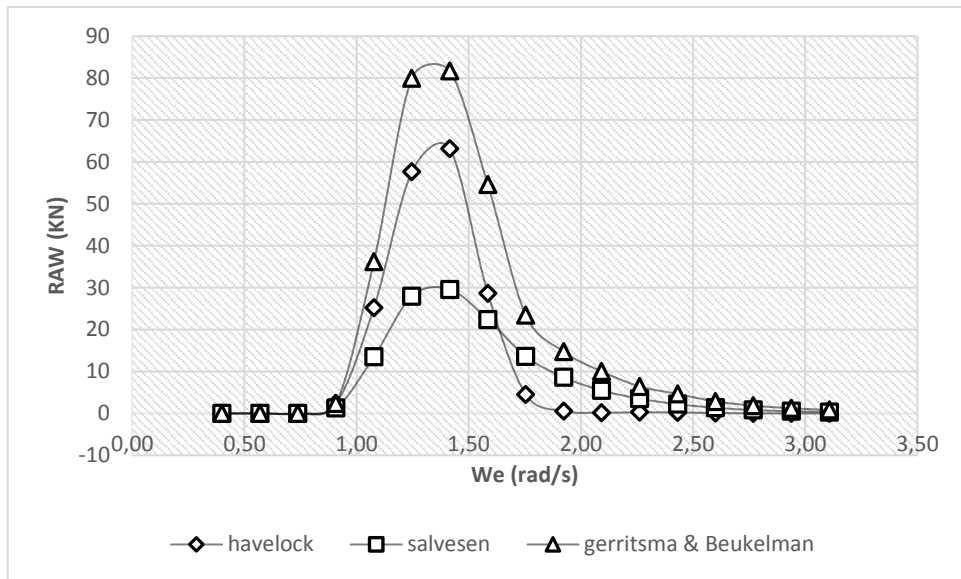
berbeda dengan *exciting force* dan momen serta *vertical motions* sehingga hasil dari metode Gerritsma & Beukelman, Havelock, dan Salvesen mengalami kemiripan.



Gambar IV.27 Added Wave Resistance Sea State 6 Heading Angle 135

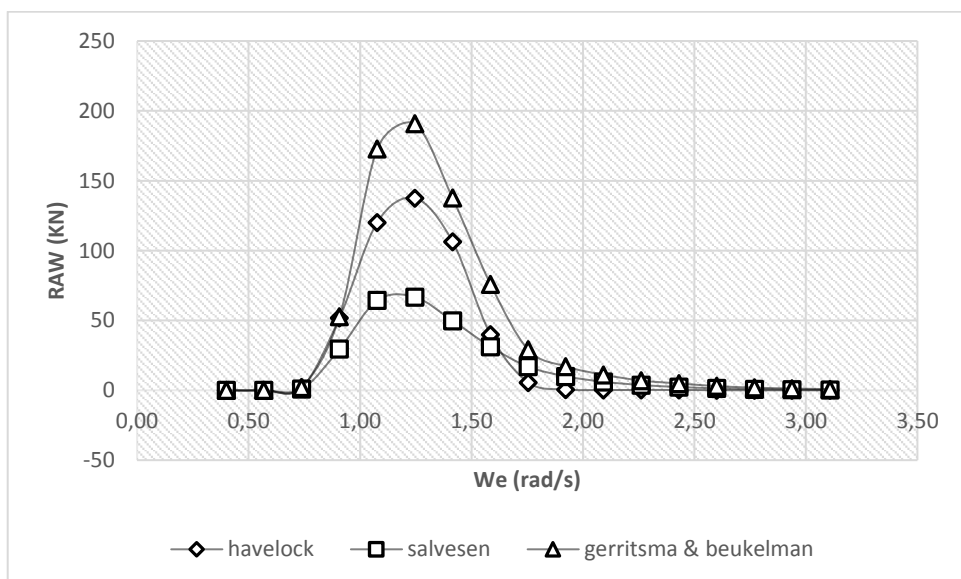
Gambar IV.27 merupakan hasil perbandingan tiga metode yaitu Havelock, Salvesen dan Gerritsma & Beukelman pada *sea state* 6 dengan *heading angle* sebesar 135 derajat. Pada gambar tersebut terlihat bahwa pada *wave encounter* 1 rad/s hingga 3 rad/s, hasil *added wave resistance* yang didapat dari metode Salvesen memiliki nilai terkecil sedangkan dengan metode Gerritsma & Beukelman, nilai *added wave resistance* yang didapat memiliki nilai terbesar.

Gambar IV. 23 – 27 menunjukkan hasil perbedaan dari ketiga metode tersebut. Metode Gerritsma & Beukelman merupakan metode dengan hasil *added wave resistance* paling besar, sementara Metode Salvesen merupakan metode dengan hasil *added wave resistance* paling kecil. Berikut merupakan perbandingan antara nilai *added wave resistance* sea state 2 sampai dengan sea state 6 untuk *heading angle* 180:



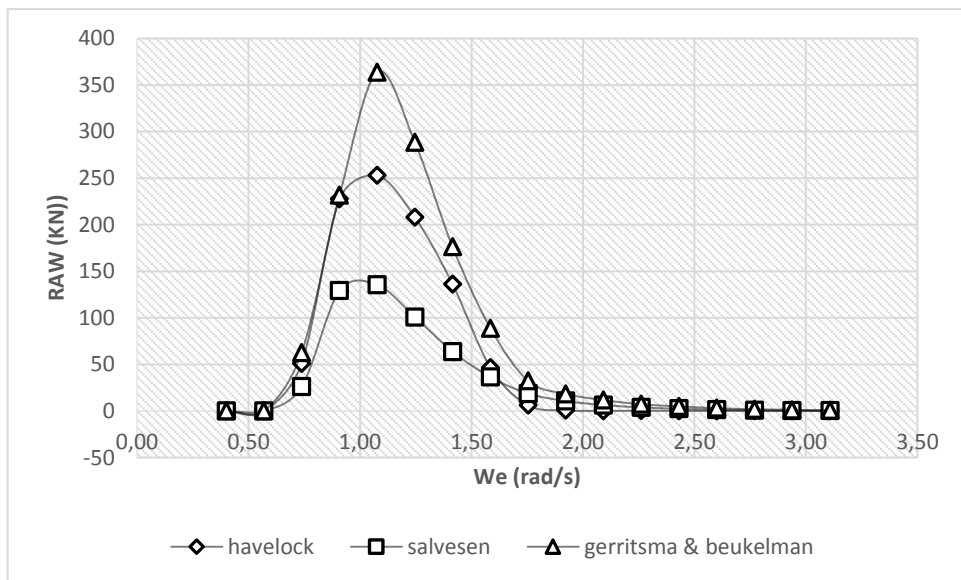
Gambar IV.28 Added Wave Resistance Sea State 2 Heading Angle 180

Gambar IV.28 merupakan hasil perbandingan tiga metode yaitu Havelock, Salvesen dan Gerritsma & Beukelman pada *sea state* 2 dengan *heading angle* sebesar 180 derajat. Pada gambar tersebut terlihat bahwa pada *wave encounter* 1 rad/s hingga 2 rad/s, hasil *added wave resistance* yang didapat dari metode Havelock memiliki nilai terkecil sedangkan dengan metode Gerritsma & Beukelman, nilai *added wave resistance* yang didapat memiliki nilai terbesar.



Gambar IV.29 Added Wave Resistance Sea State 3 Heading Angle 180

Gambar IV.29 merupakan hasil perbandingan tiga metode yaitu Havelock, Salvaseen dan Gerritsma pada *sea state* 3 dengan *heading angle* sebesar 180 derajat. Pada gambar tersebut terlihat bahwa pada *wave encounter* 1 rad/s hingga 1.5 rad/s, hasil *added wave resistance* yang didapat dari metode Havelock memiliki nilai terkecil sedangkan dengan metode Gerritsma & Beukelman, nilai *added wave resistance* yang didapat memiliki nilai terbesar.

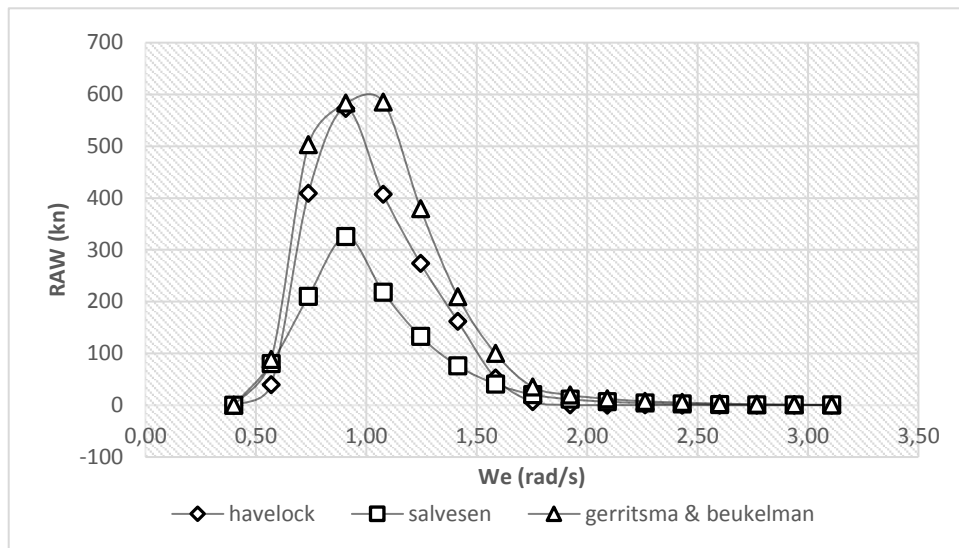


Gambar IV.30 Added Wave Resistance Sea State 4 Heading Angle 180

Gambar IV.30 merupakan hasil perbandingan tiga metode yaitu Havelock, Salvaseen dan Gerritsma pada *sea state* 3 dengan *heading angle* sebesar 180 derajat. Pada gambar tersebut terlihat bahwa pada *wave encounter* 1 rad/s hingga 1.5 rad/s, hasil *added wave resistance* yang didapat dari metode Havelock memiliki nilai yang hampir sama dengan metode Salvesen sedangkan dengan metode Gerritsma & Beukelman, nilai *added wave resistance* yang didapat memiliki nilai terbesar.

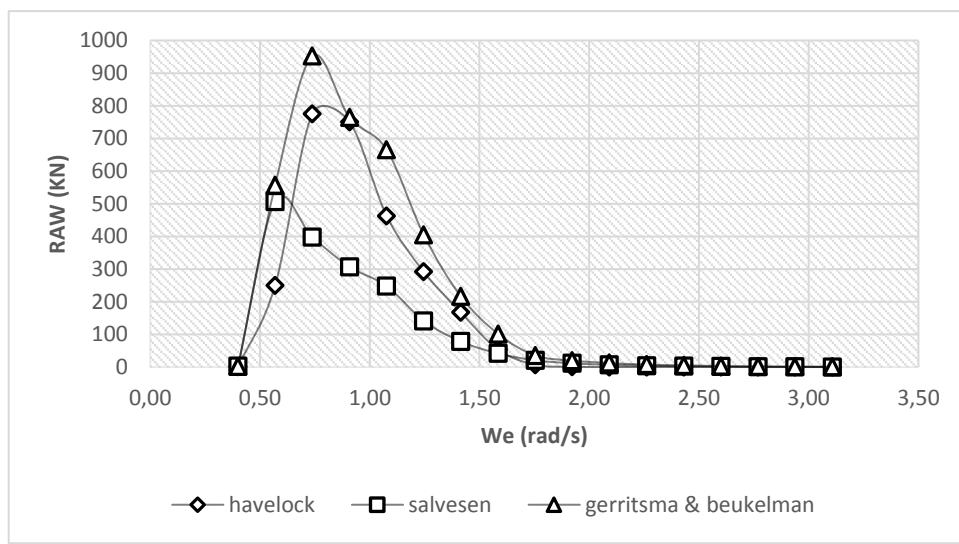
Pada *wave encounter* 1 rad/s hingga 1.5 rad/s nilai dari *damping coefficient*, *vertical velocity*, dan *added mass* yang mewakili komponen *diffraction* lebih besar daripada *exciting force* dan momen serta *vertical motions* sehingga hasil dari metode Gerritsma & Beukelman lebih besar dari metode Havelock dan Salvesen. Sementara pada *wave encounter* 0.4 rad/s hingga 1 rad/s dan 1.5 rad/s hingga 3 rad/s nilai dari *damping coefficient*, *vertical velocity*, dan *added mass* tidak jauh berbeda dengan *exciting force* dan momen serta *vertical motions*.

sehingga hasil dari metode Gerritsma & Beukelman, Havelock, dan Salvesen mengalami kemiripan.



Gambar IV.31 Added Wave Resistance Sea State 5 Heading Angle 180

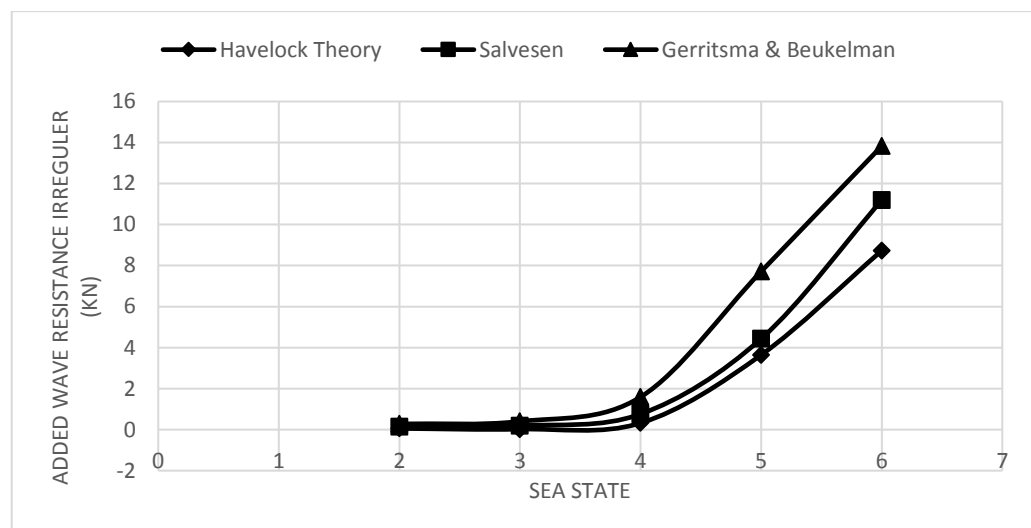
Gambar IV.31 merupakan hasil perbandingan tiga metode yaitu Havelock, Salvesen dan Gerritsma & Beukelman pada *sea state* 3 dengan *heading angle* sebesar 180 derajat. Pada gambar tersebut terlihat bahwa pada *wave encounter* 1 rad/s hingga 5 rad/s, hasil *added wave resistance* yang didapat dari metode Havelock memiliki nilai yang hamper sama dengan metode Salvesen sedangkan dengan metode Gerritsma & Beukelman, nilai *added wave resistance* yang didapat memiliki nilai terbesar.



Gambar IV.32 Added Wave Resistance Sea State 6 Heading Angle 180

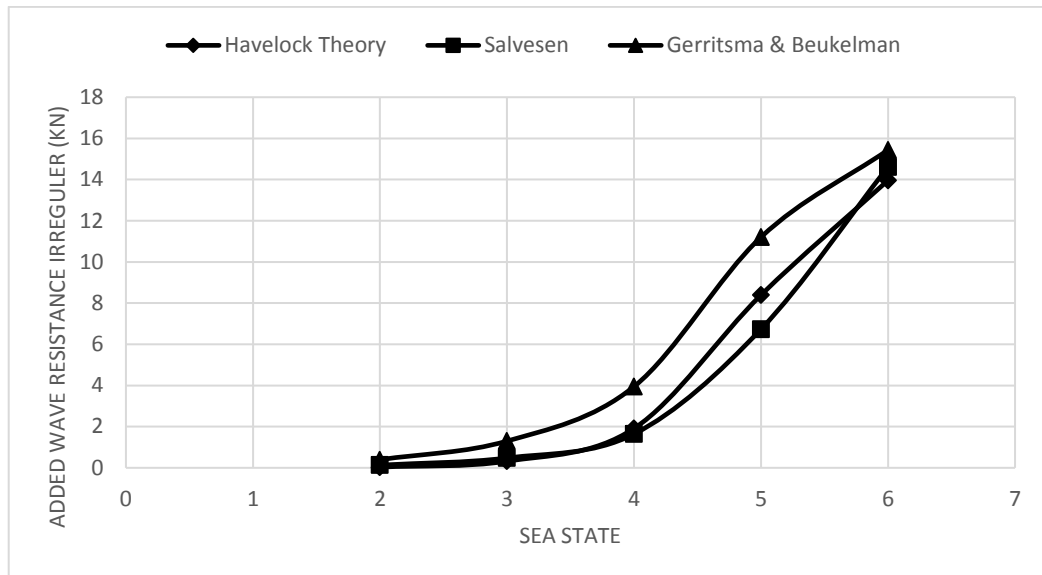
Gambar IV.32 merupakan hasil perbandingan tiga metode yaitu Havelock, Salvesen dan Gerritsma & Beukelman pada *sea state* 3 dengan *heading angle* sebesar 180 derajat. Pada gambar tersebut terlihat bahwa pada *wave encounter* 1 rad/s hingga 5 rad/s, hasil *added wave resistance* yang didapat dari metode Havelock memiliki nilai yang hampir sama dengan metode Salvesen sedangkan dengan metode Gerritsma & Beukelman, nilai *added wave resistance* yang didapat memiliki nilai terbesar.

Gambar IV. 28 – 32 menunjukkan hasil perbedaan dari ketiga metode tersebut. Metode Gerritsma & Beukelman merupakan metode dengan hasil *added wave resistance* paling besar. Gambar IV.33-35 merupakan perbandingan antara nilai *added wave resistance* irreguler *sea state* 2 sampai dengan *sea state* 6 untuk *heading angle* 180, 135, dan 90:



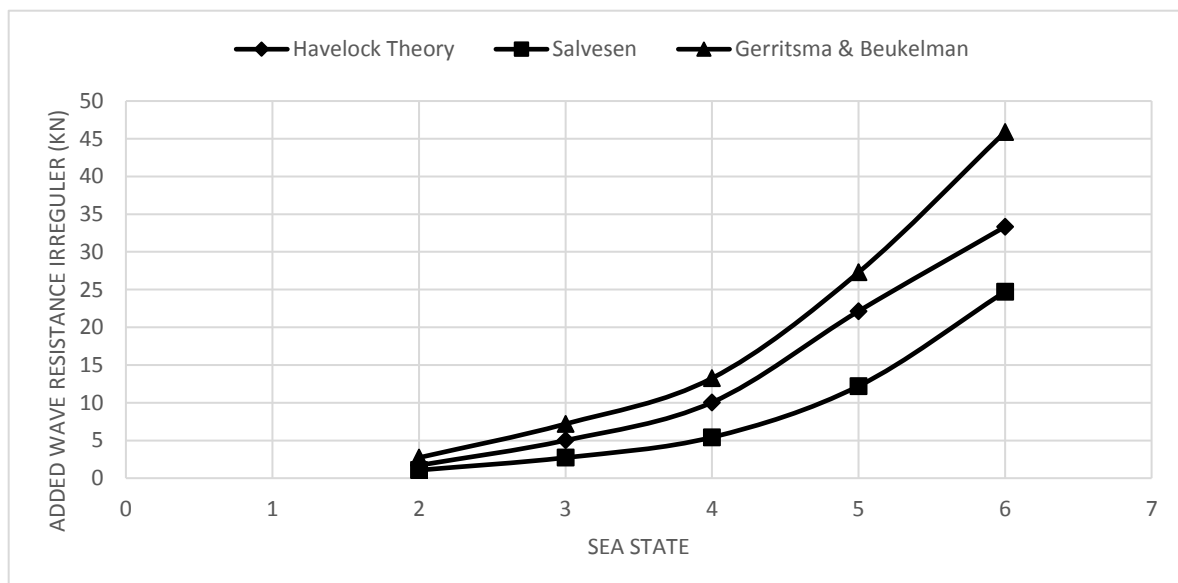
Gambar IV.33 Added Wave Resistance Irregular Heading Angle 180

Gambar IV.33 menunjukkan hasil yang didapatkan dari perhitungan *added wave resistance* pada *irregular wave* dengan *heading angle* sebesar 180 derajat dengan menggunakan tiga metode yaitu Havelock, Salvesen, dan Gerritsma & Beukelman. Pada gambar tersebut dapat dilihat bahwa ketiga metode memiliki hasil yang mirip pada *sea state* 2 dan 3 namun memiliki perbedaan besar pada *sea state* 4 hingga *sea state* 6. Perbedaan terbesar seperti pada Gambar IV.33 terjadi pada *seastate* 5. Meskipun demikian, ketiga metode tersebut menunjukkan tren yang sama pada tiap *sea state* yang digunakan.



Gambar IV.34 Added Wave Resistance Irregular Heading Angle 135

Gambar IV.34 menunjukkan hasil yang didapatkan dari perhitungan *added wave resistance* pada *irregular wave* dengan *heading angle* sebesar 180 derajat dengan menggunakan tiga metode yaitu Havelock, Salvesen, dan Gerritsma & Beukelman. Pada gambar tersebut dapat dilihat bahwa ketiga metode memiliki hasil yang mirip pada *sea state* 2 dan 3 namun memiliki perbedaan besar pada *sea state* 5. Meskipun demikian, ketiga metode tersebut menunjukkan tren yang sama pada tiap *seastate* yang digunakan.



Gambar IV.35 Added Wave Resistance Irregular Heading Angle 90

Gambar IV.35 menunjukkan hasil yang didapatkan dari perhitungan *added wave resistance* pada *irregular wave* dengan *heading angle* sebesar 180 derajat dengan menggunakan tiga metode yaitu Havelock, Salvesen, dan Gerritsma & Beukelman. Pada gambar tersebut dapat dilihat bahwa ketiga metode memiliki hasil yang mirip pada *sea state 2* dan *3* namun memiliki perbedaan besar pada *sea state 4* hingga *sea state 6*. Meskipun demikian, ketiga metode tersebut menunjukkan tren yang sama pada tiap tiap *seastate* yang digunakan.

Pada Gambar IV.33-35, masing-masing metode Havelock dan Salvesen mengalami kenaikan nilai *added wave resistance* namun pada metode Salvesen kenaikan nilai *added wave resistance* tidak terlalu besar. Persamaan (2.4) dan (2.5) menjelaskan komponen dari masing masing metode Havelock dan Salvesen. Dimana untuk metode Havelock perhitungan *motion kapal*, *phase lag*, dan gaya dan momen eksitasi sangat berpengaruh terhadap *added wave resistance*. Sementara untuk metode Salvesen, terdapat komponen *exciting force* dan momen Froude-Krilov.

Perhitungan metode Havelock merupakan sebuah pendekatan karena pada perhitungan tersebut komponen *diffraction* diabaikan. Pada perhitungan metode Gerritsma & Beukelman dengan menggunakan persamaan (2.11) lebih akurat disebabkan oleh terdapatnya komponen *diffraction* (Rebull, 2014).

IV.7. RMS (*Root Mean Square*)

Dari perhitungan *added wave resistance* Havelock yang ditunjukkan pada Gambar IV.33-35 dapat diperoleh perbandingan nilai *added wave resistance* untuk tiap metode. Persamaan (2.14) merupakan perhitungan RMS yang digunakan untuk mendapatkan perbandingan nilai *added wave resistance*.

Tabel IV.1 Perbandingan Added Wave Resistance Heading Angle 180, sea state 2

speed	Havelock [kN] (1)	gerritsma [kN] (2)	salvesen [kN] (3)	(1) – (3)	(1) – (2)	(2) – (3)
10	0,002	0,280	0,034	0,868	0,983	7,210
20	0,008	0,329	0,139	0,888	0,952	1,869
30	0,057	0,913	0,193	0,495	0,879	13,963
			root mean square	0,866	0,969	2,771

Tabel IV.2 Perbandingan Added Wave Resistance Heading Angle 135, sea state 2

speed	Havelock [kN] (1)	Gerritsma [kN] (2)	salvesen [kN] (3)	(1) – (3)	(1) – (2)	(2) – (3)
10	0,001	0,248	0,065	0,960	0,989	7,897
20	0,016	0,393	0,131	0,765	0,919	4,025
30	0,032	0,577	0,534	0,882	0,891	0,007
			root mean square	0,932	0,966	1,994

Tabel IV.3 Perbandingan Added Wave Resistance Heading Angle 90, sea state 2

Speed	Havelock [kN] (1)	gerritsma [kN] (2)	salvesen [kN] (3)	(1) – (3)	(1) – (2)	(2) – (3)
10,000	0,016	1,419	0,846	0,964	0,978	0,458
20,000	0,021	1,242	0,843	0,950	0,966	0,224
30,000	1,701	2,723	1,067	0,352	0,141	2,407
			root mean square	0,869	0,834	1,015

Tabel IV.4 Perbandingan Added Wave Resistance Heading Angle 180, sea state 3

speed	Havelock [kN] (1)	gerritsma [kN] (2)	salvesen [kN] (3)	(1) - (3)	(1) - (2)	(2) - (3)
10	0,010	0,401	0,039	0,562	0,952	9,223
20	0,023	0,525	0,193	0,776	0,914	2,956
30	0,077	1,217	0,598	0,759	0,877	1,068
			root mean square	0,836	0,956	2,101

Tabel IV.5 Perbandingan Added Wave Resistance Heading Angle 135, sea state 3

speed	havelock [kN] (1)	gerritsma [kN] (2)	salvesen [kN] (3)	(1) - (3)	(1) - (2)	(2) - (3)
10	0,018	0,572	0,236	0,855	0,938	2,008
20	0,070	0,794	0,478	0,727	0,831	0,437
30	0,321	1,298	0,814	0,367	0,567	0,354
			root mean square	0,806	0,882	0,966

Tabel IV.6 Perbandingan Added Wave Resistance Heading Angle 90, sea state 3

speed	havelock [kN] (1)	gerritsma [kN] (2)	salvesen [kN] (3)	(1) - (3)	(1) - (2)	(2) - (3)
10	0,061	1,148	2,032	0,941	0,896	0,189
20	0,069	2,688	2,028	0,933	0,950	0,106
30	5,008	7,190	2,723	0,704	0,092	2,691
			root mean square	0,927	0,804	0,998

Tabel IV.7 Perbandingan Added Wave Resistance Heading Angle 180, sea state 4

speed	havelock [kN] (1)	gerritsma [kN] (2)	salvesen [kN] (3)	(1) - (3)	(1) - (2)	(2) - (3)
10	0,191	1,590	0,506	0,387	0,774	4,592
20	0,204	1,712	0,759	0,535	0,776	1,574
30	0,320	2,962	1,634	0,646	0,795	0,660
			root mean square	0,723	0,884	1,508

Tabel IV.8 Perbandingan Added Wave Resistance Heading Angle 135, sea state 4

speed	havelock [kN] (1)	gerritsma [kN] (2)	salvesen [kN] (3)	(1) - (3)	(1) - (2)	(2) - (3)
10	0,184	2,095	0,769	0,579	0,832	2,968
20	0,371	3,278	1,643	0,599	0,787	0,991
30	1,910	3,945	2,557	0,064	0,266	0,294
			root mean square	0,643	0,793	1,191

Tabel IV.9 Perbandingan Added Wave Resistance Heading Angle 90, sea state 4

speed	havelock [kN] (1)	gerritsma [kN] (2)	salvesen [kN] (3)	(1) - (3)	(1) - (2)	(2) - (3)
10	0,170	2,342	3,880	0,914	0,860	0,157
20	0,522	4,398	3,885	0,749	0,777	0,017
30	10,051	13,254	5,422	0,729	0,058	2,087
			root mean square	0,893	0,752	0,868

Tabel IV.10 Perbandingan Added Wave Resistance Heading Angle 180, sea state 5

speed	havelock [kN] (1)	gerritsma [kN] (2)	salvesen [kN] (3)	(1) - (3)	(1) - (2)	(2) - (3)
10	0,808	2,481	3,417	0,583	0,455	0,075
20	3,099	7,711	4,432	0,090	0,358	0,547
30	3,641	8,102	5,876	0,145	0,303	0,144
			root mean square	0,522	0,610	0,505

Tabel IV.11 Perbandingan Added Wave Resistance Heading Angle 135, sea state 5

speed	havelock [kN] (1)	gerritsma [kN] (2)	salvesen [kN] (3)	(1) - (3)	(1) - (2)	(2) - (3)
10	1,901	6,448	3,909	0,264	0,497	0,422
20	2,063	7,559	6,735	0,481	0,529	0,015
30	8,392	11,206	9,714	0,019	0,063	0,024
			root mean square	0,504	0,602	0,391

Tabel IV.12 Perbandingan Added Wave Resistance Heading Angle 90, sea state 5

speed	havelock [kN] (1)	gerritsma [kN] (2)	salvesen [kN] (3)	(1) - (3)	(1) - (2)	(2) - (3)
10	0,770	6,963	9,495	0,844	0,791	0,071
20	3,907	9,714	11,429	0,433	0,357	0,023
30	22,138	27,284	12,212	0,661	0,036	1,523
			root mean square	0,804	0,628	0,734

Tabel IV.13 Perbandingan Added Wave Resistance Heading Angle 180, sea state 6

speed	havelock [kN] (1)	gerritsma [kN] (2)	salvesen [kN] (3)	(1) - (3)	(1) - (2)	(2) - (3)
10	0,966	11,638	9,609	0,809	0,841	0,045
20	8,470	13,786	11,188	0,059	0,149	0,054
30	8,728	13,828	13,918	0,139	0,136	0,000
			root mean square	0,579	0,613	0,181

Tabel IV.14 Perbandingan Added Wave Resistance Heading Angle 135, sea state 6

speed	havelock [kN] (1)	gerritsma [kN] (2)	salvesen [kN] (3)	(1) - (3)	(1) - (2)	(2) - (3)
10	4,692	13,170	9,927	0,278	0,414	0,107
20	5,052	13,694	14,615	0,428	0,398	0,004
30	13,961	15,437	21,804	0,129	0,009	0,085
			root mean square	0,528	0,523	0,256

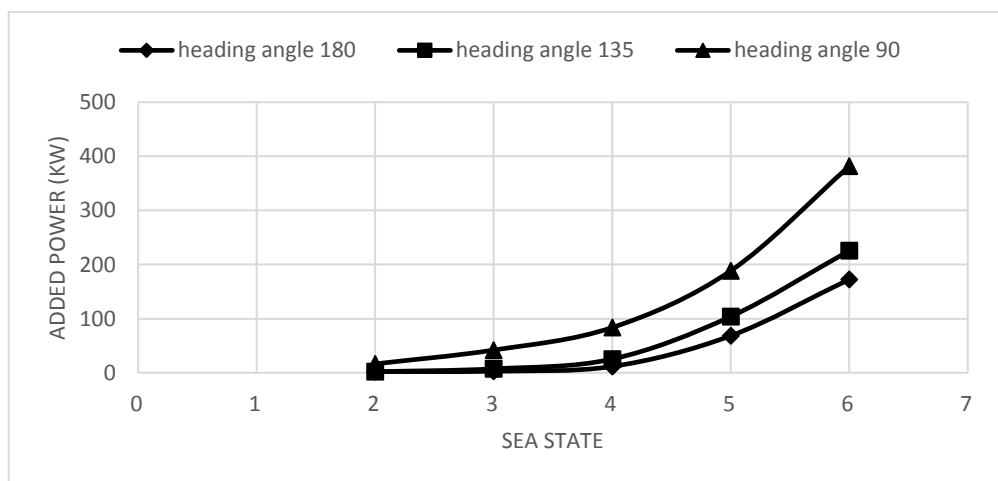
Tabel IV.15 Perbandingan Added Wave Resistance Heading Angle 90, sea state 6

speed	havelock [kN] (1)	gerritsma [kN] (2)	salvesen [kN] (3)	(1) - (3)	(1) - (2)	(2) - (3)
10	3,171	19,261	20,940	0,720	0,698	0,006
20	8,700	21,655	24,730	0,420	0,358	0,015
30	33,335	45,888	26,991	0,055	0,075	0,490
			root mean square	0,631	0,614	0,413

Tabel IV.15 menunjukkan hasil perbandingan *added wave resistance* dengan menggunakan tiga metode yaitu Havelock, Salvesen, dan Garritsma. Dengan menggunakan perhitungan RMS (*Root Mean Square*) didapatkan nilai RMS terbesar antara metode Havelock dengan Gerritsma & Beukelman yaitu 0,969 pada *sea state* 2 dan *heading angle* 180. Sedangkan antara metode Havelock dengan Salvesen nilai RMS terbesar yaitu 0,932 pada *sea state* 2 dan *heading angle* 135. Untuk perbandingan antara metode Gerritsma & Beukelman dengan Salvesen, didapatkan nilai RMS terbesar yaitu 2,771 pada *sea state* 2 dan *heading angle* 180.

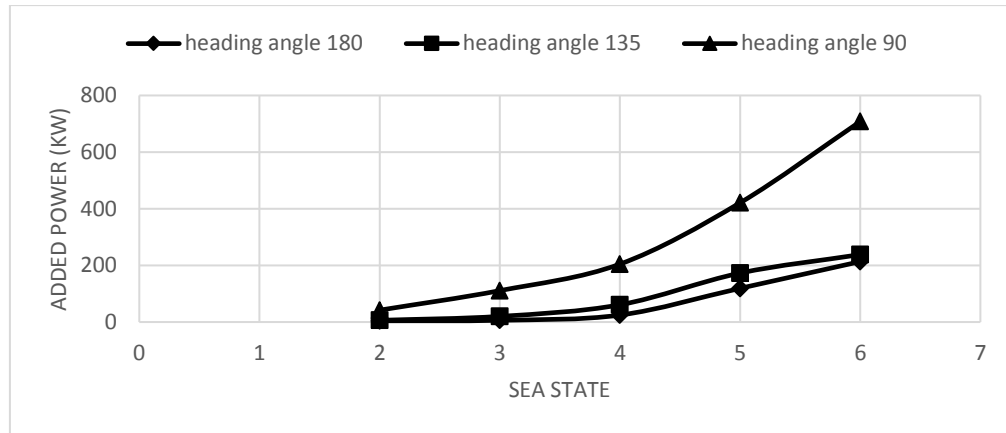
IV.8. Perhitungan *Added Power*

Setelah didapatkan *added wave resistance* maka dapat dilakukan perhitungan *added power*. Perhitungan *added power* dilakukan dengan menggunakan persamaan (2.12). Dalam perhitungan ini dihasilkan nilai *added power* untuk *sea state* 2-6 dengan *heading angle* 180, 135, dan 90. Pada Gambar IV.36-38 merupakan hasil dari perhitungan *added power*.



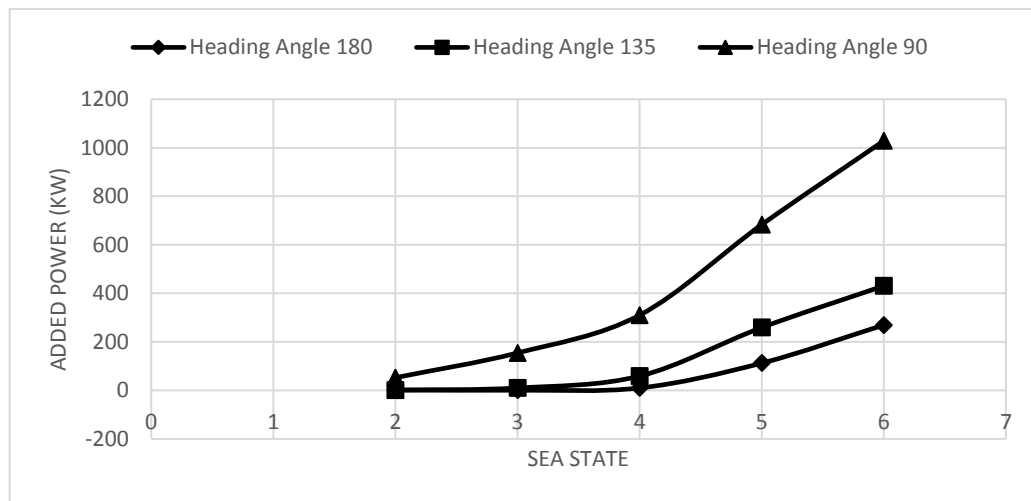
Gambar IV.36 Added Power Metode Salvesen

Gambar IV.36 merupakan grafik hasil perhitungan *added power* yang dilakukan dengan menggunakan metode Salveseen pada *sea state* 2 hingga *sea state* 6. Gambar tersebut menunjukkan grafik perbedaan *added power* pada masing-masing *heading angle* yang diberikan. Dari gambar tersebut terlihat bahwa *added power* terbesar terjadi pada *heading angle* 90 derajat dengan *sea state* 6.



Gambar IV.37 Added Power Metode Gerritsma & Beukelman

Gambar IV.37 merupakan grafik hasil perhitungan *added power* yang dilakukan dengan menggunakan metode Garritsma dan Beukelman pada *sea state* 2 hingga *sea state* 6. Gambar tersebut menunjukkan grafik perbedaan *added power* pada masing-masing *heading angle* yang diberikan. Dari gambar tersebut terlihat bahwa *added power* terbesar terjadi pada *heading angle* 90 derajat dengan *sea state* 6.



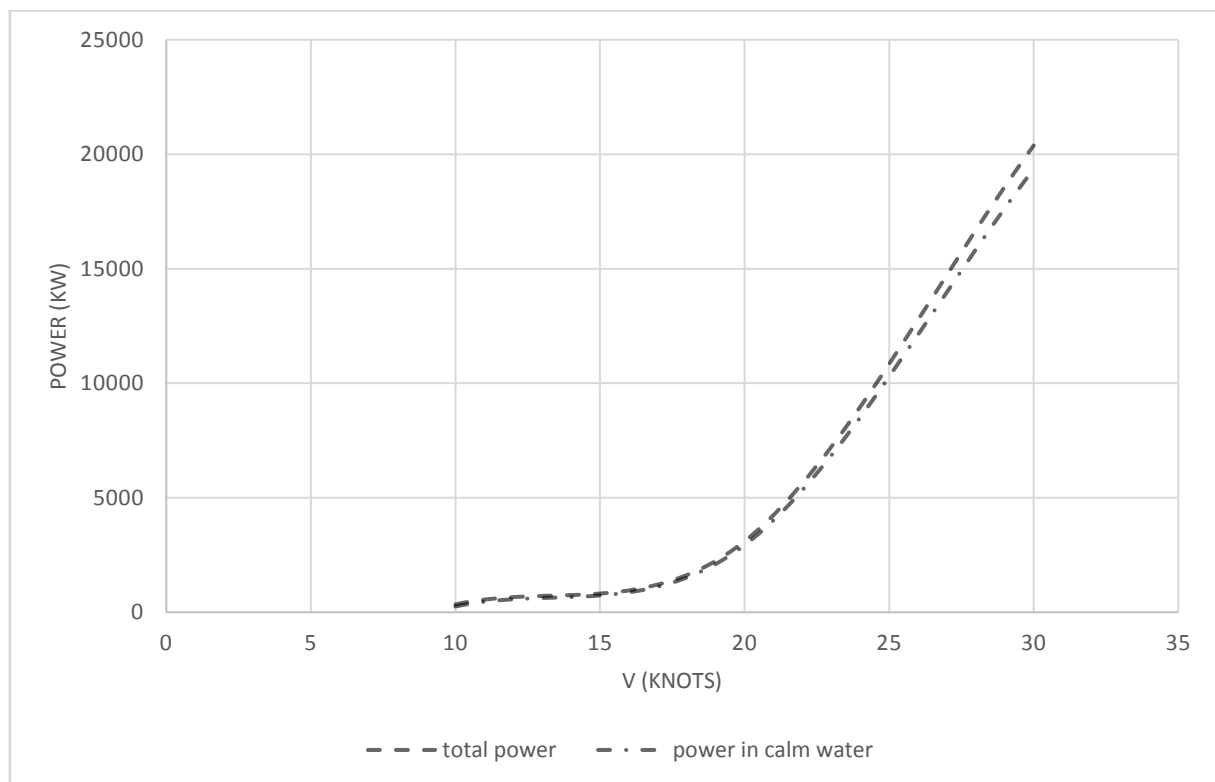
Gambar IV.38 Added Power Metode Havelock

Gambar IV.38 merupakan grafik hasil perhitungan *added power* yang dilakukan dengan menggunakan metode Havelock pada *sea state 2* hingga *sea state 6*. Gambar tersebut menunjukkan grafik perbedaan *added power* pada masing-masing *heading angle* yang diberikan. Dari gambar tersebut terlihat bahwa *added power* terbesar terjadi pada *heading angle* 90 derajat dengan *sea state 6*.

Pada Gambar IV.36-38 menunjukkan *added power* untuk metode Salvesen, Gerritsma & Beukelman, dan Havelock memiliki nilai terbesar pada *sea state 6* dengan *heading angle* 90. Dapat dilihat pada gambar IV.36 bahwa nilai *added power* tertinggi untuk metode Salvesen yaitu 381.6 kW. Untuk metode Gerritsma & Beukelman dapat dilihat pada Gambar IV.7 memiliki nilai *added power* terbesar yaitu 708.1 kW. Pada Gambar IV. 38 dapat dilihat nilai terbesar *added power* untuk metode Havelock yaitu 514.4 kW.

IV.9. Speed Loss

Speed loss merupakan pengurangan kecepatan akibat penggunaan *power* yang tetap pada gelombang air tenang dan gelombang irregular. Proses perhitungan *speed loss* ini dengan mengambil selisih nilai antar *power* di air tenang dan gelombang irregular.



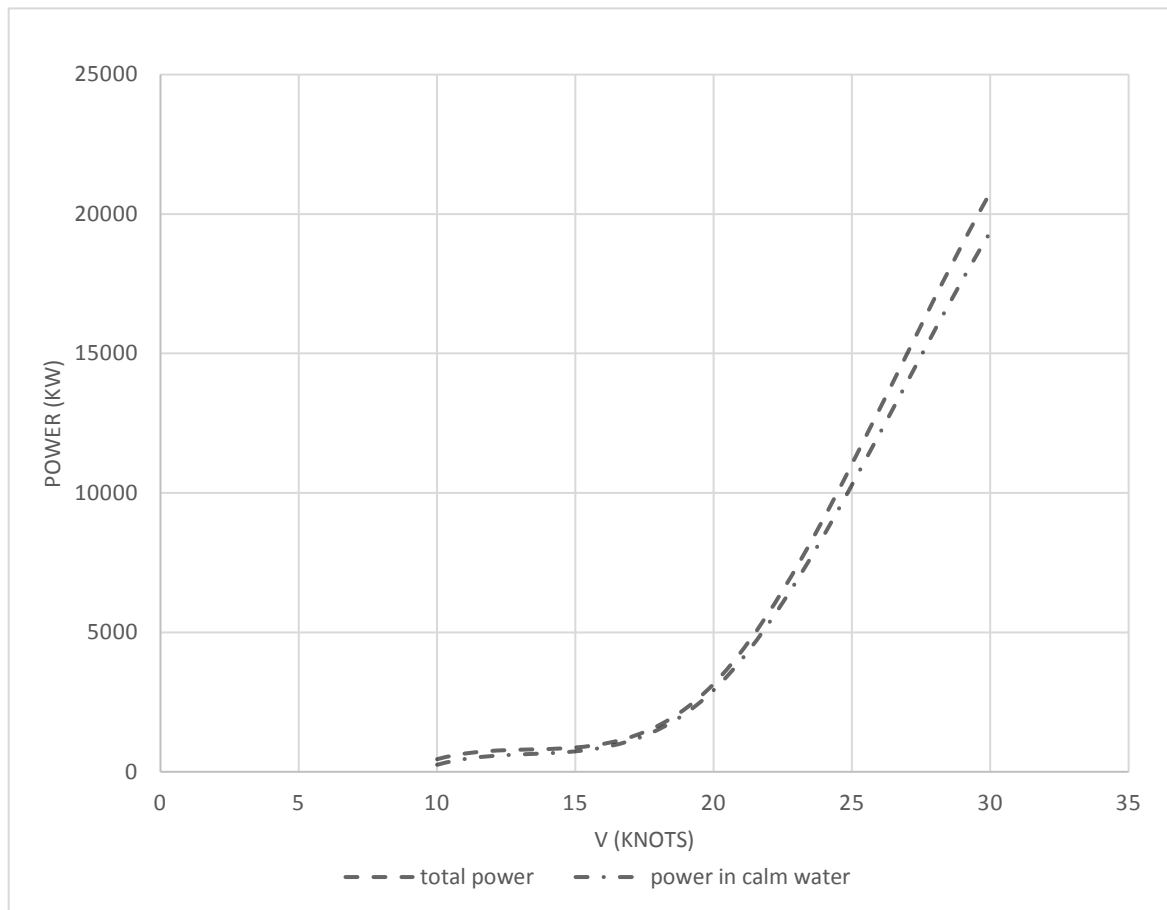
Gambar IV. 39 Speed dan Power Havelock, Sea State 6, Heading Angle 90

Gambar IV.39 merupakan grafik kecepatan kapal dan *power* pada gelombang irregular dan air tenang. Dari grafik tersebut bisa didapatkan nilai *speed loss* Havelock untuk *sea state* 6 dan *heading angle* 90. Tabel IV.16 merupakan hasil perhitungan *speed loss* untuk *sea state* 2-6 dan *heading angle* 180, 135, dan 90.

Tabel IV.16 Speed Loss, Havelock, Kecepatan 30 knot

	sea state 2	sea state 3	sea state 4	sea state 5	sea state 6
heading angle 180	0,0001	0,0004	0,0023	0,0267	0,7944
heading angle 135	0,0002	0,0023	0,0139	0,0619	0,8548
heading angle 90	0,0124	0,0364	0,0730	0,1636	1,0009

Pada tabel IV.16 didapatkan hasil *speed loss* terbesar yaitu 1,0009 knot pada *sea state* 6 dan *heading angle* 90. Hasil dari perhitungan *speed loss* mengalami kenaikan dari *sea state* 2-6, hal ini dipengaruhi oleh nilai *added wave resistance* pada gelombang irreguler.



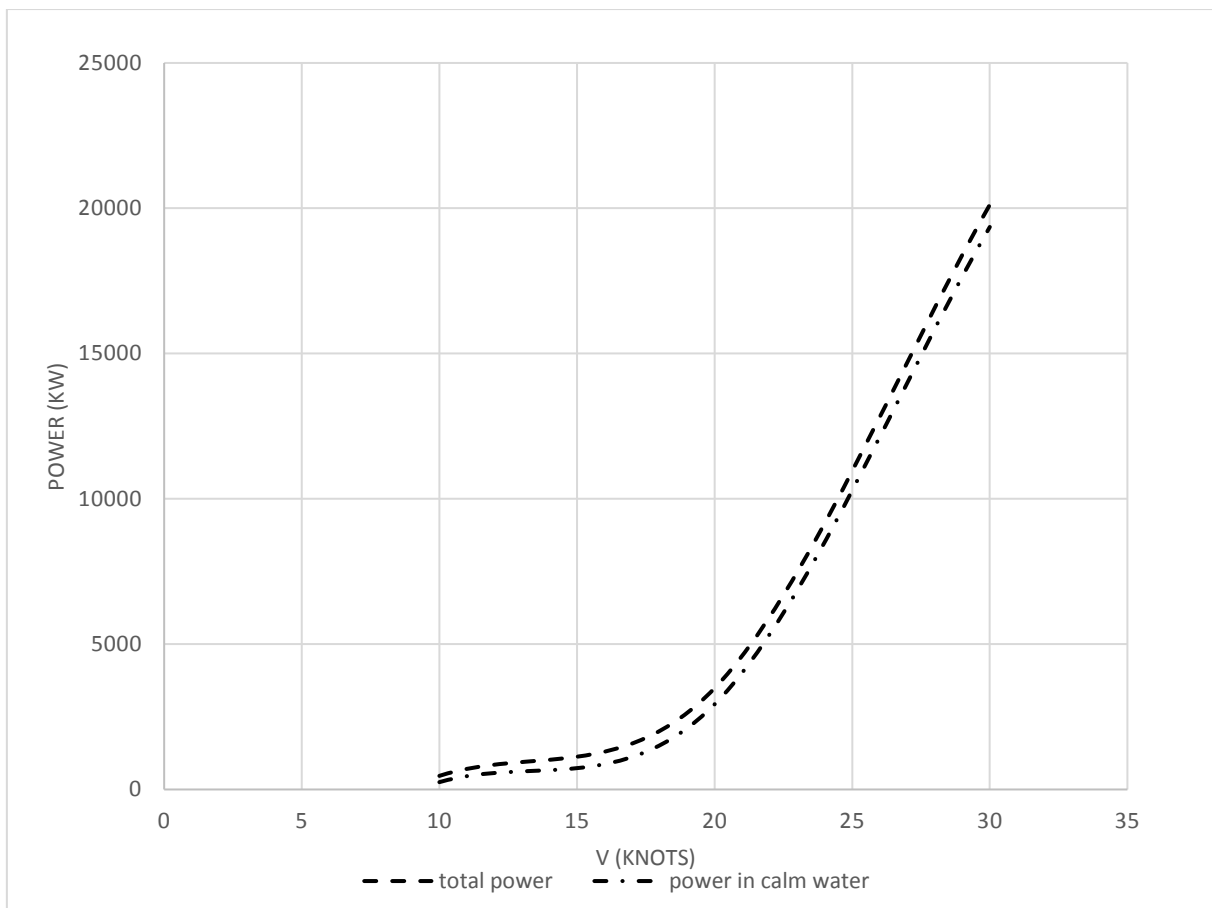
Gambar IV. 40 Speed dan Power Geritsma & Beukelman Sea State 6, Heading Angle 90

Gambar IV.40 merupakan grafik kecepatan kapal dan *power* pada gelombang irregular dan air tenang. Dari grafik tersebut bisa didapatkan nilai *speed loss* metode Gerritsma & Beukelman untuk *sea state* 6 dan *heading angle* 90. Tabel IV.17 merupakan hasil perhitungan *speed loss* untuk *sea state* 2-6 dan *heading angle* 180,135, dan 90.

Tabel IV.17 Speed Loss, Gerritsma & Beukelman, Kecepatan 30 knot

	sea state 2	sea state 3	sea state 4	sea state 5	sea state 6
heading angle 180	0,0020	0,0029	0,0119	0,0594	0,3840
heading angle 135	0,0028	0,0096	0,0298	0,0856	0,4287
heading angle 90	0,0202	0,0545	0,1030	0,2101	1,1328

Pada tabel IV.17 didapatkan hasil *speed loss* terbesar yaitu 1,1328 knot pada *sea state* 6 dan *heading angle* 90. Hasil dari perhitungan *speed loss* mengalami kenaikan dari *sea state* 2-6, hal ini dipengaruhi oleh nilai *added wave resistance* pada gelombang irreguler.



Gambar IV. 40 Speed dan Power Salvesen Sea State 6, Heading Angle 90

Gambar IV.41 merupakan grafik kecepatan kapal dan *power* pada gelombang irregular dan air tenang. Dari grafik tersebut bisa didapatkan nilai *speed loss* metode Salvesen untuk *sea state* 6 dan *heading angle* 90. Tabel IV.17 merupakan hasil perhitungan *speed loss* untuk *sea state* 2-6 dan *heading angle* 180,135, dan 90.

Tabel IV.18 Speed Loss, Salvesen, Kecepatan 30 knot

	sea state 2	sea state 3	sea state 4	sea state 5	sea state 6
heading angle 180	0,0010	0,0014	0,0056	0,0332	0,0875
heading angle 135	0,0030	0,0035	0,0121	0,0506	0,1140
heading angle 90	0,0079	0,0202	0,0408	0,0954	0,2053

Pada tabel IV.18 didapatkan hasil *speed loss* terbesar yaitu 0,2053 knot pada *sea state* 6 dan *heading angle* 90. Hasil dari perhitungan *speed loss* mengalami kenaikan dari *sea state* 2-6, hal ini dipengaruhi oleh nilai *added wave resistance* pada gelombang irreguler.

Penelitian lain yang melakukan estimasi *speed loss* dilakukan oleh Kim (2016). Pada penelitian tersebut dilakukan perhitungan *speed loss* pada kapal dengan $C_B = 0.51$, $F_n = 0.26$. Penelitian tersebut menunjukkan hasil speed loss terbesar pada *heading angle* 90 dengan nilai 1.05 knot. Tren ini memiliki kemiripan dengan hasil yang didapatkan pada penelitian ini dimana *speed loss* terbesar yaitu 1.1328 knot.

BAB V

KESIMPULAN DAN SARAN

V.1. Kesimpulan

Dengan menggunakan perangkat lunak Maxsurf Motion, dapat dilakukan perhitungan seakeeping kapal, dimana dapat ditambahkan input variasi seperti *heading angle*, kecepatan kapal, dan *sea state*. Untuk melakukan analisis *seakeeping* pada maxsurf motion, terdapat dua metode yaitu *strip theory* dan *panel method*. Selain digunakan untuk analisis seakeeping sebuah kapal, Maxsurf Motion juga dapat melakukan analisis added wave resistance dengan menggunakan tiga metode yaitu, Havelock, Salvesen, dan Gerritsma & Beukelman.

1. Nilai terbesar RAO gerakan *heave* yaitu (1.088 m/m) pada frekuensi gelombang 2.25 rad/s pada *heading angle* 90. Sedangkan nilai RAO terbesar gerakan *pitch* yaitu (1.038 °/m) pada *heading angle* 180 dan terjadi pada frekuensi gelombang 0.75 rad/s.
2. Nilai *added wave resistance* terbesar untuk ketiga metode terdapat pada *sea state 6*, dengan *heading angle* 90. Hasil *added wave resistance* menggunakan metode Havelock tertinggi yaitu 33.33 KN. Nilai terbesar *added wave resistance* dengan menggunakan Salvesen yaitu sebesar 24.73 KN. Untuk metode Gerritsma & Beukelman nilai tertinggi yaitu sebesar 45.89 KN.
3. Dari *sea state 2-6* nilai *added wave resistance* dengan menggunakan metode Havelock, Salvesen, dan Gerritsma & Beukelman mengalami kenaikan.
4. Nilai RMS terbesar antara metode Havelock dengan Gerritsma & Beukelman yaitu 0,969 pada *sea state 2* dan *heading angle* 180. Sedangkan antara metode Havelock dengan Salvesen nilai RMS terbesar yaitu 0,932 pada *sea state 2* dan *heading angle* 135. Untuk perbandingan antara metode Gerritsma & Beukelman dengan Salvesen, didapatkan nilai RMS terbesar yaitu 2,771 pada *sea state 2* dan *heading angle* 180.
5. Nilai *added power* untuk metode Salvesen, Gerritsma & Beukelman, dan Havelock memiliki nilai terbesar pada *sea state 6* dengan *heading angle* 90. Nilai *added power* tertinggi untuk metode Salvesen yaitu 381.6 kW. Untuk metode Gerritsma & Beukelman memiliki nilai *added power* terbesar yaitu 708.1 kW. Nilai terbesar *added power* untuk metode Havelock yaitu 514.4 kW.
6. Nilai *speed loss* untuk metode Salvesen, Gerritsma & Beukelman, dan Havelock memiliki nilai terbesar pada *sea state 6* dengan *heading angle* 90. Nilai *speed loss* tertinggi untuk

metode Salvesen yaitu 0.2053 knot. Untuk metode Gerritsma & Beukelman memiliki nilai *speed loss* terbesar yaitu 1.1328 knot. Nilai terbesar *speed loss* untuk metode Havelock Theory yaitu 1.0009 knot.

V.2. Saran

Pada Tugas Akhir ini, masih terdapat kekurangan-kekurangan yang terjadi dan juga masih banyak pokok bahasan yang dapat dikembangkan, maka dari itu saran yang dapat diberikan adalah sebagai berikut:

1. Analisis olah gerak kapal dapat dilakukan dengan eksperimen model kapal atau pun menggunakan software selain dari Maxsurf Motion.
2. Selanjutnya, dapat dilakukan analisis kenaikan biaya pelayaran kapal akibat added wave resistance.

DAFTAR PUSTAKA

- Alexandersson, M. (2009). Thesis. *A Study of Method to Predict Added Resistance in Waves.* Southampton: KTH Centre for Naval Architecture.
- Bhattacharya, R. (1978). *Dynamic of Marine Vehicle.* New York: united State of America.
- Chakrabarti, S. (1987). *Hydrodynamic of Offshore Structure.* Boston: Computational Mechanics Publication Southampton.
- Iqra, M. (2014). Tugas Akhir. *Perhitungan Added Wave Resistance, Added Power, dan Speed Loss Pada Kapal di Gelombang Irregular.* Surabaya: Institut Teknologi Sepuluh Nopember.
- Kim, M. (2016). Estimation of added resistance and ship speed loss in a seaway. Glasgow: Department of Naval Architecture, Ocean and Marine Engineering, University of Strathclyde.
- Lewis, E. V. (1988). *Principle of Naval Architecture (Vol 2).* New Jersey: United States of America.
- Rebull, B. (2014). Thesis. *Powering Vessel in a Seaway.* Barcelona: Universitat Politecnica de Catalunya.
- Salvaseen, N. (1978). Added Resistance of Ships in Waves. *Journal of Hydronautics Vol 12,* pp 24-34.
- Tejsen, S. (1973). Added Resistance in Waves. *Society of Naval Architects and Marine Engineers Vol.81,* pp 109-143.

LAMPIRAN A

RAO HEAVE DAN PITCH KAPAL PERANG TIPE *CORVETTE*

We (rad/s)	Heave RAO (m/m)			Pitch RAO (°/m)		
	180	135	90	180	135	90
0,40	0,984	0,989	1	1,029	0,708	0,229
0,57	0,968	0,987	1,001	1,036	0,708	0,253
0,74	0,945	0,985	1,001	1,038	0,708	0,277
0,91	0,915	0,982	1,001	1,033	0,709	0,3
1,08	0,88	0,98	1,001	1,019	0,711	0,321
1,25	0,837	0,96	0,997	0,991	0,724	0,406
1,42	0,79	0,931	0,987	0,947	0,742	0,445
1,59	0,742	0,891	0,983	0,884	0,758	0,422
1,75	0,691	0,842	0,999	0,803	0,767	0,341
1,92	0,627	0,791	1,038	0,702	0,761	0,234
2,09	0,54	0,741	1,08	0,583	0,735	0,147
2,26	0,416	0,691	1,088	0,45	0,684	0,094
2,43	0,263	0,626	1,03	0,314	0,605	0,059
2,60	0,127	0,523	0,93	0,192	0,5	0,058
2,77	0,099	0,38	0,821	0,099	0,378	0,055
2,94	0,136	0,237	0,663	0,037	0,264	0,04
3,11	0,15	0,149	0,451	0,004	0,175	0,025
3,28	0,141	0,124	0,266	0,018	0,117	0,011
3,45	0,119	0,119	0,151	0,026	0,081	0,005
3,62	0,092	0,115	0,075	0,028	0,058	0,006
3,79	0,066	0,11	0,018	0,026	0,044	0,005
3,95	0,044	0,102	0,031	0,022	0,036	0,003
4,12	0,025	0,09	0,045	0,018	0,032	0,003
4,29	0,01	0,072	0,061	0,014	0,03	0,003
4,46	0,001	0,052	0,058	0,011	0,026	0,002

4,63	0,009	0,037	0,044	0,007	0,022	0,001
4,80	0,014	0,033	0,043	0,005	0,017	0,001
4,97	0,017	0,035	0,027	0,003	0,012	0,001
5,14	0,017	0,036	0,016	0,002	0,009	0
5,31	0,016	0,033	0,009	0,003	0,009	0
5,48	0,014	0,027	0,006	0,004	0,008	0
5,65	0,011	0,02	0,008	0,004	0,008	0
5,82	0,008	0,015	0,011	0,004	0,006	0
5,99	0,008	0,008	0,005	0,002	0,002	0
6,15	0,006	0,003	0,003	0,001	0,001	0
6,32	0,004	0,002	0,007	0,001	0	0
6,49	0,003	0,002	0,003	0,001	0	0
6,66	0,002	0,002	0,001	0	0	0
6,83	0,001	0,001	0,001	0	0	0
7,00	0,001	0	0,014	0	0	0

LAMPIRAN B

ENCOUNTER WAVE SPECTRUM DENGAN HEADING

ANGLE 180, 135, DAN 90

Encounter Wave Frequency (ω_e) [rad/s]	Angle :	180	Speed :	30	knot
		$S_z(\omega_e)$			
		Sea State 2	Sea State 3	Sea State 4	Sea State 5
1.433 m	2.012 m	3.200 m	4.359 m	4.359 m	
0,40	0	0,0000	0,0000	0,0000	0,0000
0,57	0	0,0000	0,0000	0,0000	0,0570
0,74	0	0,0000	0,0000	0,0590	0,7770
0,91	0	0,0000	0,0040	0,3300	1,2940
1,08	0	0,0010	0,0380	0,5300	1,1960
1,25	0	0,0060	0,0970	0,5420	0,9170
1,42	0	0,0200	0,1390	0,4640	0,6650
1,59	0,002	0,0380	0,1540	0,3690	0,4770
1,75	0,006	0,0510	0,1470	0,2860	0,3460
1,92	0,01	0,0580	0,1310	0,2210	0,2550
2,09	0,015	0,0590	0,1130	0,1710	0,1910
2,26	0,019	0,0560	0,0950	0,1340	0,1460
2,43	0,021	0,0520	0,0790	0,1060	0,1130
2,60	0,022	0,0460	0,0660	0,0840	0,0890
2,77	0,022	0,0410	0,0550	0,0680	0,0710
2,94	0,021	0,0360	0,0460	0,0560	0,0580
3,11	0,019	0,0310	0,0390	0,0460	0,0470
3,28	0,018	0,0270	0,0330	0,0380	0,0390
3,45	0,017	0,0240	0,0280	0,0320	0,0320
3,62	0,015	0,0210	0,0240	0,0270	0,0270
3,79	0,014	0,0180	0,0210	0,0230	0,0230
3,95	0,012	0,0160	0,0180	0,0200	0,0200
4,12	0,011	0,0140	0,0160	0,0170	0,0170
4,29	0,01	0,0120	0,0140	0,0150	0,0150
4,46	0,009	0,0110	0,0120	0,0130	0,0130
4,63	0,008	0,0100	0,0110	0,0110	0,0110
4,80	0,007	0,0090	0,0090	0,0100	0,0100
4,97	0,007	0,0080	0,0080	0,0090	0,0090
5,14	0,006	0,0070	0,0070	0,0080	0,0080
5,31	0,006	0,0060	0,0070	0,0070	0,0070
5,48	0,005	0,0060	0,0060	0,0060	0,0060
5,65	0,005	0,0050	0,0050	0,0060	0,0060
5,82	0,004	0,0050	0,0050	0,0050	0,0050
5,99	0,004	0,0040	0,0040	0,0050	0,0050
6,15	0,004	0,0040	0,0040	0,0040	0,0040
6,32	0,003	0,0040	0,0040	0,0040	0,0040
6,49	0,003	0,0030	0,0030	0,0030	0,0030
6,66	0,003	0,0030	0,0030	0,0030	0,0030
6,83	0,003	0,0030	0,0030	0,0030	0,0030
7,00	0,002	0,0020	0,0030	0,0030	0,0030

Angle :		135	Speed :	30	knot
Encounter Wave Frequency (ω_e) [rad/s]	$S_z(\omega_e)$				
	Sea State 2	Sea State 3	Sea State 4	Sea State 5	Sea State 6
	1.433 m	2.012 m	3.200 m	4.359 m	4.359 m
0,40	0	0,0000	0,0000	0,0000	0,0000
0,57	0	0,0000	0,0000	0,0020	0,2060
0,74	0	0,0000	0,0000	0,1840	1,2690
0,91	0	0,0000	0,0230	0,5580	1,5040
1,08	0	0,0050	0,1000	0,6560	1,1650
1,25	0	0,0240	0,1670	0,5600	0,8040
1,42	0,003	0,0490	0,1860	0,4280	0,5450
1,59	0,009	0,0670	0,1730	0,3150	0,3730
1,75	0,016	0,0730	0,1470	0,2310	0,2610
1,92	0,023	0,0700	0,1200	0,1710	0,1870
2,09	0,026	0,0630	0,0970	0,1280	0,1370
2,26	0,027	0,0550	0,0780	0,0980	0,1030
2,43	0,026	0,0470	0,0620	0,0760	0,0790
2,60	0,025	0,0400	0,0500	0,0590	0,0610
2,77	0,023	0,0340	0,0410	0,0470	0,0480
2,94	0,02	0,0290	0,0340	0,0380	0,0390
3,11	0,018	0,0240	0,0280	0,0310	0,0310
3,28	0,016	0,0210	0,0230	0,0250	0,0260
3,45	0,014	0,0170	0,0190	0,0210	0,0210
3,62	0,012	0,0150	0,0160	0,0180	0,0180
3,79	0,011	0,0130	0,0140	0,0150	0,0150
3,95	0,01	0,0110	0,0120	0,0130	0,0130
4,12	0,008	0,0100	0,0100	0,0110	0,0110
4,29	0,007	0,0080	0,0090	0,0090	0,0090
4,46	0,007	0,0070	0,0080	0,0080	0,0080
4,63	0,006	0,0070	0,0070	0,0070	0,0070
4,80	0,005	0,0060	0,0060	0,0060	0,0060
4,97	0,005	0,0050	0,0050	0,0060	0,0060
5,14	0,004	0,0050	0,0050	0,0050	0,0050
5,31	0,004	0,0040	0,0040	0,0040	0,0040
5,48	0,003	0,0040	0,0040	0,0040	0,0040
5,65	0,003	0,0030	0,0030	0,0030	0,0030
5,82	0,003	0,0030	0,0030	0,0030	0,0030
5,99	0,003	0,0030	0,0030	0,0030	0,0030
6,15	0,002	0,0020	0,0020	0,0030	0,0030
6,32	0,002	0,0020	0,0020	0,0020	0,0020
6,49	0,002	0,0020	0,0020	0,0020	0,0020
6,66	0,002	0,0020	0,0020	0,0020	0,0020
6,83	0,002	0,0020	0,0020	0,0020	0,0020
7,00	0,001	0,0020	0,0020	0,0020	0,0020

Angle :		90	Speed :	30	knot
Encounter Wave Frequency (ω_e) [rad/s]	1.433 m	$S_z(\omega_e)$			
		Sea State 2	Sea State 3	Sea State 4	Sea State 5
0,40	0	0,0000	0,0000	0,0000	0,0190
0,57	0	0,0000	0,0010	0,3430	2,1540
0,74	0	0,0050	0,1490	1,1990	2,2700
0,91	0,004	0,0850	0,3710	0,9350	1,2260
1,08	0,033	0,1590	0,3340	0,5380	0,6120
1,25	0,063	0,1490	0,2260	0,2970	0,3170
1,42	0,066	0,1110	0,1420	0,1680	0,1740
1,59	0,054	0,0760	0,0880	0,0990	0,1010
1,75	0,041	0,0510	0,0560	0,0610	0,0610
1,92	0,029	0,0340	0,0370	0,0390	0,0390
2,09	0,021	0,0230	0,0250	0,0260	0,0260
2,26	0,015	0,0160	0,0170	0,0180	0,0170
2,43	0,011	0,0120	0,0120	0,0120	0,0120
2,60	0,008	0,0080	0,0090	0,0090	0,0090
2,77	0,006	0,0060	0,0060	0,0060	0,0060
2,94	0,005	0,0050	0,0050	0,0050	0,0050
3,11	0,003	0,0040	0,0040	0,0040	0,0040
3,28	0,003	0,0030	0,0030	0,0030	0,0030
3,45	0,002	0,0020	0,0020	0,0020	0,0020
3,62	0,002	0,0020	0,0020	0,0020	0,0020
3,79	0,001	0,0010	0,0010	0,0010	0,0010
3,95	0,001	0,0010	0,0010	0,0010	0,0010
4,12	0,001	0,0010	0,0010	0,0010	0,0010
4,29	0,001	0,0010	0,0010	0,0010	0,0010
4,46	0,001	0,0010	0,0010	0,0010	0,0010
4,63	0	0,0000	0,0000	0,0000	0,0000
4,80	0	0,0000	0,0000	0,0000	0,0000
4,97	0	0,0000	0,0000	0,0000	0,0000
5,14	0	0,0000	0,0000	0,0000	0,0000
5,31	0	0,0000	0,0000	0,0000	0,0000
5,48	0	0,0000	0,0000	0,0000	0,0000
5,65	0	0,0000	0,0000	0,0000	0,0000
5,82	0	0,0000	0,0000	0,0000	0,0000
5,99	0	0,0000	0,0000	0,0000	0,0000
6,15	0	0,0000	0,0000	0,0000	0,0000
6,32	0	0,0000	0,0000	0,0000	0,0000
6,49	0	0,0000	0,0000	0,0000	0,0000
6,66	0	0,0000	0,0000	0,0000	0,0000
6,83	0	0,0000	0,0000	0,0000	0,0000
7,00	0	0,0000	0,0000	0,0000	0,0000

LAMPIRAN C

ADDED WAVE RESISTANCE MENGGUNAKAN HAVELOCK THEORY

ADDED WAVE RESISTANCE SEA STATE 2
 $k = 2\pi/L_w$ = 0.2901926
 L_w = 71 ft
 L_w = 21.6408 m

no	freq(rad/s)	R_{AW} (kN)	w_e	$S_2(w_e)$	wave height (m)	$S_2(w_e)R_{AW}$ / wave height	simpson multiplier
1	0.32	0	0.40	0.0000000000	1.006	0	1
2	0.371	0	0.57	0.0000000000	1.006	0	3
3	0.421	0	0.74	0.0000000000	1.006	0	3
4	0.468	0	0.91	0.0000000000	1.006	0	2
5	0.513	0	1.08	0.0010000000	1.006	0	0
6	0.561	0	1.25	0.0060000000	1.006	0	0
7	0.607	0.056	1.42	0.0200000000	1.006	0.00110668	2
8	0.652	0.088	1.59	0.0380000000	1.006	0.00330423	3
9	0.695	0.685	1.75	0.0510000000	1.006	0.034519523	3
10	0.736	1.128	1.92	0.0580000000	1.006	0.064645922	2
11	0.777	1.543	2.09	0.0590000000	1.006	0.08995431	3
12	0.816	1.108	2.26	0.0560000000	1.006	0.061310072	3
13	0.854	0.66	2.43	0.0520000000	1.006	0.033911837	2
14	0.892	0.427	2.60	0.0460000000	1.006	0.0194084	3
15	0.928	0.313	2.77	0.0410000000	1.006	0.012680379	3
16	0.964	0.214	2.94	0.0360000000	1.006	0.007612377	2
17	0.998	0.117	3.11	0.0310000000	1.006	0.005583865	3
18	1.033	0.076	3.28	0.0270000000	1.006	0.002027596	3
19	1.066	0.012	3.45	0.0240000000	1.006	0.000284575	2
20	1.099	0.01	3.62	0.0210000000	1.006	0.000207502	3
21	1.131	0.007	3.79	0.0180000000	1.006	0.000124501	3
22	1.162	0.006	3.95	0.0160000000	1.006	9.48583E-05	2
23	1.193	0.005	4.12	0.0140000000	1.006	6.91675E-05	3
24	1.224	0.004	4.29	0.0120000000	1.006	4.7291E-05	3
25	1.254	0.003	4.46	0.0110000000	1.006	3.26075E-05	2
26	1.284	0.003	4.63	0.0100000000	1.006	2.96432E-05	3
27	1.313	0.002	4.80	0.0090000000	1.006	1.77839E-05	3
28	1.341	0.002	4.97	0.0080000000	1.006	1.58097E-05	2
29	1.37	0.001	5.14	0.0070000000	1.006	6.91675E-06	3
30	1.398	0.001	5.31	0.0060000000	1.006	5.92864E-06	3
31	1.425	0.001	5.48	0.0060000000	1.006	5.92864E-06	2
32	1.452	0.001	5.65	0.0050000000	1.006	4.94054E-06	3
33	1.479	0	5.82	0.0050000000	1.006	0	0
34	1.636	0	5.99	0.0040000000	1.006	0	2
35	1.783	0	6.15	0.0040000000	1.006	0	3
36	1.922	0	6.32	0.0040000000	1.006	0	3
37	2.053	0	6.49	0.0030000000	1.006	0	2
38	2.179	0	6.66	0.0030000000	1.006	0	3
39	2.299	0	6.83	0.0030000000	1.006	0	0
40	2.414	0	7.00	0.0020000000	1.006	0	1

mean added wave resistance = 0.057162944

mean added wave resistance = 0.896673636

ADDED WAVE RESISTANCE SEA STATE 3						
$k = 2\pi/L_w$	= 0.2901926	L_w	= 71 ft	L_w	= 21.6408 m	
no	freq(rad/s)	$R_{AW}(\text{kN})$	w_e	$S_2(\omega)e$	wave height (m)	$S_2(\omega)R_{AW}$ /wave height
1	0.32	0	0.40	0.00000000000	1.433	1
2	0.371	0	0.57	0.00000000000	1.433	0
3	0.421	0	0.74	0.00000000000	1.433	0
4	0.468	0.001	0.91	0.00000000000	1.433	0
5	0.513	0.132	1.08	0.00100000000	1.433	6.42808E-05
6	0.561	1.653	1.25	0.00600000000	1.433	0.004829829
7	0.607	3.256	1.42	0.02000000000	1.433	0.031711882
8	0.652	1.671	1.59	0.03800000000	1.433	0.030922006
9	0.695	0.78	1.75	0.05100000000	1.433	0.019371908
10	0.736	0.715	1.92	0.05800000000	1.433	0.020194898
11	0.777	0.558	2.09	0.05900000000	1.433	0.016032226
12	0.816	0.325	2.26	0.05600000000	1.433	0.008862964
13	0.854	0.149	2.43	0.05200000000	1.433	0.003773091
14	0.892	0.057	2.60	0.04600000000	1.433	0.001276851
15	0.928	0.024	2.77	0.04100000000	1.433	0.000479184
16	0.964	0.024	2.94	0.03600000000	1.433	0.000420747
17	0.998	0.028	3.11	0.03100000000	1.433	0.000422695
18	1.033	0.023	3.28	0.02700000000	1.433	0.000302412
19	1.066	0.018	3.45	0.02400000000	1.433	0.000210374
20	1.099	0.013	3.62	0.02100000000	1.433	0.000132944
21	1.131	0.01	3.79	0.01800000000	1.433	8.76557E-05
22	1.162	0.008	3.95	0.01600000000	1.433	6.23329E-05
23	1.193	0.006	4.12	0.01400000000	1.433	4.0906E-05
24	1.224	0.005	4.29	0.01200000000	1.433	2.92186E-05
25	1.254	0.004	4.46	0.01100000000	1.433	2.14269E-05
26	1.284	0.003	4.63	0.01000000000	1.433	1.46093E-05
27	1.313	0.002	4.80	0.00900000000	1.433	8.76557E-06
28	1.341	0.002	4.97	0.00800000000	1.433	7.79162E-06
29	1.37	0.001	5.14	0.00700000000	1.433	3.40883E-06
30	1.398	0.001	5.31	0.00600000000	1.433	2.92186E-06
31	1.425	0.001	5.48	0.00600000000	1.433	2.92186E-06
32	1.452	0.001	5.65	0.00500000000	1.433	2.43488E-06
33	1.479	0	5.82	0.00500000000	1.433	0
34	1.636	0	5.99	0.00400000000	1.433	0
35	1.783	0	6.15	0.00400000000	1.433	0
36	1.922	0	6.32	0.00400000000	1.433	0
37	2.053	0	6.49	0.00300000000	1.433	0
38	2.179	0	6.66	0.00300000000	1.433	0
39	2.299	0	6.83	0.00300000000	1.433	0
40	2.414	0	7.00	0.00200000000	1.433	0
					jumlah	0.36110152

ADDED WAVE RESISTANCE SEA STATE 4

no	freq(rad/s)	$R_{AW}(kN)$	W_e	$S_2(\omega e)$	wave height (m)	$S_2(\omega e)^R_{AW}$ / wave height	simpson multiplier	
1	0.32	0	0.40	0.0000000000	2.012	0	1	0
2	0.371	0	0.57	0.0000000000	2.012	0	3	0
3	0.421	0.001	0.74	0.0000000000	2.012	0	3	0
4	0.468	0.627	0.91	0.0040000000	2.012	0.000519543	2	0.001239086
5	0.513	9.499	1.08	0.0380000000	2.012	0.089167283	3	0.267501848
6	0.561	26.964	1.25	0.0970000000	2.012	0.646100534	3	1.938301602
7	0.607	22.53	1.42	0.1390000000	2.012	0.773606374	2	1.547212747
8	0.652	6.799	1.59	0.1540000000	2.012	0.258648408	3	0.775945223
9	0.695	2.241	1.75	0.1470000000	2.012	0.081377293	3	0.244131879
10	0.736	1.619	1.92	0.1310000000	2.012	0.052391664	2	0.104783328
11	0.777	1.067	2.09	0.1130000000	2.012	0.029784267	3	0.0893528
12	0.816	0.548	2.26	0.0950000000	2.012	0.012860214	3	0.038580643
13	0.854	0.229	2.43	0.0790000000	2.012	0.004468862	2	0.008937923
14	0.892	0.081	2.60	0.0660000000	2.012	0.001320605	3	0.003961816
15	0.928	0.033	2.77	0.0550000000	2.012	0.000448354	3	0.001345061
16	0.964	0.031	2.94	0.0460000000	2.012	0.00035226	2	0.00070452
17	0.998	0.035	3.11	0.0390000000	2.012	0.000337192	3	0.001011575
18	1.033	0.028	3.28	0.0330000000	2.012	0.000228253	3	0.000584758
19	1.066	0.021	3.45	0.0280000000	2.012	0.000145252	2	0.000290503
20	1.099	0.015	3.62	0.0240000000	2.012	8.89296E-05	3	0.000266789
21	1.131	0.011	3.79	0.0210000000	2.012	5.70632E-05	3	0.00017119
22	1.162	0.009	3.95	0.0180000000	2.012	4.00183E-05	2	8.0367E-05
23	1.193	0.007	4.12	0.0160000000	2.012	2.7667E-05	3	8.3001E-05
24	1.224	0.005	4.29	0.0140000000	2.012	1.72919E-05	3	5.18756E-05
25	1.254	0.004	4.46	0.0120000000	2.012	1.18573E-05	2	2.37146E-05
26	1.284	0.003	4.63	0.0110000000	2.012	8.15188E-06	3	2.44557E-05
27	1.313	0.003	4.80	0.0090000000	2.012	6.66972E-06	3	2.00092E-05
28	1.341	0.002	4.97	0.0080000000	2.012	3.95243E-06	2	7.90486E-06
29	1.37	0.001	5.14	0.0070000000	2.012	1.72919E-06	3	5.18756E-06
30	1.398	0.001	5.31	0.0070000000	2.012	1.72919E-06	3	5.18756E-06
31	1.425	0.001	5.48	0.0060000000	2.012	1.48216E-06	2	2.96432E-06
32	1.452	0.001	5.65	0.0050000000	2.012	1.23513E-06	3	3.7054E-06
33	1.479	0	5.82	0.0050000000	2.012	0	0	0
34	1.636	0	5.99	0.0040000000	2.012	0	2	0
35	1.783	0	6.15	0.0040000000	2.012	0	3	0
36	1.922	0	6.32	0.0040000000	2.012	0	3	0
37	2.053	0	6.49	0.0030000000	2.012	0	2	0
38	2.179	0	6.66	0.0030000000	2.012	0	3	0
39	2.299	0	6.83	0.0030000000	2.012	0	3	0
40	2.414	0	7.00	0.0030000000	2.012	0	1	0
								jumlah
								5.024503328

mean added wave resistance = 0,320312087

ADDED WAVE RESISTANCE SEA STATE 5

$$k = 2\pi/L_w = 0.2901926$$

$$L_w = 71 \text{ ft}$$

$$= 21.6408 \text{ m}$$

no	freq(rad/s)	$R_{AW}(\text{KN})$	w_e	$S_2(w_e)$	wave height (m)	$S_2(w_e R_{AW})$	wave height	simpson multiplier
1	0.32	0	0.40	0.0000000000	3.2	0	0	0
2	0.371	0.005	0.57	0.0000000000	3.2	0	0	0
3	0.421	4.318	0.74	0.0590000000	3.2	0.024879102	3	0.074637305
4	0.468	50.021	0.91	0.3300000000	3.2	1.612004883	2	3.224009766
5	0.513	132.609	1.08	0.5300000000	3.2	6.863551758	3	20.59065527
6	0.561	151.52	1.25	0.5420000000	3.2	8.01990625	3	24.05971875
7	0.607	74.984	1.42	0.4640000000	3.2	3.3977125	2	6.795425
8	0.652	16.36	1.59	0.3690000000	3.2	0.589535156	3	1.78860569
9	0.695	4.361	1.75	0.2860000000	3.2	0.121801367	3	0.365404102
10	0.736	2.723	1.92	0.2210000000	3.2	0.058767871	2	0.117535742
11	0.777	1.618	2.09	0.1710000000	3.2	0.027019336	3	0.081058008
12	0.816	0.771	2.26	0.1340000000	3.2	0.01089288	3	0.03267773
13	0.854	0.305	2.43	0.1060000000	3.2	0.003157227	2	0.006314453
14	0.892	0.103	2.60	0.0840000000	3.2	0.000844922	3	0.002534766
15	0.928	0.041	2.77	0.0680000000	3.2	0.000272266	3	0.000816797
16	0.964	0.037	2.94	0.0560000000	3.2	0.000202344	2	0.000404688
17	0.998	0.041	3.11	0.0460000000	3.2	0.00018418	3	0.000552539
18	1.033	0.033	3.28	0.0380000000	3.2	0.00012461	3	0.000367383
19	1.066	0.024	3.45	0.0320000000	3.2	0.000075	2	0.00015
20	1.099	0.017	3.62	0.0270000000	3.2	4.48242E-05	3	0.000134473
21	1.131	0.012	3.79	0.0230000000	3.2	2.69531E-05	3	8.08594E-05
22	1.162	0.01	3.95	0.0200000000	3.2	1.95513E-05	2	3.90625E-05
23	1.193	0.008	4.12	0.0170000000	3.2	1.32813E-05	3	3.38438E-05
24	1.224	0.006	4.29	0.0150000000	3.2	8.78906E-06	3	2.63672E-05
25	1.254	0.005	4.46	0.0130000000	3.2	6.34766E-06	2	1.26953E-05
26	1.284	0.004	4.63	0.0110000000	3.2	4.29688E-06	3	1.28906E-05
27	1.313	0.003	4.80	0.0100000000	3.2	2.92969E-06	3	8.78906E-06
28	1.341	0.002	4.97	0.0090000000	3.2	1.75781E-06	2	3.51563E-06
29	1.37	0.002	5.14	0.0080000000	3.2	1.5625E-06	3	4.6875E-06
30	1.398	0.001	5.31	0.0070000000	3.2	6.83394E-07	3	2.05078E-06
31	1.425	0.001	5.48	0.0060000000	3.2	5.85538E-07	2	1.17188E-06
32	1.452	0.001	5.65	0.0050000000	3.2	5.85538E-07	3	1.75781E-06
33	1.479	0	5.82	0.0050000000	3.2	0	0	0
34	1.636	0	5.99	0.0050000000	3.2	0	2	0
35	1.783	0	6.15	0.0040000000	3.2	0	3	0
36	1.922	0	6.32	0.0040000000	3.2	0	3	0
37	2.053	0	6.49	0.0030000000	3.2	0	2	0
38	2.179	0	6.66	0.0030000000	3.2	0	3	0
39	2.299	0	6.83	0.0030000000	3.2	0	3	0
40	2.414	0	7.00	0.0030000000	3.2	0	1	0

jumlah
mean added wave resistance = 3,641317903

jumlah
mean added wave resistance = 57,11871221

ADDED WAVE RESISTANCE SEA STATE 6

no	freq(rad/s)	R_{AW} (kN)	W_e	$S_2(\omega_e)$	wave height(m)	$S_2(\omega_e)R_{AW}$ /wave height	simpson multiplier
1	0.32	0	0.40	0.0000000000	4,359	0	0
2	0.371	1,746	0.57	0.0570000000	4,359	0.005237757	3
3	0.421	57,13	0.74	0.7770000000	4,359	2,3362079	3
4	0.468	196,208	0.91	1.2940000000	4,359	13,3621778	2
5	0.513	299,25	1.08	1.1960000000	4,359	18,8361266	3
6	0.561	256,21	1.25	0.9170000000	4,359	12,36493034	3
7	0.607	107,392	1.42	0.6650000000	4,359	3,758545722	2
8	0.652	21,142	1.59	0.4770000000	4,359	0.530750854	3
9	0.695	5,268	1.75	0.3460000000	4,359	0.095928605	3
10	0.736	3,142	1.92	0.2550000000	4,359	0.042166992	2
11	0.777	1,807	2.09	0.1910000000	4,359	0.018164263	3
12	0.816	0.841	2.26	0.1460000000	4,359	0.006462121	3
13	0.854	0.327	2.43	0.1130000000	4,359	0.001944699	2
14	0.892	0.109	2.60	0.0890000000	4,359	0.000510555	3
15	0.928	0.043	2.77	0.0710000000	4,359	0.000160677	3
16	0.964	0.039	2.94	0.0580000000	4,359	0.000119047	2
17	0.998	0.042	3.11	0.0470000000	4,359	0.00010389	3
18	1,033	0.033	3.28	0.0390000000	4,359	6,77337E-05	3
19	1,066	0.024	3.45	0.0320000000	4,359	4,04192E-05	2
20	1,099	0.017	3.62	0.0270000000	4,359	2,41568E-05	3
21	1,131	0.013	3.79	0.0230000000	4,359	1,57361E-05	3
22	1,162	0.01	3.95	0.0200000000	4,359	1,05258E-05	2
23	1,193	0.008	4.12	0.0170000000	4,359	7,15756E-06	3
24	1,224	0.006	4.29	0.0150000000	4,359	4,73662E-06	3
25	1,254	0.005	4.46	0.0130000000	4,359	3,42089E-06	2
26	1,284	0.004	4.63	0.0110000000	4,359	2,31568E-06	3
27	1,313	0.003	4.80	0.0100000000	4,359	1,57887E-06	3
28	1,341	0.002	4.97	0.0090000000	4,359	9,47324E-07	2
29	1,37	0.002	5.14	0.0080000000	4,359	8,42066E-07	3
30	1,398	0.001	5.31	0.0070000000	4,359	3,68404E-07	3
31	1,425	0.001	5,48	0.0060000000	4,359	3,15775E-07	2
32	1,452	0.001	5,65	0.0060000000	4,359	3,15775E-07	3
33	1,479	0	5,82	0.0050000000	4,359	0	0
34	1,636	0	5,99	0.0050000000	4,359	0	2
35	1,783	0	6,15	0.0040000000	4,359	0	3
36	1,922	0	6,32	0.0040000000	4,359	0	3
37	2,053	0	6,49	0.0030000000	4,359	0	2
38	2,179	0	6,66	0.0030000000	4,359	0	3
39	2,299	0	6,83	0.0030000000	4,359	0	3
40	2,414	0	7,00	0.0030000000	4,359	0	1
						jumlah	126,9140845

mean added wave resistance = 8,728272884

ADDED WAVE RESISTANCE SEA STATE 2						
$k = 2\pi/L_w$	= 0.2901926	R_{AW}	$S_2(w)$	wave height (m)	$S_2/(w R_{AW})$	wave height /wave height
L_w	= 71 ft					simpson multiplier
no	freq(rad/s)	$R_{AW}(\text{KN})$	W_e	$S_2(w)$	wave height (m)	$S_2/(w R_{AW})$
1	0.32	0	0.40	0.0000000000	1.006	0
2	0.371	0	0.57	0.0000000000	1.006	0
3	0.421	0	0.74	0.0000000000	1.006	0
4	0.468	0	0.91	0.0000000000	1.006	0
5	0.513	0.003	1.08	0.0000000000	1.006	0
6	0.561	0.206	1.25	0.0000000000	1.006	0
7	0.607	1.397	1.42	0.003000000000	1.006	0.004141157
8	0.652	2.323	1.59	0.009000000000	1.006	0.020653356
9	0.695	2.005	1.75	0.016000000000	1.006	0.031698477
10	0.736	1.531	1.92	0.023000000000	1.006	0.034794217
11	0.777	1.182	2.09	0.026000000000	1.006	0.030366509
12	0.816	0.976	2.26	0.027000000000	1.006	0.026038599
13	0.854	0.749	2.43	0.026000000000	1.006	0.019242398
14	0.892	0.437	2.60	0.025000000000	1.006	0.010795071
15	0.928	0.228	2.77	0.023000000000	1.006	0.005181634
16	0.964	0.154	2.94	0.020000000000	1.006	0.00304337
17	0.998	0.113	3.11	0.018000000000	1.006	0.00202943
18	1.033	0.071	3.28	0.016000000000	1.006	0.00112249
19	1.066	0.045	3.45	0.014000000000	1.006	0.000622507
20	1.099	0.025	3.62	0.012000000000	1.006	0.000296432
21	1.131	0.012	3.79	0.010000000000	1.006	0.00013043
22	1.162	0.007	3.95	0.010000000000	1.006	6.91675E-05
23	1.193	0.004	4.12	0.008000000000	1.006	3.16194E-05
24	1.224	0.001	4.29	0.007000000000	1.006	6.91675E-06
25	1.254	0.001	4.46	0.007000000000	1.006	6.91675E-06
26	1.284	0.001	4.63	0.006000000000	1.006	5.92844E-06
27	1.313	0	4.80	0.005000000000	1.006	0
28	1.341	0	4.97	0.005000000000	1.006	0
29	1.37	0	5.14	0.004000000000	1.006	0
30	1.398	0	5.31	0.004000000000	1.006	0
31	1.425	0	5.48	0.003000000000	1.006	0
32	1.452	0	5.65	0.003000000000	1.006	0
33	1.479	0	5.82	0.003000000000	1.006	0
34	1.636	0	5.99	0.003000000000	1.006	0
35	1.783	0	6.15	0.002000000000	1.006	0
36	1.922	0	6.32	0.002000000000	1.006	0
37	2.053	0	6.49	0.002000000000	1.006	0
38	2.179	0	6.66	0.002000000000	1.006	0
39	2.299	0	6.83	0.002000000000	1.006	0
40	2.414	0	7.00	0.001000000000	1.006	0

ADDED WAVE RESISTANCE SEA STATE 3

$$k = 2\pi/L_w = 0.2901926$$

$$L_w = 71 \text{ ft}$$

$$= 21,640.8 \text{ m}$$

no	freq(rad/s)	$R_{AW}(\text{KN})$	W_e	$S_2(\omega_e)$	wave height (m)	$S_2(\omega_e) R_{AW}$ /wave height	simpson multiplier	
1	0.32	0	0,40	0,00000000000	1,433	0	1	0
2	0,371	0	0,57	0,00000000000	1,433	0	3	0
3	0,421	0	0,74	0,00000000000	1,433	0	3	0
4	0,468	0,91	0,00000000000	1,433	0	0	2	0
5	0,513	1,08	0,00500000000	1,433	0,004119818	3	0,012359453	
6	0,561	12,309	0,02400000000	1,433	0,143860522	3	0,431581567	
7	0,607	22,727	0,04900000000	1,433	0,54230775	2	1,084615501	
8	0,652	17,088	0,06700000000	1,433	0,557536953	3	1,672610859	
9	0,695	8,831	0,07300000000	1,433	0,313935453	3	0,94180636	
10	0,736	4,767	0,07000000000	1,433	0,162499044	2	0,324998089	
11	0,777	2,882	0,06300000000	1,433	0,088418297	3	0,265254891	
12	0,816	1,994	0,05500000000	1,433	0,053406665	3	0,160219996	
13	0,854	1,342	0,04700000000	1,433	0,030715529	2	0,061431057	
14	0,892	0,708	0,04000000000	1,433	0,013791162	3	0,041373487	
15	0,928	0,342	0,03400000000	1,433	0,005662558	3	0,016987673	
16	0,964	0,218	0,02900000000	1,433	0,003078633	2	0,006157325	
17	0,998	0,152	0,02400000000	1,433	0,001776489	3	0,005329466	
18	1,033	0,091	0,02100000000	1,433	0,000930611	3	0,002791834	
19	1,066	0,057	0,01700000000	1,433	0,000471588	2	0,00094376	
20	1,099	0,031	0,01500000000	1,433	0,000226444	3	0,000679332	
21	1,131	0,014	0,01300000000	1,433	8,862956E-05	3	0,000265889	
22	1,162	0,009	0,01100000000	1,433	4,82106E-05	2	9,64213E-05	
23	1,193	0,004	0,01000000000	1,433	1,9479E-05	3	5,84371E-05	
24	1,224	0,001	0,00800000000	1,433	3,89581E-06	3	1,16874E-05	
25	1,254	0,001	0,00700000000	1,433	3,40883E-06	2	6,81766E-06	
26	1,284	0,001	0,00700000000	1,433	3,40883E-06	3	1,02265E-05	
27	1,313	0	4,80	0,00650000000	1,433	0	3	0
28	1,341	0	4,97	0,00550000000	1,433	0	2	0
29	1,37	0	5,14	0,00500000000	1,433	0	3	0
30	1,398	0	5,31	0,00400000000	1,433	0	3	0
31	1,425	0	5,48	0,00400000000	1,433	0	2	0
32	1,452	0	5,65	0,00300000000	1,433	0	3	0
33	1,479	0	5,82	0,00300000000	1,433	0	2	0
34	1,636	0	5,99	0,00300000000	1,433	0	2	0
35	1,783	0	6,15	0,00200000000	1,433	0	3	0
36	1,922	0	6,32	0,00200000000	1,433	0	3	0
37	2,053	0	6,49	0,00200000000	1,433	0	2	0
38	2,179	0	6,66	0,00200000000	1,433	0	3	0
39	2,299	0	6,83	0,00200000000	1,433	0	3	0
40	2,414	0	7,00	0,00200000000	1,433	0	1	0
								jumlah
								5,029590127
								mean added wave resistance = 0,320636371

ADDED WAVE RESISTANCE SEA STATE 4

ADDED WAVE RESISTANCE SEA STATE 5

$$k = 2\pi/L_w = 0.2901926$$

$$L_w = 71 \text{ ft}$$

$$= 21.6408 \text{ m}$$

no	freq(rad/s)	$R_{AW}(\text{kN})$	W_e	$S_z(\text{we})$	wave height (m)	$S_z(\text{we}) R_{AW}$ / wave height	simpson multiplier	
1	0.32	0	0.40	0.0000000000	3.2		0	0
2	0.371	0.085	0.57	0.002000000000	3.2	1.66016E-05	3	4.98047E-05
3	0.421	16.277	0.74	0.184000000000	3.2	0.292477344	3	0.877432031
4	0.468	105.548	0.91	0.558000000000	3.2	5.751541406	2	11.50308281
5	0.513	234.125	1.08	0.656000000000	3.2	14.9983281	3	44.99589844
6	0.561	290.521	1.25	0.560000000000	3.2	15.88786719	3	47.66360156
7	0.607	197.305	1.42	0.428000000000	3.2	8.246732422	2	16.49346484
8	0.652	80.639	1.59	0.315000000000	3.2	2.480594238	3	7.441782715
9	0.695	28.105	1.75	0.231000000000	3.2	0.634009277	3	1.902027832
10	0.736	11.622	1.92	0.171000000000	3.2	0.19407832	2	0.388156641
11	0.777	5.827	2.09	0.128000000000	3.2	0.0728375	3	0.2185125
12	0.816	3.52	2.26	0.098000000000	3.2	0.0336875	3	0.4010625
13	0.854	2.142	2.43	0.076000000000	3.2	0.015897556	2	0.031795313
14	0.892	1.047	2.60	0.059000000000	3.2	0.00603252	3	0.018097559
15	0.928	0.476	2.77	0.047000000000	3.2	0.00218476	3	0.006554297
16	0.964	0.29	2.94	0.038000000000	3.2	0.001076172	2	0.002152344
17	0.998	0.194	3.11	0.031000000000	3.2	0.000587305	3	0.001761914
18	1.033	0.113	3.28	0.025000000000	3.2	0.000275379	3	0.000827637
19	1.066	0.068	3.45	0.021000000000	3.2	0.000139453	2	0.000278906
20	1.099	0.036	3.62	0.018000000000	3.2	6.32813E-05	3	0.000189844
21	1.131	0.016	3.79	0.015000000000	3.2	2.34375E-05	3	7.03125E-05
22	1.162	0.01	3.95	0.013000000000	3.2	1.26953E-05	2	2.53906E-05
23	1.193	0.005	4.12	0.011000000000	3.2	5.37109E-06	3	1.61133E-05
24	1.224	0.001	4.29	0.009000000000	3.2	8.78906E-07	3	2.63672E-06
25	1.254	0.001	4.46	0.008000000000	3.2	7.8125E-07	2	1.5625E-06
26	1.284	0.001	4.63	0.007000000000	3.2	6.83594E-07	3	2.05079E-06
27	1.313	0	4.80	0.006000000000	3.2	0	3	0
28	1.341	0	4.97	0.006000000000	3.2	0	2	0
29	1.37	0	5.14	0.005000000000	3.2	0	3	0
30	1.398	0	5.31	0.004000000000	3.2	0	3	0
31	1.425	0	5.48	0.004000000000	3.2	0	2	0
32	1.452	0	5.65	0.003000000000	3.2	0	3	0
33	1.479	0	5.82	0.003000000000	3.2	0	3	0
34	1.636	0	5.99	0.003000000000	3.2	0	2	0
35	1.783	0	6.15	0.003000000000	3.2	0	3	0
36	1.922	0	6.32	0.002000000000	3.2	0	3	0
37	2.053	0	6.49	0.002000000000	3.2	0	2	0
38	2.179	0	6.66	0.002000000000	3.2	0	3	0
39	2.299	0	6.83	0.002000000000	3.2	0	3	0
40	2.414	0	7.00	0.002000000000	3.2	0	1	0

mean added wave resistance = 8,392486532
jumlah 131.6468476

ADDED WAVE RESISTANCE SEA STATE 6

no	freq(rad/s)	R_{aw} (kN)	w_e	$Sz(w_e)$	wave height (m)	$Sz(w_e)R_{aw}$ / wave height	simpson multiplier
1	0.32	0	0.40	0.0000000000	4,359	0	0
2	0.371	7,749	0.57	0.2060000000	4,359	0.084011578	3
3	0.421	111,982	0.74	1,2690000000	4,359	7,478872059	3
4	0.468	284,268	0.91	1,5040000000	4,359	22,50101308	2
5	0.513	415,98	1.08	1,1650000000	4,359	25,50495948	3
6	0.561	417,296	1.25	0,8040000000	4,359	17,65739094	3
7	0.607	251,296	1.42	0,5450000000	4,359	7,20789315	2
8	0.652	95,458	1.59	0,3730000000	4,359	1,873904373	3
9	0.695	31,731	1.75	0,2610000000	4,359	0,435863527	3
10	0.736	12,711	1.92	0,1870000000	4,359	0,125097199	2
11	0.777	6,229	2.09	0,1370000000	4,359	0,044912286	3
12	0.816	3,702	2.26	0,1030000000	4,359	0,020067806	3
13	0.854	2,226	2.43	0,0790000000	4,359	0,009255045	2
14	0.892	1,081	2.60	0,0610000000	4,359	0,0034770418	3
15	0.923	0,487	2.77	0,0480000000	4,359	0,001230259	3
16	0.964	0,294	2.94	0,0390000000	4,359	0,000603446	2
17	0.998	0,197	3.11	0,0310000000	4,359	0,000321406	3
18	1,033	0,114	3.28	0,0260000000	4,359	0,00015593	3
19	1,066	0,069	3.45	0,0210000000	4,359	7,62596E-05	2
20	1,099	0,036	3.62	0,0180000000	4,359	3,41037E-05	3
21	1,131	0,016	3.79	0,0150000000	4,359	1,2631E-05	3
22	1,162	0,01	3.95	0,0130000000	4,359	6,84179E-06	2
23	1,193	0,005	4,12	0,0110000000	4,359	2,8946E-06	3
24	1,224	0,001	4,29	0,0090000000	4,359	4,73662E-07	3
25	1,254	0,001	4,46	0,0080000000	4,359	4,21033E-07	2
26	1,284	0,001	4,63	0,0070000000	4,359	3,68404E-07	3
27	1,313	0	4,80	0,0060000000	4,359	0	0
28	1,341	0	4,97	0,0060000000	4,359	0	0
29	1,37	0	5,14	0,0050000000	4,359	0	0
30	1,398	0	5,31	0,0040000000	4,359	0	0
31	1,425	0	5,48	0,0040000000	4,359	0	0
32	1,452	0	5,65	0,0030000000	4,359	0	0
33	1,479	0	5,82	0,0030000000	4,359	0	0
34	1,636	0	5,99	0,0030000000	4,359	0	0
35	1,783	0	6,15	0,0030000000	4,359	0	0
36	1,922	0	6,32	0,0020000000	4,359	0	0
37	2,053	0	6,49	0,0020000000	4,359	0	0
38	2,179	0	6,66	0,0020000000	4,359	0	0
39	2,299	0	6,83	0,0020000000	4,359	0	0
40	2,414	0	7,00	0,0020000000	4,359	0	0
						jumlah	219,0035227

mean added wave resistance =

13,96147457

ADDED WAVE RESISTANCE SEA STATE 2

$$k = 2\pi/L_w$$

$$= 0.2901926$$

$$L_w$$

$$= 71 \text{ ft}$$

$$= 21.6408 \text{ m}$$

no	R_{AW} (KN)	w_e	$Sz(w_e)$	wave height (m)	$Sz(w_e) R_{AW}$	wave height	simpson multiplier
1	0	0.40	0.0000000000	1,006	0	1	0
2	0.32	0.57	0.0000000000	1,006	0	3	0
3	0	0.74	0.0000000000	1,006	0	3	0
4	0.421	0.002	0.0000000000	1,006	0.0009232873	2	0.018465746
5	0.468	2.336	0.91	0.0000000000	1,006	0.820927319	3
6	0.513	25.176	1.08	0.033000000000	1,006	3.58653921	3
7	0.561	57.616	1.25	0.063000000000	1,006	4.118331759	2
8	0.607	63.15	1.42	0.066000000000	1,006	1.528380413	3
9	0.652	28.644	1.59	0.050000000000	1,006	0.183926263	3
10	0.695	4.54	1.75	0.041000000000	1,006	0.015846274	2
11	0.736	0.553	1.92	0.029000000000	1,006	0.02103714295	3
12	0.777	0.179	2.09	0.021000000000	1,006	0.004075942	3
13	0.816	0.275	2.26	0.015000000000	1,006	0.002344696	2
14	0.854	0.224	2.43	0.011000000000	1,006	0.0008322105	3
15	0.892	0.104	2.60	0.008000000000	1,006	0.000106716	3
16	0.928	0.018	2.77	0.006000000000	1,006	2.47027E-05	2
17	0.964	0.005	2.94	0.005000000000	1,006	4.94054E-05	2
18	0.998	0.003	3.11	0.003000000000	1,006	8.89296E-06	3
19	1.033	0.005	3.28	0.003000000000	1,006	1.48216E-05	3
20	1.066	0.003	3.45	0.002000000000	1,006	5.92864E-06	2
21	1.099	0.001	3.62	0.002000000000	1,006	1.97621E-06	3
22	1.131	0.001	3.79	0.001000000000	1,006	9.88107E-07	3
23	1.162	0	3.95	0.001000000000	1,006	0	0
24	1.193	0	4.12	0.001000000000	1,006	0	0
25	1.224	0	4.29	0.001000000000	1,006	0	0
26	1.254	0.001	4.46	0.001000000000	1,006	9.88107E-07	2
27	1.284	0.002	4.63	0.000000000000	1,006	0	0
28	1.313	0.002	4.80	0.000000000000	1,006	0	0
29	1.341	0.001	4.97	0.000000000000	1,006	0	0
30	1.370	0.001	5.14	0.000000000000	1,006	0	0
31	1.398	0	5.31	0.000000000000	1,006	0	0
32	1.425	0	5.48	0.000000000000	1,006	0	0
33	1.452	0	5.55	0.000000000000	1,006	0	0
34	1.479	0	5.82	0.000000000000	1,006	0	0
35	1.636	0	5.99	0.000000000000	1,006	0	0
36	1.783	0	6.15	0.000000000000	1,006	0	0
37	1.922	0	6.32	0.000000000000	1,006	0	0
38	2.053	0	6.49	0.000000000000	1,006	0	0
39	2.179	0	6.66	0.000000000000	1,006	0	0
40	2.299	0.001	6.83	0.000000000000	1,006	0	0
	2.414	0	7.00	0.000000000000	1,006	0	0

mean added wave resistance = 1,700697719

26.67761127

ADDED WAVE RESISTANCE SEA STATE 3

$$k = 2\pi/L_w = 0.2901926$$

$$L_w = 71 \text{ ft}$$

$$= 21.6408 \text{ m}$$

no	freq(rad/s)	$R_{AW}(\text{KN})$	w_e	$S_2(w_e) R_{AW}$	wave height (m)	$S_2(w_e) R_{AW} / \text{wave height}$	Simpson multiplier
1	0.32	0	0.40	0.0000000000	1.433	0	0
2	0.371	0	0.57	0.0000000000	1.433	0	0
3	0.421	1.742	0.74	0.005000000000	1.433	0.0042451562	3
4	0.468	51.929	0.91	0.085000000000	1.433	2.149495322	2
5	0.513	120.206	1.08	0.159000000000	1.433	9.307453802	3
6	0.561	137.563	1.25	0.149000000000	1.433	9.981493448	3
7	0.607	106.37	1.42	0.111000000000	1.433	5.74976053	2
8	0.652	39.864	1.59	0.076000000000	1.433	1.475373864	3
9	0.695	5.651	1.75	0.051000000000	1.433	0.14034639	3
10	0.736	0.642	1.92	0.034000000000	1.433	0.010629714	2
11	0.777	0.199	2.09	0.023000000000	1.433	0.002228889	3
12	0.816	0.297	2.26	0.016000000000	1.433	0.00231411	3
13	0.854	0.237	2.43	0.012000000000	1.433	0.00138496	2
14	0.892	0.109	2.60	0.008000000000	1.433	0.000424643	3
15	0.928	0.018	2.77	0.006000000000	1.433	5.25934E-05	3
16	0.964	0.005	2.94	0.005000000000	1.433	1.21744E-05	2
17	0.998	0.004	3.11	0.004000000000	1.433	7.79162E-06	3
18	1.033	0.005	3.28	0.003000000000	1.433	7.30464E-06	2
19	1.066	0.003	3.45	0.002000000000	1.433	2.92186E-06	2
20	1.099	0.001	3.62	0.002000000000	1.433	9.73952E-07	3
21	1.131	0.001	3.79	0.001000000000	1.433	4.86976E-07	3
22	1.162	0	3.95	0.001000000000	1.433	0	0
23	1.193	0	4.12	0.001000000000	1.433	0	0
24	1.224	0	4.29	0.001000000000	1.433	0	0
25	1.254	0.001	4.46	0.001000000000	1.433	4.86976E-07	2
26	1.284	0.002	4.63	0.000000000000	1.433	0	0
27	1.313	0.002	4.80	0.000000000000	1.433	0	0
28	1.341	0.001	4.97	0.000000000000	1.433	0	0
29	1.37	0.001	5.14	0.000000000000	1.433	0	0
30	1.398	0	5.31	0.000000000000	1.433	0	0
31	1.425	0	5.48	0.000000000000	1.433	0	0
32	1.452	0	5.65	0.000000000000	1.433	0	0
33	1.479	0	5.82	0.000000000000	1.433	0	0
34	1.636	0	5.99	0.000000000000	1.433	0	0
35	1.783	0	6.15	0.000000000000	1.433	0	0
36	1.922	0	6.32	0.000000000000	1.433	0	0
37	2.053	0	6.49	0.000000000000	1.433	0	0
38	2.179	0	6.66	0.000000000000	1.433	0	0
39	2.299	0.001	6.83	0.000000000000	1.433	0	0
40	2.414	0	7.00	0.000000000000	1.433	0	0

jumlah
mean added wave resistance = 5.008481239

ADDED WAVE RESISTANCE SEA STATE 4

no	freq(rad/s)	R_{AW} (kN)	W_e	$S_2(w_e)$	wave height(m)	$S_2(w_e)R_{AW}$ /wave height	simpson multiplier
1	0.32	0	0.40	0.0000000000	2,012	0	0
2	0.371	0.116	0.57	0.0010000000	2,012	2,86551E-05	3
3	0.421	50.97	0.74	0.1490000000	2,012	1,876052334	3
4	0.468	227.516	0.91	0.3710000000	2,012	20,85114462	2
5	0.513	252.954	1.08	0.3340000000	2,012	20,87046212	3
6	0.561	208.023	1.25	0.2260000000	2,012	11,61351918	3
7	0.607	136.205	1.42	0.1420000000	2,012	4,77777233	2
8	0.652	46.607	1.59	0.0880000000	2,012	1,013159611	3
9	0.695	6,268	1.75	0.0560000000	2,012	0.086708378	3
10	0.736	0.69	1.92	0.0370000000	2,012	0.006306594	2
11	0.777	0.209	2.09	0.0250000000	2,012	0.001290715	3
12	0.816	0.308	2.26	0.0170000000	2,012	0.001293432	3
13	0.854	0.242	2.43	0.0120000000	2,012	0.000717356	2
14	0.892	0.111	2.60	0.0090000000	2,012	0.00024678	3
15	0.928	0.018	2.77	0.0060000000	2,012	2,66789E-05	3
16	0.964	0.005	2.94	0.0050000000	2,012	6,17567E-06	2
17	0.998	0.004	3.11	0.0040000000	2,012	3,95243E-06	3
18	1.033	0.005	3.28	0.0030000000	2,012	3,7054E-06	3
19	1.066	0.003	3.45	0.0020000000	2,012	1,48216E-06	2
20	1.099	0.001	3.62	0.0010000000	2,012	4,94054E-07	3
21	1.131	0.001	3.79	0.0010000000	2,012	2,47027E-07	3
22	1.162	0	3.95	0.0010000000	2,012	0	0
23	1.193	0	4.12	0.0010000000	2,012	0	0
24	1.224	0	4.29	0.0010000000	2,012	0	0
25	1.254	0.001	4.46	0.0010000000	2,012	2,47027E-07	2
26	1.284	0.002	4.63	0.0000000000	2,012	0	0
27	1.313	0.002	4.80	0.0000000000	2,012	0	0
28	1.341	0.001	4.97	0.0000000000	2,012	0	0
29	1.37	0.001	5.14	0.0000000000	2,012	0	0
30	1.398	0	5.31	0.0000000000	2,012	0	0
31	1.425	0	5.48	0.0000000000	2,012	0	0
32	1.452	0	5.65	0.0000000000	2,012	0	0
33	1.479	0	5.82	0.0000000000	2,012	0	0
34	1.636	0	5.99	0.0000000000	2,012	0	0
35	1.783	0	6.15	0.0000000000	2,012	0	0
36	1.922	0	6.32	0.0000000000	2,012	0	0
37	2.053	0	6.49	0.0000000000	2,012	0	0
38	2.179	0	6.66	0.0000000000	2,012	0	0
39	2.299	0.001	6.83	0.0000000000	2,012	0	0
40	2.414	0	7.00	0.0000000000	2,012	0	0
						jumlah	157,6602863

mean added wave resistance =

10,05084325

ADDED WAVE RESISTANCE SEA STATE 5

$$k = 2\pi/L_w = 0.2901926$$

$$L_w = 71 \text{ ft} = 21.6408 \text{ m}$$

no	$R_{aw}(\text{KN})$	w_e	$S_z(w_e)$	wave height (m)	$S_z(w_e) R_{aw}$	wave height /wave height	simpson multiplier
1	0.32	0.40	0.0000000000	3.2	0	0	0
2	0.371	0.57	0.3430000000	3.2	1.333144531	3	3.999433594
3	0.421	0.74	1.1990000000	3.2	47.90871465	3	143.7761439
4	0.468	0.91	0.9350000000	3.2	52.30558008	2	104.6111602
5	0.513	1.08	0.5380000000	3.2	21.3842916	3	64.1528748
6	0.561	1.25	0.2970000000	3.2	7.934540625	3	23.80362188
7	0.607	1.42	0.1680000000	3.2	2.655285938	2	5.310571875
8	0.652	1.59	0.0990000000	3.2	0.507249316	3	1.521747949
9	0.695	1.75	0.0610000000	3.2	0.04073418	3	0.122202539
10	0.736	1.92	0.0390000000	3.2	0.002806934	2	0.005613867
11	0.777	2.09	0.0260000000	3.2	0.000585894	3	0.001675781
12	0.816	2.26	0.0180000000	3.2	0.000564258	3	0.001692773
13	0.854	2.43	0.0120000000	3.2	0.000295513	2	0.000590625
14	0.892	2.60	0.0090000000	3.2	0.00010104	3	0.000303223
15	0.928	2.77	0.0060000000	3.2	1.11328E-05	3	3.33984E-05
16	0.964	2.94	0.0050000000	3.2	2.44141E-06	2	4.88281E-06
17	0.998	3.11	0.0040000000	3.2	1.5625E-06	3	4.6875E-06
18	1.033	3.28	0.0030000000	3.2	1.46484E-06	3	4.39453E-06
19	1.066	3.45	0.0020000000	3.2	5.85938E-07	2	1.17188E-06
20	1.099	3.62	0.0020000000	3.2	1.95313E-07	3	5.85938E-07
21	1.131	3.79	0.0010000000	3.2	9.76563E-08	3	2.92969E-07
22	1.162	0	3.95	0.0010000000	3.2	0	0
23	1.193	0	4.12	0.0010000000	3.2	0	0
24	1.224	0	4.29	0.0010000000	3.2	0	0
25	1.254	0.001	4.46	0.0010000000	3.2	0	0
26	1.284	0.002	4.63	0.0000000000	3.2	0	0
27	1.313	0.002	4.80	0.0000000000	3.2	0	0
28	1.341	0.001	4.97	0.0000000000	3.2	0	0
29	1.37	0.001	5.14	0.0000000000	3.2	0	0
30	1.398	0	5.31	0.0000000000	3.2	0	0
31	1.425	0	5.48	0.0000000000	3.2	0	0
32	1.452	0	5.65	0.0000000000	3.2	0	0
33	1.479	0	5.82	0.0000000000	3.2	0	0
34	1.636	0	5.99	0.0000000000	3.2	0	0
35	1.783	0	6.15	0.0000000000	3.2	0	0
36	1.922	0	6.32	0.0000000000	3.2	0	0
37	2.053	0	6.49	0.0000000000	3.2	0	0
38	2.179	0	6.66	0.0000000000	3.2	0	0
39	2.299	0.001	6.83	0.0000000000	3.2	0	0
40	2.414	0	7.00	0.0000000000	3.2	0	0

mean added wave resistance = $347,2576826$

jumlah

ADDED WAVE RESISTANCE SEA STATE 6

no	freq(rad/s)	R_{AW} (kN)	w_c	$S_2(\omega_e)$	wave height (m)	$S_2(\omega_e)R_{AW}$ / wave height	simpson multiplier
1	0.32	0.53	0.40	0.019000000000	4.359	0.000529975	1
2	0.371	249.978	0.57	2,15400000000	4.359	28.3829716	3
3	0.421	774.718	0.74	2,27000000000	4.359	92.5541221	3
4	0.468	750.914	0.91	1,22600000000	4.359	48.45146728	2
5	0.513	462.917	1.08	0.61200000000	4.359	14.91010985	3
6	0.561	291.859	1.25	0.31700000000	4.359	4.86921122	3
7	0.607	167.236	1.42	0.17400000000	4.359	1,531458673	2
8	0.652	53.161	1.59	0.10100000000	4.359	0.282579581	3
9	0.695	6.854	1.75	0.06100000000	4.359	0.022003927	3
10	0.736	0.735	1.92	0.039000000000	4.359	0.001508614	2
11	0.777	0.219	2.09	0.026000000000	4.359	0.000299677	3
12	0.816	0.319	2.26	0.017000000000	4.359	0.000285408	3
13	0.854	0.249	2.43	0.012000000000	4.359	0.0003157256	2
14	0.892	0.113	2.60	0.009900000000	4.359	5,35238E-05	3
15	0.928	0.019	2.77	0.006000000000	4.359	5,99972E-06	3
16	0.964	0.005	2.94	0.005000000000	4.359	1,31573E-06	2
17	0.998	0.004	3.11	0.004000000000	4.359	8,42066E-07	3
18	1.033	0.005	3.28	0.003000000000	4.359	7,89437E-07	3
19	1.066	0.003	3.45	0.002000000000	4.359	3,15775E-07	2
20	1.099	0.001	3.62	0.002000000000	4.359	1,05258E-07	3
21	1.131	0.001	3.79	0.001000000000	4.359	5,26291E-08	3
22	1.162	0	3.95	0.001000000000	4.359	0	0
23	1.193	0	4.12	0.001000000000	4.359	0	0
24	1.224	0	4.29	0.001000000000	4.359	0	0
25	1.254	0.001	4.46	0.001000000000	4.359	5,26291E-08	2
26	1.284	0.002	4.63	0.000000000000	4.359	0	0
27	1.313	0.002	4.80	0.000000000000	4.359	0	0
28	1.341	0.001	4.97	0.000000000000	4.359	0	0
29	1.37	0.001	5.14	0.000000000000	4.359	0	0
30	1.398	0	5.31	0.000000000000	4.359	0	0
31	1.425	0	5.48	0.000000000000	4.359	0	0
32	1.452	0	5.65	0.000000000000	4.359	0	0
33	1.479	0	5.82	0.000000000000	4.359	0	0
34	1.636	0	5.99	0.000000000000	4.359	0	0
35	1.783	0	6.15	0.000000000000	4.359	0	0
36	1.922	0	6.32	0.000000000000	4.359	0	0
37	2.053	0	6.49	0.000000000000	4.359	0	0
38	2.179	0	6.66	0.000000000000	4.359	0	0
39	2.299	0	6.83	0.000000000000	4.359	0	0
40	2.414	0	7.00	0.000000000000	4.359	0	1
jumlah							
522,9006247							

mean added wave resistance = 33,33491482

LAMPIRAN D

ADDED WAVE RESISTANCE MENGGUNAKAN METODE

SALVESEN

ADDED WAVE RESISTANCE SEA STATE 2

$k = 2\pi/L_w$ = 0.2901926

L_w = 71 ft

L_w = 21.6408 m

no	freq(rad/s)	R_{AW} (kN)	W_e	$S_2(w_e)$	wave height (m)	$S_2(w_e) R_{AW}$	wave height	simpson multiplier
1	0.32	0	0.40	0.0000000000	1.006	0	1	0
2	0.371	0	0.57	0.0000000000	1.006	0	3	0
3	0.421	0	0.74	0.0000000000	1.006	0	3	0
4	0.468	0	0.91	0.0000000000	1.006	0	2	0
5	0.513	0	1.08	0.0010000000	1.006	0	3	0
6	0.561	0.005	1.25	0.0060000000	1.006	2.96432E-05	3	8.89296E-05
7	0.607	0.071	1.42	0.0200000000	1.006	0.001403112	2	0.002806224
8	0.652	0.269	1.59	0.0380000000	1.006	0.010100431	3	0.030301294
9	0.695	0.628	1.75	0.0510000000	1.006	0.031647056	3	0.094941287
10	0.736	1.233	1.92	0.0580000000	1.006	0.070663494	2	0.141326988
11	0.777	1.71	2.09	0.0590000000	1.006	0.09969013	3	0.299070389
12	0.816	2.05	2.26	0.0560000000	1.006	0.1134347	3	0.2403041
13	0.854	2.099	2.43	0.0520000000	1.006	0.107849918	2	0.215695837
14	0.892	1.928	2.60	0.0460000000	1.006	0.087633246	3	0.262899739
15	0.928	1.703	2.77	0.0410000000	1.006	0.068992605	3	0.206977815
16	0.964	1.55	2.94	0.0360000000	1.006	0.055136379	2	0.110272757
17	0.998	1.413	3.11	0.0310000000	1.006	0.043282057	3	0.129846171
18	1.033	1.232	3.28	0.0270000000	1.006	0.032858396	3	0.098605188
19	1.066	1.051	3.45	0.0240000000	1.006	0.024924015	2	0.049848029
20	1.099	0.887	3.62	0.0210000000	1.006	0.018405472	3	0.05216415
21	1.131	0.745	3.79	0.0180000000	1.006	0.013250517	3	0.03975155
22	1.162	0.633	3.95	0.0160000000	1.006	0.010007539	2	0.020015098
23	1.193	0.535	4.12	0.0140000000	1.006	0.007400922	3	0.022202767
24	1.224	0.451	4.29	0.0120000000	1.006	0.005347636	3	0.016042908
25	1.254	0.382	4.46	0.0110000000	1.006	0.004152026	2	0.008304052
26	1.284	0.323	4.63	0.0100000000	1.006	0.003191586	3	0.009574758
27	1.313	0.273	4.80	0.0090000000	1.006	0.002427779	3	0.007283338
28	1.341	0.23	4.97	0.0080000000	1.006	0.001818117	2	0.003636234
29	1.37	0.194	5.14	0.0070000000	1.006	0.001341849	3	0.004025548
30	1.398	0.162	5.31	0.0060000000	1.006	0.00096044	3	0.00288132
31	1.425	0.137	5.48	0.0060000000	1.006	0.00081224	2	0.001624448
32	1.452	0.115	5.65	0.0050000000	1.006	0.0005658152	3	0.001704485
33	1.479	0.097	5.82	0.0050000000	1.006	0.000479232	3	0.001437696
34	1.636	0.081	5.99	0.0040000000	1.006	0.000320147	2	0.000640293
35	1.783	0.069	6.15	0.0040000000	1.006	0.000272718	3	0.000818153
36	1.922	0.058	6.32	0.0040000000	1.006	0.000229241	3	0.000687723
37	2.053	0.049	6.49	0.0030000000	1.006	0.000145252	2	0.000290503
38	2.179	0.042	6.66	0.0030000000	1.006	0.000124501	3	0.000373504
39	2.299	0.036	6.83	0.0030000000	1.006	0.000106716	3	0.000320147
40	2.414	0.008	7.00	0.0020000000	1.006	1.58097E-05	1	1.58097E-05
								2,1798355

mean added wave resistance = 0.138964513

ADDED WAVE RESISTANCE SEA STATE 3

$$k = 2\pi/L_w = 0.2901926$$

$$L_w = 71 \text{ ft}$$

$$= 21.6408 \text{ m}$$

no	freq (rad/s)	$R_{\text{air}}(\text{kN})$	W_e	$S_d(\omega_e)$	wave height (m)	$S_d(\omega_e) R_{\text{air}}$ / wave height	Simpson multiplier
1	0.32	0	0.40	0.0000000000	1.433	0	0
2	0.371	0	0.57	0.0000000000	1.433	0	0
3	0.421	0	0.74	0.0000000000	1.433	0	0
4	0.468	0.001	0.91	0.0000000000	1.433	0	0
5	0.513	0.14	1.08	0.0010000000	1.433	6.81766E-05	0.00020453
6	0.561	1.529	1.25	0.0060000000	1.433	0.004467518	0.013402555
7	0.607	3.524	1.42	0.0200000000	1.433	0.034222073	0.0686644147
8	0.652	4.423	1.59	0.0380000000	1.433	0.0818428016	0.245544047
9	0.695	5.763	1.75	0.0510000000	1.433	0.143128597	0.429385792
10	0.736	6.674	1.92	0.0580000000	1.433	0.18850454	0.377090981
11	0.777	6.171	2.09	0.0590000000	1.433	0.17730263	0.531907889
12	0.816	5.198	2.26	0.0560000000	1.433	0.14175289	0.452525867
13	0.854	4.111	2.43	0.0520000000	1.433	0.104101848	0.208203696
14	0.892	3.229	2.60	0.0460000000	1.433	0.072332503	0.21699751
15	0.928	2.677	2.77	0.0410000000	1.433	0.053449032	0.160347097
16	0.964	2.264	2.94	0.0360000000	1.433	0.039690497	0.079380995
17	0.998	1.857	3.11	0.0310000000	1.433	0.028033751	0.084101254
18	1.033	1.506	3.28	0.0270000000	1.433	0.019801241	0.059404263
19	1.066	1.218	3.45	0.0240000000	1.433	0.014235284	0.028470569
20	1.099	0.988	3.62	0.0210000000	1.433	0.010103779	0.030311338
21	1.131	0.814	3.79	0.0180000000	1.433	0.007135173	0.02140552
22	1.162	0.671	3.95	0.0160000000	1.433	0.005328175	0.01045635
23	1.193	0.553	4.12	0.0140000000	1.433	0.00370169	0.011310506
24	1.224	0.46	4.29	0.0120000000	1.433	0.0026588108	0.008664324
25	1.254	0.382	4.46	0.0110000000	1.433	0.002046273	0.004092547
26	1.284	0.318	4.63	0.0100000000	1.433	0.001545854	0.004645752
27	1.313	0.265	4.80	0.0090000000	1.433	0.001161438	0.003484314
28	1.341	0.22	4.97	0.0080000000	1.433	0.000857078	0.001714156
29	1.37	0.183	5.14	0.0070000000	1.433	0.000623816	0.001871449
30	1.398	0.153	5.31	0.0060000000	1.433	0.000447044	0.001341132
31	1.425	0.128	5.48	0.0060000000	1.433	0.000373998	0.000747995
32	1.452	0.106	5.65	0.0050000000	1.433	0.000258097	0.000774292
33	1.479	0.089	5.82	0.0050000000	1.433	0.000216704	0.000650113
34	1.636	0.075	5.99	0.0040000000	1.433	0.000146993	0.000292186
35	1.783	0.062	6.15	0.0040000000	1.433	0.00012077	0.00036231
36	1.922	0.052	6.32	0.0040000000	1.433	0.000101291	0.000303873
37	2.053	0.045	6.49	0.0030000000	1.433	6.57418E-05	0.000131484
38	2.179	0.038	6.66	0.0030000000	1.433	5.55153E-05	0.000166546
39	2.299	0.014	6.83	0.0030000000	1.433	2.0453E-05	6.1359E-05
40	2.414	0.014	7.00	0.0020000000	1.433	1.36353E-05	1.36353E-05
						jumlah	3.030463275

mean added wave resistance = 0.193192034

ADDED WAVE RESISTANCE SEA STATE 4

ADDED WAVE RESISTANCE SEA STATE 5

$$K = 2\pi/L_w$$

$$= 0.2901926$$

$$L_w$$

$$= 71 \text{ ft}$$

$$= 21.6408 \text{ m}$$

no	freq(rad/s)	$R_{AW}(\text{KN})$	W_e	Sz(w)	wave height (m)	$\Sigma z_{\text{tot}} R_{AW}$ / wave height	simpson multiplier
1	0.32	0	0.40	0.0000000000	3.2	0	1
2	0.371	0.029	0.57	0.0000000000	3.2	0	0
3	0.421	12.346	0.74	0.059000000000	3.2	0.07113448	3
4	0.468	79.194	0.91	0.330000000000	3.2	2.552150391	2
5	0.513	140.72	1.08	0.530000000000	3.2	7.283359375	3
6	0.561	140.239	1.25	0.542000000000	3.2	7.422806445	3
7	0.607	94.961	1.42	0.464000000000	3.2	4.302920313	2
8	0.652	50.149	1.59	0.369000000000	3.2	1.807127051	3
9	0.695	32.218	1.75	0.286000000000	3.2	0.899538672	3
10	0.736	26.135	1.92	0.221000000000	3.2	0.564045387	2
11	0.777	19.357	2.09	0.171000000000	3.2	0.323246777	3
12	0.816	14.659	2.26	0.134000000000	3.2	0.191826758	3
13	0.854	10.63	2.43	0.106000000000	3.2	0.110037109	2
14	0.892	7.494	2.60	0.084000000000	3.2	0.061474219	3
15	0.928	5.38	2.77	0.068000000000	3.2	0.035726563	3
16	0.964	4.155	2.94	0.056000000000	3.2	0.022722656	2
17	0.998	3.315	3.11	0.046000000000	3.2	0.014891602	3
18	1.033	2.595	3.28	0.038000000000	3.2	0.028829833	3
19	1.066	2.024	3.45	0.032000000000	3.2	0.0056325	2
20	1.099	1.586	3.62	0.027000000000	3.2	0.004181836	3
21	1.131	1.252	3.79	0.023000000000	3.2	0.002812109	3
22	1.162	1.008	3.95	0.020000000000	3.2	0.00196875	2
23	1.193	0.814	4.12	0.017000000000	3.2	0.001351367	3
24	1.224	0.66	4.29	0.015000000000	3.2	0.000966797	3
25	1.254	0.54	4.46	0.013000000000	3.2	0.000685547	2
26	1.284	0.444	4.63	0.011000000000	3.2	0.000476953	3
27	1.313	0.364	4.80	0.010000000000	3.2	0.000355469	3
28	1.341	0.301	4.97	0.009000000000	3.2	0.000264551	2
29	1.37	0.248	5.14	0.008000000000	3.2	0.00019375	3
30	1.398	0.204	5.31	0.007000000000	3.2	0.000139453	3
31	1.425	0.169	5.48	0.006000000000	3.2	9.90234E-05	2
32	1.452	0.141	5.65	0.005000000000	3.2	8.26172E-05	3
33	1.479	0.116	5.82	0.005000000000	3.2	5.66406E-05	3
34	1.636	0.097	5.99	0.005000000000	3.2	4.7633E-05	2
35	1.783	0.081	6.15	0.004000000000	3.2	3.16406E-05	3
36	1.922	0.067	6.32	0.004000000000	3.2	2.61719E-05	3
37	2.053	0.056	6.49	0.003000000000	3.2	1.64063E-05	2
38	2.179	0.048	6.66	0.003000000000	3.2	1.40625E-05	3
39	2.299	0.041	6.83	0.003000000000	3.2	1.20117E-05	3
40	2.414	0.024	7.00	0.003000000000	3.2	7.03125E-06	1
							jumlah
							68,51786123

mean added wave resistance =

4.431763553

ADDED WAVE RESISTANCE SEA STATE 6

no	freq(rad/s)	R_{AW} (kN)	w_c	$S_2(\omega_e)$	wave height (m)	$S_2(\omega_e)R_{AW}$ /wave height	simpson multiplier
1	0.32	0	0.40	0.0000000000	4.359	0	0
2	0.371	9,477	0.57	0.0570000000	4.359	0.028429682	3
3	0.421	163,334	0.74	0.7770000000	4,359	6,679191244	3
4	0.468	310,639	0.91	1,2940000000	4,359	21,15116991	2
5	0.513	317,554	1.08	1,1960000000	4,359	19,98826181	3
6	0.561	237,134	1.25	0,9170000000	4,359	11,44430503	3
7	0.607	136	1.42	0,6650000000	4,359	4,759779297	2
8	0.652	64,803	1.59	0,4770000000	4,359	1,626820935	3
9	0.695	38,92	1.75	0,3460000000	4,359	0,708720822	3
10	0.736	30,148	1.92	0,2550000000	4,359	0,404599134	2
11	0.777	21,61	2.09	0,1910000000	4,359	0,217227296	3
12	0.816	15,98	2.26	0,1460000000	4,359	0,122787991	3
13	0.854	11,381	2.43	0,1130000000	4,359	0,067683862	2
14	0.892	7,913	2.60	0,0890000000	4,359	0,037064439	3
15	0.928	5,619	2.77	0,0710000000	4,359	0,020996342	3
16	0.964	4,306	2.94	0,0580000000	4,359	0,013144022	2
17	0.998	3,409	3.11	0,0470000000	4,359	0,008432398	3
18	1,033	2,655	3.28	0,0390000000	4,359	0,005449484	3
19	1,066	2,061	3.45	0,0320000000	4,359	0,003470997	2
20	1,099	1,607	3.62	0,0270000000	4,359	0,002283526	3
21	1,131	1,265	3.79	0,0230000000	4,359	0,001531245	3
22	1,162	1,015	3.95	0,0200000000	4,359	0,001068372	2
23	1,193	818	4.12	0,0170000000	4,359	0,001731861	3
24	1,224	661	4.29	0,0150000000	4,359	0,000521818	3
25	1,254	541	4,46	0,0130000000	4,359	0,000370141	2
26	1,284	443	4,63	0,0110000000	4,359	0,000256462	3
27	1,313	364	4,80	0,0100000000	4,359	0,00019157	3
28	1,341	0,3	4,97	0,0090000000	4,359	0,000142099	2
29	1,37	0,247	5,14	0,0080000000	4,359	0,000103995	3
30	1,398	0,203	5,31	0,0070000000	4,359	7,4786E-05	3
31	1,425	0,168	5,48	0,0060000000	4,359	5,30502E-05	2
32	1,452	0,14	5,65	0,0060000000	4,359	4,42083E-05	3
33	1,479	0,116	5,82	0,0050000000	4,359	3,05249E-05	3
34	1,636	0,096	5,99	0,0050000000	4,359	2,5262E-05	2
35	1,783	0,08	6,15	0,0040000000	4,359	1,68413E-05	3
36	1,922	0,067	6,32	0,0040000000	4,359	1,41046E-05	3
37	2,053	0,056	6,49	0,0030000000	4,359	8,8417E-06	2
38	2,179	0,047	6,66	0,0030000000	4,359	7,42071E-06	3
39	2,299	0,04	6,83	0,0030000000	4,359	6,3155E-06	3
40	2,414	0,026	7,00	0,0030000000	4,359	4,10507E-06	1
						jumlah	175,4915405

mean added wave resistance = 11,18758571

ADDED WAVE RESISTANCE SEA STATE 2

$k = 2\pi/L_w$ = 0.2901926

L_w = 71 ft

L_w = 21.6408 m

no	R _{AW} (KN)	W _e	S _Z (w/e)	wave height (m)	S _Z (w/e) R _{AW} /wave height	simpson multiplier
1	0.32	0	0.40	0.0000000000	1,006	1
2	0.371	0	0.57	0.0000000000	0	0
3	0.421	0	0.74	0.0000000000	0	0
4	0.468	0	0.91	0.0000000000	0	0
5	0.513	0.002	1.08	0.0000000000	0	0
6	0.561	0.127	1.25	0.0000000000	0	0
7	0.607	0.885	1.42	0.0030000000	1,006	0.005246849
8	0.652	2.067	1.59	0.0090000000	1,006	0.055145272
9	0.695	3.041	1.75	0.0160000000	1,006	0.144232023
10	0.736	3.941	1.92	0.0230000000	1,006	0.179129991
11	0.777	4.274	2.09	0.0260000000	1,006	0.329407254
12	0.816	4.134	2.26	0.0270000000	1,006	0.330871629
13	0.854	3.787	2.43	0.0260000000	1,006	0.194582011
14	0.892	3.263	2.60	0.0250000000	1,006	0.24181452
15	0.928	2.643	2.77	0.0230000000	1,006	0.180198135
16	0.964	2.196	2.94	0.0200000000	1,006	0.086795331
17	0.998	1.842	3.11	0.0180000000	1,006	0.098285041
18	1.033	1.476	3.28	0.0160000000	1,006	0.070005415
19	1.066	1.174	3.45	0.0140000000	1,006	0.032481058
20	1.099	0.925	3.62	0.0120000000	1,006	0.032903968
21	1.131	0.723	3.79	0.0110000000	1,006	0.023575248
22	1.162	0.567	3.95	0.0100000000	1,006	0.005602567
23	1.193	0.44	4.12	0.0080000000	1,006	0.010434411
24	1.224	0.338	4.29	0.0070000000	1,006	0.007013384
25	1.254	0.273	4.46	0.0070000000	1,006	0.003776545
26	1.284	0.219	4.63	0.0060000000	1,006	0.003895118
27	1.313	0.175	4.80	0.0050000000	1,006	0.002593781
28	1.341	0.144	4.97	0.0050000000	1,006	0.000711437
29	1.37	0.12	5.14	0.0040000000	1,006	0.001422874
30	1.398	0.1	5.31	0.0040000000	1,006	0.000395243
31	1.425	0.082	5.48	0.0030000000	1,006	0.000243074
32	1.452	0.068	5.65	0.0030000000	1,006	0.000201574
33	1.479	0.055	5.82	0.0030000000	1,006	0.000163038
34	1.636	0.045	5.99	0.0030000000	1,006	0.000133394
35	1.783	0.036	6.15	0.0020000000	1,006	7.11437E-05
36	1.922	0.029	6.32	0.0020000000	1,006	5.73102E-05
37	2.053	0.023	6.49	0.0020000000	1,006	4.54529E-05
38	2.179	0.02	6.66	0.0020000000	1,006	3.95243E-05
39	2.299	0.016	6.83	0.0020000000	1,006	3.16194E-05
40	2.414	0.005	7.00	0.0010000000	1,006	2.94054E-06

mean added wave resistance = 0.130698032

ADDED WAVE RESISTANCE SEA STATE 3

$k = 2\pi/L_w$	= 0.2901926
L_w	= 71 ft
	= 21.6408 m

no	freq(rad/s)	$R_{AW}(\text{KN})$	w_θ	$S_2(\omega e) R_{AW}$	wave height (m)	$S_2(\omega e) R_{AW} / \text{wave height}$	Simpson multiplier
1	0.32	0	0.40	0.0000000000	1.433	0	1
2	0.371	0	0.57	0.0000000000	1.433	0	0
3	0.421	0	0.74	0.0000000000	1.433	0	0
4	0.468	0.032	0.91	0.0000000000	1.433	0	0
5	0.513	1.367	1.08	0.0050000000	1.433	0.009985444	3
6	0.561	7,616	1.25	0.0240000000	1.433	0.089011434	3
7	0.607	14,399	1.42	0.0490000000	1.433	0.343586452	2
8	0.652	15,202	1.59	0.0670000000	1.433	0.496001683	3
9	0.695	13,395	1.75	0.0730000000	1.433	0.476182244	3
10	0.736	12,268	1.92	0.0700000000	1.433	0.418195569	2
11	0.777	10,424	2.09	0.0630000000	1.433	0.319803028	3
12	0.816	8,449	2.26	0.0550000000	1.433	0.226295344	3
13	0.854	6,786	2.43	0.0470000000	1.433	0.155317121	2
14	0.892	5,289	2.60	0.0400000000	1.433	0.103024657	3
15	0.928	3,965	2.77	0.0340000000	1.433	0.065649244	3
16	0.964	3,097	2.94	0.0290000000	1.433	0.043736782	2
17	0.998	2,474	3.11	0.0240000000	1.433	0.028514691	3
18	1,033	1,905	3.28	0.0210000000	1.433	0.019481478	3
19	1,066	1,466	3.45	0.0170000000	1.433	0.012136418	2
20	1,099	1,124	3.62	0.0150000000	1.433	0.008210417	3
21	1,131	0,839	3.79	0.0130000000	1.433	0.005438062	3
22	1,162	0,661	3.95	0.0110000000	1.433	0.003540803	2
23	1,193	0,505	4.12	0.0100000000	1.433	0.002459229	3
24	1,224	0,382	4.29	0.0080000000	1.433	0.001488199	3
25	1,254	0,305	4.46	0.0070000000	1.433	0.001039694	2
26	1,284	0,242	4.63	0.0070000000	1.433	0.000824937	3
27	1,313	0,192	4.80	0.0060000000	1.433	0.000560996	3
28	1,341	0,157	4.97	0.0050000000	1.433	0.000382276	2
29	1,37	0,13	5.14	0.0050000000	1.433	0.000316534	3
30	1,398	0,107	5.31	0.0040000000	1.433	0.000208426	3
31	1,425	0,088	5.48	0.0040000000	1.433	0.000171416	2
32	1,452	0,072	5.65	0.0030000000	1.433	0.000105187	3
33	1,479	0,058	5.82	0.0030000000	1.433	8,47338E-05	3
34	1,636	0,047	5.99	0.0030000000	1.433	6,86636E-05	2
35	1,783	0,038	6.15	0.0020000000	1.433	3,70102E-05	3
36	1,922	0,03	6.32	0.0020000000	1.433	2,92186E-05	3
37	2,053	0,024	6.49	0.0020000000	1.433	2,33749E-05	2
38	2,179	0,02	6,66	0.0020000000	1.433	1,9479E-05	3
39	2,299	0,017	6,83	0.0020000000	1.433	1,65572E-05	3
40	2,414	0,006	7,00	0.0020000000	1.433	5,84371E-06	1

mean added wave resistance = 0.478053395
jumlah 7,49887679

ADDED WAVE RESISTANCE SEA STATE 4

no	freq(rad/s)	R_{AW} (KN)	W_e	$S_2(\omega_e)$	wave height(m)	$S_2(\omega_e)R_{AW}$ /wave height	simpson multiplier
1	0.322	0	0.40	0.0000000000	2,012	0	0
2	0.371	0	0.57	0.0000000000	2,012	0	0
3	0.421	0.093	0.74	0.0000000000	2,012	0	0
4	0.468	5,612	0.91	0.023000000000	2,012	0.031885229	2
5	0.513	28,796	1.08	0.1000000000	2,012	0.711338332	3
6	0.561	53,507	1.25	0.1670000000	2,012	2,20734959	3
7	0.607	54,367	1.42	0.1860000000	2,012	2,497999577	2
8	0.652	39,31	1.59	0.1730000000	2,012	1,679937759	3
9	0.695	27,123	1.75	0.1470000000	2,012	0.984915803	3
10	0.736	21,053	1.92	0.1200000000	2,012	0.62407859	2
11	0.777	15,926	2.09	0.0970000000	2,012	0.381612433	3
12	0.816	11,865	2.26	0.0780000000	2,012	0.228615879	3
13	0.854	8,95	2.43	0.0620000000	2,012	0.132075163	2
14	0.892	6,651	2.60	0.0500000000	2,012	0.082148758	3
15	0.928	4,804	2.77	0.0410000000	2,012	0.048655384	3
16	0.964	3,645	2.94	0.0340000000	2,012	0.03061403	2
17	0.998	2,843	3,11	0.0280000000	2,012	0.01966432	3
18	1,033	2,148	3,28	0.0230000000	2,012	0.012204111	3
19	1,066	1,628	3,45	0.0190000000	2,012	0.007641033	2
20	1,099	1,232	3,62	0.0160000000	2,012	0.004869392	3
21	1,131	0,932	3,79	0.0140000000	2,012	0.003223205	3
22	1,162	0,711	3,95	0.0120000000	2,012	0.002107633	2
23	1,193	0,539	4,12	0.0100000000	2,012	0.001331474	3
24	1,224	0,405	4,29	0.0090000000	2,012	0.000900413	3
25	1,254	0,321	4,46	0.0080000000	2,012	0.000634365	2
26	1,284	0,254	4,63	0.0070000000	2,012	0.000439214	3
27	1,313	0,2	4,80	0.0060000000	2,012	0.000296422	3
28	1,341	0,163	4,97	0.0050000000	2,012	0.000201327	2
29	1,37	0,134	5,14	0.0050000000	2,012	0.000165508	3
30	1,398	0,11	5,31	0.0040000000	2,012	0.000108692	3
31	1,425	0,09	5,48	0.0040000000	2,012	8,89296E-05	2
32	1,452	0,074	5,65	0.0030000000	2,012	5,48395E-05	3
33	1,479	0,06	5,82	0.0030000000	2,012	4,44648E-05	3
34	1,636	0,048	5,99	0.0030000000	2,012	3,55719E-05	2
35	1,783	0,039	6,15	0.0020000000	2,012	1,92681E-05	3
36	1,922	0,031	6,32	0.0020000000	2,012	1,53157E-05	3
37	2,053	0,025	6,49	0.0020000000	2,012	1,23513E-05	2
38	2,179	0,021	6,66	0.0020000000	2,012	1,03751E-05	3
39	2,299	0,017	6,83	0.0020000000	2,012	8,39891E-06	3
40	2,414	0,011	7,00	0.0020000000	2,012	5,43459E-06	1
						jumlah	25,76544109

mean added wave resistance = 1,642744494

ADDED WAVE RESISTANCE SEA STATES

$$k = 2\pi/L_w = 0.2901926$$

$$L_w = 71 \text{ ft}$$

$$= 21.6408 \text{ m}$$

no	freq(radi/s)	$R_{AW}(\text{kN})$	W_e	$S_2(w_e)$	wave height (m)	$S_2(w_e R_{AW}) / \text{wave height}$	simpson multiplier	0	1
1	0.32	0	0.40	0.0000000000	3.2			0.00024375	0
2	0.371	0.416	0.57	0.0020000000	3.2	0.0008125	3	0.00024375	3
3	0.421	41.576	0.74	0.1840000000	3.2	0.74706875	3	2.24120625	3
4	0.468	136.846	0.91	0.5580000000	3.2	7.457037891	2	14.91407578	2
5	0.513	189.148	1.08	0.6560000000	3.2	12.11729375	3	36.35188125	3
6	0.561	179.748	1.25	0.5600000000	3.2	9.82996875	3	29.488990625	3
7	0.607	125.005	1.42	0.4280000000	3.2	5.224818359	2	10.44963672	2
8	0.652	71.735	1.59	0.3150000000	3.2	2.206691895	3	6.620075684	3
9	0.695	42.629	1.75	0.2310000000	3.2	0.961650293	3	2.884950879	3
10	0.736	29.91	1.92	0.1710000000	3.2	0.4934736333	2	0.998947266	2
11	0.777	21.075	2.09	0.1280000000	3.2	0.2654375	3	0.7903125	3
12	0.816	14.913	2.26	0.0980000000	3.2	0.14272207	3	0.428166211	3
13	0.854	10.828	2.43	0.0760000000	3.2	0.080364063	2	0.160728125	2
14	0.892	7.816	2.60	0.0590000000	3.2	0.045033594	3	0.135100781	3
15	0.928	5.518	2.77	0.0470000000	3.2	0.025326758	3	0.075980273	3
16	0.964	4.116	2.94	0.0380000000	3.2	0.015274219	2	0.030548438	2
17	0.998	3.161	3.11	0.0310000000	3.2	0.009569434	3	0.028708301	3
18	1.033	2.364	3.28	0.0250000000	3.2	0.005771484	3	0.017314453	3
19	1.066	1.775	3.45	0.0210000000	3.2	0.003640137	2	0.007280273	2
20	1.099	1.332	3.62	0.0180000000	3.2	0.002341406	3	0.007024219	3
21	1.131	1	3.79	0.0150000000	3.2	0.001464844	3	0.004394531	3
22	1.162	0.758	3.95	0.0130000000	3.2	0.000962305	2	0.001924609	2
23	1.193	0.572	4.12	0.0110000000	3.2	0.000614453	3	0.001843359	3
24	1.224	0.428	4.29	0.0090000000	3.2	0.000376172	3	0.001128516	3
25	1.254	0.338	4.46	0.0080000000	3.2	0.00026463	2	0.000528125	2
26	1.284	0.267	4.63	0.0070000000	3.2	0.00018252	3	0.000547559	3
27	1.313	0.21	4.80	0.0060000000	3.2	0.000123047	3	0.000369141	3
28	1.341	0.171	4.97	0.0050000000	3.2	0.00010195	2	0.00020391	2
29	1.37	0.14	5.14	0.0050000000	3.2	6.83594E-05	3	5.44922E-05	3
30	1.398	0.115	5.31	0.0040000000	3.2	4.49219E-05	2	2.92969E-05	2
31	1.425	0.094	5.48	0.0040000000	3.2	3.67188E-05	2	7.34375E-05	2
32	1.452	0.076	5.65	0.0030000000	3.2	2.22656E-05	3	6.67969E-05	3
33	1.479	0.062	5.82	0.0030000000	3.2	1.81641E-05	3	5.44922E-05	3
34	1.636	0.05	5.99	0.0030000000	3.2	1.46484E-05	2	2.92969E-05	2
35	1.783	0.04	6.15	0.0030000000	3.2	1.17188E-05	3	3.51563E-05	3
36	1.922	0.032	6.32	0.0020000000	3.2	0.00006625	3	0.0001875	3
37	2.053	0.025	6.49	0.0020000000	3.2	4.88281E-06	2	9.75563E-06	2
38	2.179	0.021	6.66	0.0020000000	3.2	4.10156E-06	3	1.23047E-05	3
39	2.299	0.018	6.83	0.0020000000	3.2	3.51563E-06	3	1.05469E-05	3
40	2.414	0.001	7.00	0.0020000000	3.2	1.95313E-07	1	1.95313E-07	1
									Jumlah
									105.6436742

mean added wave resistance = 6.734784331

ADDED WAVE RESISTANCE SEA STATE 6

no	freq(rad/s)	R_{AW} (KN)	W_e	$S_2(\omega_e)$	wave height(m)	$S_2(\omega_e)R_{AW}$ /wave height	simpson multiplier
1	0.32	0.001	0.40	0.0000000000	4,359	0	0
2	0.371	38,221	0.57	0.2060000000	4,359	0.414376891	3
3	0.421	286,032	0.74	1,2690000000	4,359	19,10304096	3
4	0.468	368,562	0.91	1,50400000000	4,359	29,17323928	2
5	0.513	336,066	1.08	1,16500000000	4,359	20,60519667	3
6	0.561	258,187	1.25	0.80400000000	4,359	10,92488017	3
7	0.607	159,212	1.42	0.54500000000	4,359	4,566538778	2
8	0.652	84,913	1.59	0,37300000000	4,359	1,66688972	3
9	0.695	48,125	1.75	0,26100000000	4,359	0,661054874	3
10	0.736	32,704	1.92	0,18700000000	4,359	0,321861286	2
11	0.777	22,529	2.09	0,13700000000	4,359	0,162438445	3
12	0.816	15,685	2.26	0,10300000000	4,359	0,085025258	3
13	0.854	11,252	2.43	0,07900000000	4,359	0,046782462	2
14	0.892	8,049	2.60	0,06100000000	4,359	0,025840328	3
15	0.928	5,642	2.77	0,04800000000	4,359	0,014252813	3
16	0.964	4,18	2.94	0,03900000000	4,359	0,008579602	2
17	0.998	3,199	3.11	0,03100000000	4,359	0,005219179	3
18	1,033	2,381	3.28	0,02600000000	4,359	0,003258059	3
19	1,066	1,782	3.45	0,02100000000	4,359	0,001969488	2
20	1,099	1,335	3.62	0,01800000000	4,359	0,001264678	3
21	1,131	1,001	3.79	0,01500000000	4,359	0,000790227	3
22	1,162	0,757	3.95	0,01300000000	4,359	0,000517923	2
23	1,193	0,57	4.12	0,01100000000	4,359	0,000329935	3
24	1,224	0,426	4.29	0,00900000000	4,359	0,00020178	3
25	1,254	0,336	4.46	0,00800000000	4,359	0,000141467	2
26	1,284	0,265	4,63	0,00700000000	4,359	9,76271E-05	3
27	1,313	0,208	4,80	0,00600000000	4,359	6,56812E-05	3
28	1,341	0,169	4,97	0,00600000000	4,359	5,33659E-05	2
29	1,37	0,139	5,14	0,00500000000	4,359	3,65773E-05	3
30	1,398	0,114	5,31	0,00400000000	4,359	2,39989E-05	3
31	1,425	0,093	5,48	0,00400000000	4,359	1,95798E-05	2
32	1,452	0,076	5,65	0,00300000000	4,359	1,19994E-05	3
33	1,479	0,061	5,82	0,00300000000	4,359	9,63113E-06	3
34	1,636	0,05	5,99	0,00300000000	4,359	7,89437E-06	2
35	1,783	0,04	6,15	0,00300000000	4,359	6,3155E-06	3
36	1,922	0,032	6,32	0,00200000000	4,359	3,36826E-06	3
37	2,053	0,025	6,49	0,00200000000	4,359	2,63146E-06	2
38	2,179	0,021	6,66	0,00200000000	4,359	2,21042E-06	3
39	2,299	0,018	6,83	0,00200000000	4,359	1,89465E-06	3
40	2,414	0,01	7,00	0,00200000000	4,359	1,05258E-06	1
						jumlah	29,2626543

mean added wave resistance =

14,61549421

ADDED WAVE RESISTANCE SEA STATE 2

$$k = 2\pi/L_w = 0.291926$$

$$L_w = 71 \text{ ft}$$

$$= 21.6408 \text{ m}$$

no	freq(rad/s)	$R_{AW}(kN)$	ν_e	$S_z(\omega_e) R_{AW}$	wave height (m)	$S_z(\omega_e) R_{AW}$ / wave height	simpson multiplier
1	0.32	0	0.40	0.0000000000	1.006	0	1
2	0.371	0	0.57	0.0000000000	1.006	0	0
3	0.421	0.001	0.74	0.0000000000	1.006	0	0
4	0.468	1.328	0.91	0.0040000000	1.006	0.005248825	2
5	0.513	13.485	1.08	0.0330000000	1.006	0.439712619	3
6	0.561	27.93	1.25	0.0630000000	1.006	1.738663447	3
7	0.607	29.584	1.42	0.0660000000	1.006	1.929322672	2
8	0.652	22.41	1.59	0.0540000000	1.006	1.195747977	3
9	0.695	13.591	1.75	0.0410000000	1.006	0.550603831	3
10	0.736	8.615	1.92	0.0290000000	1.006	0.246863748	2
11	0.777	5.487	2.09	0.0210000000	1.006	0.113856622	3
12	0.816	3.495	2.26	0.0150000000	1.006	0.051801517	3
13	0.854	2.204	2.43	0.0110000000	1.006	0.02395567	2
14	0.892	1.346	2.60	0.0080000000	1.006	0.010639838	3
15	0.928	0.805	2.77	0.0060000000	1.006	0.004772557	3
16	0.964	0.517	2.94	0.0050000000	1.006	0.002554257	2
17	0.998	0.337	3.11	0.0030000000	1.006	0.000998976	3
18	1.033	0.234	3.28	0.0030000000	1.006	0.000693651	3
19	1.066	0.154	3.45	0.0020000000	1.006	0.000304337	2
20	1.099	0.099	3.62	0.0020000000	1.006	0.000195645	3
21	1.131	0.064	3.79	0.0010000000	1.006	6.32389E-05	3
22	1.162	0.047	3.95	0.0010000000	1.006	4.641E-05	2
23	1.193	0.034	4.12	0.0010000000	1.006	3.35956E-05	3
24	1.224	0.026	4.29	0.0010000000	1.006	2.56908E-05	3
25	1.254	0.039	4.46	0.0010000000	1.006	3.85362E-05	2
26	1.284	0.047	4.63	0.0000000000	1.006	0	0
27	1.313	0.052	4.80	0.0000000000	1.006	0	3
28	1.341	0.037	4.97	0.0000000000	1.006	0	2
29	1.37	0.023	5.14	0.0000000000	1.006	0	3
30	1.398	0.012	5.31	0.0000000000	1.006	0	3
31	1.425	0.007	5.48	0.0000000000	1.006	0	2
32	1.452	0.004	5.65	0.0000000000	1.006	0	3
33	1.479	0.002	5.82	0.0000000000	1.006	0	3
34	1.636	0.001	5.99	0.0000000000	1.006	0	2
35	1.783	0.001	6.15	0.0000000000	1.006	0	3
36	1.922	0.001	6.32	0.0000000000	1.006	0	3
37	2.053	0.001	6.49	0.0000000000	1.006	0	2
38	2.179	0.004	6.66	0.0000000000	1.006	0	3
39	2.299	0.006	6.83	0.0000000000	1.006	0	3
40	2.414	0.002	7.00	0.0000000000	1.006	0	0

mean added wave resistance = 1,007181196

16,74009719

ADDED WAVE RESISTANCE SEA STATE 3

$$k = 2\pi/L_w = 0.2901926$$

$$L_w = 71 \text{ ft}$$

$$= 21.6408 \text{ m}$$

no	freq(rad/s)	$R_{A\eta}(KN)$	ψ_e	$S_2(\omega_e)$	wave height (m)	$S_2(\omega_e)R_{A\eta} / \text{wave height}$	simpson multiplier
1	0.32	0	0.40	0.0000000000	1,433	0	1
2	0.371	0	0.57	0.0000000000	1,433	0	3
3	0.421	0.895	0.74	0.0050000000	1,433	0.002179218	3
4	0.468	29.52	0.91	0.0850000000	1,433	1.221920351	2
5	0.513	64.384	1.08	0.1590000000	1,433	4.985201284	3
6	0.561	66.684	1.25	0.1490000000	1,433	4.838553311	3
7	0.607	49.831	1.42	0.1110000000	1,433	2,693581996	2
8	0.652	31.187	1.59	0.0760000000	1,433	1,154236521	3
9	0.695	16.918	1.75	0.0510000000	1,433	0.420171718	3
10	0.736	10.013	1.92	0.0340000000	1,433	0.165787107	2
11	0.777	6.102	2.09	0.0230000000	1,433	0.068345143	3
12	0.816	3.775	2.26	0.0160000000	1,433	0.0294133355	3
13	0.854	2.334	2.43	0.0120000000	1,433	0.013639226	2
14	0.892	1.404	2.60	0.0080000000	1,433	0.005469715	3
15	0.928	0.831	2.77	0.0060000000	1,433	0.002428063	3
16	0.964	0.53	2.94	0.0050000000	1,433	0.001290487	2
17	0.998	0.343	3.11	0.0040000000	1,433	0.000668131	3
18	1.033	0.237	3.28	0.0030000000	1,433	0.00034624	3
19	1.066	0.156	3.45	0.0020000000	1,433	0.000151937	2
20	1.099	0.1	3.62	0.0020000000	1,433	9.73952E-05	3
21	1.131	0.064	3.79	0.0010000000	1,433	3.11665E-05	3
22	1.162	0.047	3.95	0.0010000000	1,433	2.28879E-05	2
23	1.193	0.034	4.12	0.0010000000	1,433	1.65572E-05	3
24	1.224	0.026	4.29	0.0010000000	1,433	1.26614E-05	3
25	1.254	0.039	4.46	0.0010000000	1,433	1.89921E-05	2
26	1.284	0.047	4.63	0.0000000000	1,433	0	3
27	1.313	0.052	4.80	0.0000000000	1,433	0	3
28	1.341	0.037	4.97	0.0000000000	1,433	0	2
29	1.37	0.023	5.14	0.0000000000	1,433	0	3
30	1.398	0.012	5.31	0.0000000000	1,433	0	3
31	1.425	0.007	5.48	0.0000000000	1,433	0	2
32	1.452	0.004	5.65	0.0000000000	1,433	0	3
33	1.479	0.002	5.82	0.0000000000	1,433	0	3
34	1.636	0.001	5.99	0.0000000000	1,433	0	2
35	1.783	0.001	6.15	0.0000000000	1,433	0	3
36	1.922	0.001	6.32	0.0000000000	1,433	0	3
37	2.053	0.001	6.49	0.0000000000	1,433	0	2
38	2.179	0.004	6.66	0.0000000000	1,433	0	3
39	2.299	0.006	6.83	0.0000000000	1,433	0	3
40	2.414	0.005	7.00	0.0000000000	1,433	0	1

jumlah 42,7143374
mean added wave resistance = 2,723039009

ADDED WAVE RESISTANCE SEA STATE 4

no	freq(rad/s)	R_{aw} (kN)	W_e	$Sz(\omega_e)$	wave height (m)	$Sz(\omega_e)R_{aw}$ /wave height	simpson multiplier	
1	0.32	0	0.40	0.0000000000	2,012	0	1	0
2	0.371	0.234	0.57	0.0010000000	2,012	5,78043E-05	3	0,000173413
3	0.421	26,202	0.74	0.1490000000	2,012	0,96441678	3	2,893350339
4	0.468	129,337	0.91	0.3710000000	2,012	11,85333995	2	23,7066799
5	0.513	135,486	1.08	0.3340000000	2,012	11,17833614	3	33,53560842
6	0.561	100,839	1.25	0.2260000000	2,012	5,629645092	3	16,88893528
7	0.607	63,808	1.42	0.1420000000	2,012	2,238244489	2	4,476488979
8	0.652	36,461	1.59	0.0880000000	2,012	0,795602239	3	2,377806718
9	0.695	18,757	1.75	0.0560000000	2,012	0,259474959	3	0,778424878
10	0.736	10,743	1.92	0.0370000000	2,012	0,0981909924	2	0,196381848
11	0.777	6,414	2.09	0.0250000000	2,012	0,029610745	3	0,118832235
12	0.816	3,91	2.26	0.0170000000	2,012	0,01641987	3	0,04959611
13	0.854	2,394	2.43	0.0120000000	2,012	0,007096585	2	0,014193171
14	0.892	1,43	2.60	0.0090000000	2,012	0,003179235	3	0,009337704
15	0.928	0,843	2.77	0.0060000000	2,012	0,001249461	3	0,003748384
16	0.964	0,535	2.94	0.0050000000	2,012	0,000660797	2	0,001321593
17	0.998	0,346	3.11	0.0040000000	2,012	0,000341885	3	0,001025655
18	1,033	0,238	3.28	0.0030000000	2,012	0,000176377	3	0,000329131
19	1,066	0,156	3.45	0.0020000000	2,012	7,70724E-05	2	0,000154145
20	1,099	0,1	3,62	0.0020000000	2,012	4,94054E-05	3	0,000148216
21	1,131	0,064	3,79	0,0010000000	2,012	1,58097E-05	3	4,74291E-05
22	1,162	0,047	3,95	0,0010000000	2,012	1,16103E-05	2	2,32205E-05
23	1,193	0,034	4,12	0,0010000000	2,012	8,39891E-06	3	5,1967E-05
24	1,224	0,026	4,29	0,0010000000	2,012	6,4227E-06	3	1,92681E-05
25	1,254	0,039	4,46	0,0010000000	2,012	9,63404E-06	2	1,92681E-05
26	1,284	0,047	4,63	0,0000000000	2,012	0	3	0
27	1,313	0,052	4,80	0,0000000000	2,012	0	3	0
28	1,341	0,037	4,97	0,0000000000	2,012	0	2	0
29	1,37	0,023	5,14	0,0000000000	2,012	0	3	0
30	1,398	0,012	5,31	0,0000000000	2,012	0	3	0
31	1,425	0,007	5,48	0,0000000000	2,012	0	2	0
32	1,452	0,004	5,65	0,0000000000	2,012	0	3	0
33	1,479	0,002	5,82	0,0000000000	2,012	0	3	0
34	1,636	0,001	5,99	0,0000000000	2,012	0	2	0
35	1,783	0,001	6,15	0,0000000000	2,012	0	3	0
36	1,922	0,001	6,32	0,0000000000	2,012	0	3	0
37	2,053	0,001	6,49	0,0000000000	2,012	0	2	0
38	2,179	0,004	6,66	0,0000000000	2,012	0	3	0
39	2,299	0,006	6,83	0,0000000000	2,012	0	3	0
40	2,414	0,005	7,00	0,0000000000	2,012	0	1	0
							jumlah	85,052634

mean added wave resistance =

5,422105417

ADDED WAVE RESISTANCE SEA STATES

$$k = 2\pi/L_w = 0.2901926$$

$$L_w = 71 \text{ ft}$$

$$= 21.6408 \text{ m}$$

no	freq(rad/s)	$R_{AW}(\text{kN})$	W_e	$S_2(w_e)$	wave height (m)	$S_2(w_e R_{AW}) / \text{wave height}$	simpson multiplier	
1	0.32	0.002	0.40	0.00000000000	3.2	0	1	0
2	0.371	80,599	0.57	0.34200000000	3.2	2,69975166	3	8,09925498
3	0.421	210,335	0.74	1,19800000000	3.2	24,6280229	3	73,88427686
4	0.468	325,647	0.91	0.93800000000	3.2	29,73436963	2	59,46873926
5	0.513	218,006	1.08	0.53800000000	3.2	1,45383086	3	34,36149258
6	0.561	132,613	1.25	0.29700000000	3.2	3,84629502	3	11,53888506
7	0.607	75,814	1.42	0.16800000000	3.2	1,243823438	2	2,487646875
8	0.652	41	1.59	0.09900000000	3.2	0.396386719	3	1,189160156
9	0.695	20,408	1.75	0.06100000000	3.2	0.121571094	3	0.364713381
10	0.736	11,46	1.92	0.03900000000	3.2	0.043646484	2	0.087292969
11	0.777	6,75	2,09	0.02600000000	3.2	0.017138672	3	0.051416016
12	0.816	4,082	2,26	0.01800000000	3.2	0.007175391	3	0.021526172
13	0.854	2,484	2,43	0.01200000000	3.2	0.002910938	2	0.005821875
14	0.892	1,478	2,60	0.00900000000	3.2	0.001299023	3	0.00389707
15	0.928	0,888	2,77	0.00600000000	3.2	0.000508594	3	0.001525781
16	0.964	0,55	2,94	0.00500000000	3.2	0.000263555	2	0.000537109
17	0.998	0,355	3,11	0.00400000000	3.2	0.000138672	3	0.000416016
18	1,033	0,244	3,28	0.00300000000	3.2	7,1484E-05	3	0,000214453
19	1,066	0,16	3,45	0.00200000000	3.2	0,00003125	2	0,0000625
20	1,099	0,103	3,62	0.00200000000	3.2	2,01172E-05	3	6,03516E-05
21	1,131	0,066	3,79	0.00100000000	3.2	6,44531E-06	3	1,93359E-05
22	1,162	0,048	3,95	0.00100000000	3.2	4,6875E-06	2	0,000009375
23	1,193	0,035	4,12	0.00100000000	3.2	3,41797E-06	3	1,02539E-05
24	1,224	0,026	4,29	0.00100000000	3.2	2,53906E-06	3	7,61719E-06
25	1,254	0,04	4,46	0.00100000000	3.2	3,90625E-06	2	7,8125E-06
26	1,284	0,048	4,63	0.00000000000	3.2	0	3	0
27	1,313	0,053	4,80	0.00000000000	3.2	0	3	0
28	1,341	0,038	4,97	0.00000000000	3.2	0	2	0
29	1,37	0,023	5,14	0.00000000000	3.2	0	3	0
30	1,398	0,013	5,31	0.00000000000	3.2	0	3	0
31	1,425	0,007	5,48	0.00000000000	3.2	0	2	0
32	1,452	0,004	5,65	0.00000000000	3.2	0	3	0
33	1,479	0,002	5,82	0.00000000000	3.2	0	2	0
34	1,636	0,001	5,99	0.00000000000	3.2	0	3	0
35	1,783	0,001	6,15	0.00000000000	3.2	0	3	0
36	1,922	0,001	6,32	0.00000000000	3.2	0	3	0
37	2,053	0,001	6,49	0.00000000000	3.2	0	2	0
38	2,179	0,004	6,66	0.00000000000	3.2	0	3	0
39	2,299	0,006	6,83	0.00000000000	3.2	0	3	0
40	2,414	0,001	7,00	0.00000000000	3.2	0	1	0
							Jumlah	191,5669938

mean added wave resistance = 12,21239585

ADDED WAVE RESISTANCE SEA STATE 6

no	freq(rad/s)	R_{AW} (KN)	W_e	$S_2(\omega_e)$	wave height(m)	$S_2(\omega_e)R_{AW}$ /wave height	simpson multiplier
1	0.32	2,985	0.40	0.01900000000	4,359	0.002984862	1
2	0.371	506,225	0.57	2,15400000000	4,359	57,38726799	3
3	0.421	398,253	0.74	2,27000000000	4,359	47,57854702	3
4	0.468	306,875	0.91	1,22600000000	4,359	19,80059504	2
5	0.513	247,949	1.08	0,61200000000	4,359	7,986197432	3
6	0.561	141,48	1.25	0,31700000000	4,359	2,360372659	3
7	0.607	78,329	1,42	0,17400000000	4,359	0,717295477	2
8	0.652	41,59	1,59	0,10100000000	4,359	0,221073433	3
9	0.695	20,503	1,75	0,06100000000	4,359	0,065822359	3
10	0.736	11,439	1,92	0,03900000000	4,359	0,023478964	2
11	0.777	6,711	2,09	0,02600000000	4,359	0,027549144	3
12	0.816	4,046	2,26	0,01700000000	4,359	0,003619937	3
13	0.854	2,458	2,43	0,01200000000	4,359	0,001552349	2
14	0.892	1,461	2,60	0,00900000000	4,359	0,000692021	3
15	0.928	0,857	2,77	0,00600000000	4,359	0,000270619	3
16	0.964	0,543	2,94	0,00500000000	4,359	0,000142888	2
17	0.998	0,349	3,11	0,00400000000	4,359	7,34703E-05	3
18	1,033	0,241	3,28	0,00300000000	4,359	3,80509E-05	3
19	1,066	0,158	3,45	0,00200000000	4,359	1,66308E-05	2
20	1,099	0,101	3,62	0,00200000000	4,359	1,06311E-05	3
21	1,131	0,065	3,79	0,00100000000	4,359	3,42089E-06	3
22	1,162	0,047	3,95	0,00100000000	4,359	2,47357E-06	2
23	1,193	0,034	4,12	0,00100000000	4,359	1,78939E-06	3
24	1,224	0,026	4,29	0,00100000000	4,359	1,368336E-06	3
25	1,254	0,039	4,46	0,00100000000	4,359	2,05254E-06	2
26	1,284	0,048	4,63	0,00000000000	4,359	0	0
27	1,313	0,052	4,80	0,00000000000	4,359	0	3
28	1,341	0,037	4,97	0,00000000000	4,359	0	2
29	1,37	0,023	5,14	0,00000000000	4,359	0	0
30	1,398	0,012	5,31	0,00000000000	4,359	0	0
31	1,425	0,007	5,48	0,00000000000	4,359	0	2
32	1,452	0,004	5,65	0,00000000000	4,359	0	0
33	1,479	0,002	5,82	0,00000000000	4,359	0	3
34	1,636	0,001	5,99	0,00000000000	4,359	0	2
35	1,783	0,001	6,15	0,00000000000	4,359	0	0
36	1,922	0,001	6,32	0,00000000000	4,359	0	3
37	2,053	0	6,49	0,00000000000	4,359	0	2
38	2,179	0	6,66	0,00000000000	4,359	0	0
39	2,299	0	6,83	0,00000000000	4,359	0	0
40	2,414	0	7,00	0,00000000000	4,359	0	1
						jumlah	387,928625

mean added wave resistance = 24,73045351

LAMPIRAN E

**ADDED WAVE RESISTANCE MENGGUNAKAN METODE
GERRITSMA & BEUKELMAN**

ADDED WAVE RESISTANCE SEA STATE 2

$$k = 2\pi/L_w = 0.2901926$$

$$L_w = 71 \text{ ft}$$

$$= 21.6408 \text{ m}$$

no	freq (rad/s)	$R_{Aw}(\text{KN})$	W_e	$S_z(\omega_e)$	wave height (m)	$S_z(\omega_e R_{Aw})/\text{wave height}$	simpson multiplier
1	0.32	0	0.40	0.0000000000	1.006	0	1
2	0.371	0	0.57	0.0000000000	1.006	0	0
3	0.421	0	0.74	0.0000000000	1.006	0	0
4	0.468	0	0.91	0.0000000000	1.006	0	0
5	0.513	0	1.08	0.001000000000	1.006	0	0
6	0.561	0.007	1.25	0.006000000000	1.006	4.15005E-05	0.000124501
7	0.607	0.17	1.42	0.020000000000	1.006	0.003359564	0.006719129
8	0.652	0.4265	1.59	0.038000000000	1.006	0.016014252	0.048042757
9	0.695	1.0225	1.75	0.051000000000	1.006	0.051527317	0.154581952
10	0.736	1.889	1.92	0.058000000000	1.006	0.108258995	0.216517989
11	0.777	2.9525	2.09	0.059000000000	1.006	0.172125794	0.516377382
12	0.816	3.83	2.26	0.056000000000	1.006	0.2119292	0.63578766
13	0.854	4.245	2.43	0.052000000000	1.006	0.218114771	0.436229541
14	0.892	4.219	2.60	0.046000000000	1.006	0.191765906	0.575297717
15	0.928	3.935	2.77	0.041000000000	1.006	0.159416266	0.478248797
16	0.964	3.5895	2.94	0.036000000000	1.006	0.127685181	0.255370362
17	0.998	3.2545	3.11	0.031000000000	1.006	0.099689636	0.290068907
18	1.033	2.853	3.28	0.027000000000	1.006	0.076114831	0.228344644
19	1.066	2.428	3.45	0.024000000000	1.006	0.057578979	0.115157953
20	1.099	2.044	3.62	0.021000000000	1.006	0.042413511	0.1277240533
21	1.131	1.704	3.79	0.018000000000	1.006	0.030307222	0.090921667
22	1.162	1.4075	3.95	0.016000000000	1.006	0.022252173	0.044504346
23	1.193	1.1525	4.12	0.014000000000	1.006	0.015943109	0.047829226
24	1.224	0.9365	4.29	0.012000000000	1.006	0.011104348	0.033313044
25	1.254	0.7775	4.46	0.011000000000	1.006	0.008450786	0.016901573
26	1.284	0.642	4.63	0.010000000000	1.006	0.006343648	0.019030944
27	1.313	0.527	4.80	0.009000000000	1.006	0.004686592	0.014059777
28	1.341	0.426	4.97	0.008000000000	1.006	0.003674659	0.006734938
29	1.37	0.3395	5.14	0.007000000000	1.006	0.003348237	0.00704471
30	1.398	0.2665	5.31	0.006000000000	1.006	0.001579983	0.00473995
31	1.425	0.2045	5.48	0.006000000000	1.006	0.001212407	0.002424815
32	1.452	0.1515	5.65	0.005000000000	1.006	0.000748491	0.002245473
33	1.479	0.1065	5.82	0.005000000000	1.006	0.000526167	0.001578501
34	1.636	0.0725	5.99	0.004000000000	1.006	0.000286551	0.000573102
35	1.783	0	6.15	0.004000000000	1.006	0	0
36	1.922	0	6.32	0.004000000000	1.006	0	0
37	2.053	0	6.49	0.003000000000	1.006	0	0
38	2.179	0	6.66	0.003000000000	1.006	0	0
39	2.299	0	6.83	0.003000000000	1.006	0	0
40	2.414	0	7.00	0.003000000000	1.006	0	0

mean added wave resistance = 0.279544515

4,385011996

ADDED WAVE RESISTANCE SEA STATE 3
 $k = 2\pi/L_w$ = 0.2901926
 L_w = 71 ft
 $= 21.6408 \text{ m}$

no	freq(rad/s)	$R_A(\text{kN})$	W_e	$S_d(w_e)$	wave height (m)	$S_d(w_e) R_{AW}$	wave height	Simpson multiplier
1	0.32	0	0.40	0.0000000000	1.433	0	1	0
2	0.371	0	0.57	0.0000000000	1.433	0	3	0
3	0.421	0	0.74	0.0000000000	1.433	0	3	0
4	0.468	0.001	0.91	0.0000000000	1.433	0	2	0
5	0.513	0.143	1.08	0.0010000000	1.433	6.96376E-05	3	0.000208913
6	0.561	1.2285	1.25	0.0060000000	1.433	0.0035859501	3	0.010768302
7	0.607	4.919	1.42	0.0200000000	1.433	0.047908706	2	0.095817411
8	0.652	7.106	1.59	0.0380000000	1.433	0.131497174	3	0.394491522
9	0.695	9.369	1.75	0.0510000000	1.433	0.232686418	3	0.698059254
10	0.736	10.509	1.92	0.0580000000	1.433	0.296822627	2	0.593645254
11	0.777	11.52	2.09	0.0590000000	1.433	0.330987894	3	0.992963683
12	0.816	11.5265	2.26	0.0560000000	1.433	0.314335261	3	0.943005782
13	0.854	10.5125	2.43	0.0520000000	1.433	0.266205468	2	0.532410936
14	0.892	8.9955	2.60	0.0460000000	1.433	0.201507288	3	0.604521865
15	0.928	7.4635	2.77	0.0410000000	1.433	0.149016381	3	0.447049144
16	0.964	6.204	2.94	0.0360000000	1.433	0.108763183	2	0.217526366
17	0.998	5.2185	3.11	0.0310000000	1.433	0.078779823	3	0.236339469
18	1.033	4.303	3.28	0.0270000000	1.433	0.056577367	3	0.1697321
19	1.066	3.482	3.45	0.0240000000	1.433	0.040695616	2	0.081391132
20	1.099	2.81	3.62	0.0210000000	1.433	0.028736458	3	0.086209373
21	1.131	2.261	3.79	0.0180000000	1.433	0.019818952	3	0.059456856
22	1.162	1.8115	3.95	0.0160000000	1.433	0.014114514	2	0.028229029
23	1.193	1.446	4.12	0.0140000000	1.433	0.009858344	3	0.029575031
24	1.224	1.1495	4.29	0.0120000000	1.433	0.006717348	3	0.020152044
25	1.254	0.936	4.46	0.0110000000	1.433	0.005013906	2	0.0100227811
26	1.284	0.76	4.63	0.0100000000	1.433	0.003701018	3	0.011103054
27	1.313	0.615	4.80	0.0090000000	1.433	0.002685413	3	0.008086238
28	1.341	0.4905	4.97	0.0080000000	1.433	0.001910894	2	0.003821788
29	1.37	0.3865	5.14	0.0070000000	1.433	0.001317514	3	0.003952541
30	1.398	0.3005	5.31	0.0060000000	1.433	0.000878018	3	0.002634054
31	1.425	0.228	5.48	0.0060000000	1.433	0.000666183	2	0.001332367
32	1.452	0.1675	5.65	0.0050000000	1.433	0.000407842	3	0.001223527
33	1.479	0.117	5.82	0.0050000000	1.433	0.000284881	3	0.000854643
34	1.536	0.0795	5.99	0.0040000000	1.433	0.000154958	2	0.000309717
35	1.783	0	6.15	0.0040000000	1.433	0	3	0
36	1.922	0	6.32	0.0040000000	1.433	0	3	0
37	2.053	0	6.49	0.0030000000	1.433	0	2	0
38	2.179	0	6.66	0.0030000000	1.433	0	3	0
39	2.299	0	6.83	0.0030000000	1.433	0	3	0
40	2.414	0	7.00	0.0030000000	1.433	0	1	0
jumlah								6.284899505

mean added wave resistance = 0.400662343

ADDED WAVE RESISTANCE SEA STATE 4

no	freq(rad/s)	R_{AW} (kN)	W_e	$Sz(\omega_e)$	wave height (m)	$Sz(\omega_e)R_{AW}$ /wave height	simpson multiplier	
1	0.32	0	0.40	0.0000000000	2,012	0	1	0
2	0.371	0	0.57	0.0000000000	2,012	0	3	0
3	0.421	0,002	0.74	0.0000000000	2,012	0	3	0
4	0.468	0,772	0.91	0.004000000000	2,012	0.000762819	2	0,001525637
5	0,513	10,254	1,08	0.038000000000	2,012	0.096254431	3	0,288763443
6	0,561	28,084	1,25	0.096000000000	2,012	0.666000024	3	1,998000071
7	0,607	47,6896	1,42	0,139000000000	2,012	1,637504595	2	3,275009189
8	0,652	46,2063	1,59	0,153000000000	2,012	1,746371646	3	5,239114938
9	0,695	37,7153	1,75	0,147000000000	2,012	1,369553331	3	4,108599993
10	0,736	33,3354	1,92	0,131000000000	2,012	1,078750509	2	2,157501018
11	0,777	30,8532	2,09	0,113000000000	2,012	0,861237051	3	2,58371153
12	0,816	27,2734	2,26	0,095000000000	2,012	0,640039732	3	1,920119195
13	0,854	22,6646	2,43	0,080000000000	2,012	0,447901063	2	0,895802126
14	0,892	18,0572	2,60	0,066000000000	2,012	0,294400397	3	0,88320119
15	0,928	14,1694	2,77	0,055000000000	2,012	0,192512173	3	0,57753652
16	0,964	11,2665	2,94	0,046000000000	2,012	0,128023855	2	0,25604771
17	0,998	9,1441	3,11	0,039000000000	2,012	0,088094668	3	0,264284003
18	1,033	7,3227	3,28	0,033000000000	2,012	0,0596938	3	0,179081401
19	1,066	5,7841	3,45	0,028000000000	2,012	0,040007174	2	0,080014347
20	1,099	4,5752	3,62	0,024000000000	2,012	0,027124727	3	0,08137418
21	1,131	3,619	3,79	0,021000000000	2,012	0,018773789	3	0,056321366
22	1,162	2,8588	3,95	0,018000000000	2,012	0,012711603	2	0,025423206
23	1,193	2,254	4,12	0,016000000000	2,012	0,008908774	3	0,026726322
24	1,224	1,7738	4,29	0,014000000000	2,012	0,006134466	3	0,018403397
25	1,254	1,4301	4,46	0,012000000000	2,012	0,004239276	2	0,008478552
26	1,284	1,1522	4,63	0,011000000000	2,012	0,003130867	3	0,009392601
27	1,313	0,9254	4,80	0,009000000000	2,012	0,002057387	3	0,006172162
28	1,341	0,7336	4,97	0,008000000000	2,012	0,001449751	2	0,002899502
29	1,37	0	5,14	0,007000000000	2,012	0	3	0
30	1,398	0	5,31	0,007000000000	2,012	0	3	0
31	1,425	0	5,48	0,006000000000	2,012	0	2	0
32	1,452	0	5,65	0,005000000000	2,012	0	3	0
33	1,479	0	5,82	0,005000000000	2,012	0	3	0
34	1,636	0	5,99	0,004000000000	2,012	0	2	0
35	1,783	0	6,15	0,004000000000	2,012	0	3	0
36	1,922	0	6,32	0,004000000000	2,012	0	3	0
37	2,053	0	6,49	0,003000000000	2,012	0	2	0
38	2,179	0	6,66	0,003000000000	2,012	0	3	0
39	2,299	0	6,83	0,003000000000	2,012	0	3	0
40	2,414	0	7,00	0,003000000000	2,012	0	1	0
							jumlah	24,94356322

mean added wave resistance =

1,590152155

ADDED WAVE RESISTANCE SEA STATE 5
 $k = 2\pi/L_w$
 $L_w = 21,6408 \text{ m}$
 $= 71 \text{ ft}$

no	freq(rad/s)	R _{Aw} (kN)	w _e	S ₂ (wave)	wave height (m)	S ₂ (wave) R _{Aw} / wave height	simpson multiplier	1	0
1	0,32	0	0,40	0,0000000000	3,2			3	0
2	0,371	0,016	0,57	0,0000000000	3,2	0		3	0
3	0,421	8,457	0,74	0,058000000000	3,2	0,047900977		3	0,14370293
4	0,468	62,093	0,91	0,329000000000	3,2	1,994980176		2	3,989960352
5	0,513	143,823	1,08	0,530000000000	3,2	7,443963867		3	22,3318916
6	0,561	226,112	1,25	0,542000000000	3,2	11,9680375		3	35,9041125
7	0,607	227,168	1,42	0,464000000000	3,2	10,239355		2	20,3871
8	0,652	159,044	1,59	0,370000000000	3,2	5,746707031		3	17,24012109
9	0,695	104,934	1,75	0,287000000000	3,2	2,941021289		3	8,823063867
10	0,736	80,168	1,92	0,221000000000	3,2	1,730188281		2	3,460376563
11	0,777	66,902	2,09	0,171000000000	3,2	1,117211133		3	3,351633398
12	0,816	54,822	2,26	0,134000000000	3,2	0,717397266		3	2,152191797
13	0,854	43,037	2,43	0,106000000000	3,2	0,445500195		2	0,891000391
14	0,892	32,824	2,60	0,084000000000	3,2	0,269259975		3	0,807778125
15	0,928	24,891	2,77	0,068000000000	3,2	0,165291797		3	0,495875391
16	0,964	19,27	2,94	0,056000000000	3,2	0,105382813		2	0,210765625
17	0,998	15,295	3,11	0,046000000000	3,2	0,068780808		3	0,206124023
18	1,033	12,093	3,28	0,038000000000	3,2	0,044653711		3	0,133961133
19	1,066	9,363	3,45	0,032000000000	3,2	0,029259375		2	0,05851875
20	1,099	7,32	3,62	0,027000000000	3,2	0,019300781		3	0,057902344
21	1,131	5,729	3,79	0,023000000000	3,2	0,012867871		3	0,038603613
22	1,162	4,489	3,95	0,020000000000	3,2	0,008767578		2	0,017535156
23	1,193	3,51	4,12	0,017000000000	3,2	0,005827148		3	0,017481445
24	1,224	2,749	4,29	0,015000000000	3,2	0,004026855		3	0,012080566
25	1,254	2,201	4,46	0,013000000000	3,2	0,002794238		2	0,005538477
26	1,284	1,765	4,63	0,011000000000	3,2	0,001895996		3	0,005687988
27	1,313	1,41	4,80	0,010000000000	3,2	0,001376953		3	0,004130859
28	1,341	1,115	4,97	0,009000000000	3,2	0,00097938		2	0,001959961
29	1,37	0,871	5,14	0,008000000000	3,2	0,000680469		3	0,002041406
30	1,398	0,671	5,31	0,007000000000	3,2	0,000498691		3	0,001376074
31	1,425	0,506	5,48	0,006000000000	3,2	0,000296484		2	0,000592969
32	1,452	0,37	5,65	0,006000000000	3,2	0,000216797		3	0,000650391
33	1,479	0,257	5,82	0,005000000000	3,2	0,000125488		3	0,000371645
34	1,636	0,173	5,99	0,005000000000	3,2	8,44727E-05		2	0,000168945
35	1,783	0,115	6,15	0,004000000000	3,2	4,49219E-05		3	0,000134766
36	1,922	0,068	6,32	0,004000000000	3,2	2,65625E-05		3	7,96875E-05
37	2,053	0,033	6,49	0,003000000000	3,2	9,66797E-06		2	1,93359E-05
38	2,179	0,02	6,66	0,003000000000	3,2	5,85938E-06		3	1,75781E-05
39	2,299	0,009	6,83	0,003000000000	3,2	2,63672E-06		3	7,91016E-06
40	2,414	0,001	7,00	0,003000000000	3,2	2,92969E-07		1	2,92969E-07
						jumlah			120,9546138

mean added wave resistance = 7,710856628

ADDED WAVE RESISTANCE SEA STATE 6

ADDED WAVE RESISTANCE SEA STATE 2

$$k = 2\pi/L_w = 0.2901926$$

$$L_w = 71 \text{ ft}$$

$$= 21.6408 \text{ m}$$

no	freq(rad/s)	$R_{AW}(kN)$	w_e	$S_z(w_e)$	wave height (m)	$S_z(w_e) R_{AW}$	/wave height	simpson multiplier
1	0.32	0	0.40	0.0000000000	1.006	0	0	0
2	0.371	0	0.57	0.0000000000	1.006	0	3	0
3	0.421	0	0.74	0.0000000000	1.006	0	3	0
4	0.468	0	0.91	0.0000000000	1.006	0	2	0
5	0.513	0.003	1.08	0.0000000000	1.006	0	3	0
6	0.561	0.252	1.25	0.0000000000	1.006	0	0	0.00961033
7	0.607	1.621	1.42	0.0030000000	1.006	0.004805165	2	0.106795608
8	0.652	4.003	1.59	0.0090000000	1.006	0.035598536	3	0.317443253
9	0.695	6.693	1.75	0.0160000000	1.006	0.105814418	3	0.447802252
10	0.736	9.852	1.92	0.0230000000	1.006	0.223901126	2	1.040014387
11	0.777	13.494	2.09	0.0260000000	1.006	0.346671462	3	1.041197151
12	0.816	13.009	2.26	0.0270000000	1.006	0.347065717	3	0.555640313
13	0.854	10.814	2.43	0.0260000000	1.006	0.277820517	2	0.682757333
14	0.892	9.213	2.60	0.0250000000	1.006	0.227585778	3	0.574411385
15	0.928	8.425	2.77	0.0230000000	1.006	0.191470462	3	0.286037256
16	0.964	7.237	2.94	0.0200000000	1.006	0.143018528	2	0.330177978
17	0.998	6.188	3.11	0.0180000000	1.006	0.110059326	3	0.091594568
18	1.033	5.252	3.28	0.0160000000	1.006	0.083032619	3	0.044899589
19	1.066	4.284	3.45	0.0140000000	1.006	0.059262714	2	0.118525428
20	1.099	3.475	3.62	0.0120000000	1.006	0.041204068	3	0.123612204
21	1.131	2.809	3.79	0.0110000000	1.006	0.030531523	3	0.091394568
22	1.162	2.272	3.95	0.0100000000	1.006	0.022449794	2	0.043397666
23	1.193	1.833	4.12	0.0080000000	1.006	0.014465889	3	0.050461367
24	1.224	1.468	4.29	0.0070000000	1.006	0.010153789	3	0.016448031
25	1.254	1.189	4.46	0.0070000000	1.006	0.008224016	2	0.017056705
26	1.284	0.959	4.63	0.0065000000	1.006	0.005685568	3	0.011397816
27	1.313	0.769	4.80	0.0055000000	1.006	0.003799272	3	0.006095621
28	1.341	0.617	4.97	0.0050000000	1.006	0.003048311	2	0.005833785
29	1.37	0.492	5.14	0.0040000000	1.006	0.001944959	3	0.004600627
30	1.398	0.388	5.31	0.0040000000	1.006	0.001533542	3	0.001814165
31	1.425	0.306	5.48	0.0030000000	1.006	0.000907082	2	0.002143204
32	1.452	0.241	5.65	0.0030000000	1.006	0.00071401	3	0.001654091
33	1.479	0.186	5.82	0.0030000000	1.006	0.000551364	3	0.000847796
34	1.636	0.143	5.99	0.0030000000	1.006	0.000423898	2	0.000652151
35	1.783	0.11	6.15	0.0020000000	1.006	0.000217384	3	0.00048022
36	1.922	0.081	6.32	0.0020000000	1.006	0.00016073	3	0.000233193
37	2.053	0.059	6.49	0.0020000000	1.006	0.000116597	2	0.000243074
38	2.179	0.041	6.66	0.0020000000	1.006	8.10248E-05	3	0.000154145
39	2.299	0.026	6.83	0.0020000000	1.006	5.13816E-05	3	5.92864E-06
40	2.414	0.006	7.00	0.0010000000	1.006	5.92864E-06	1	6.153127477

mean added wave resistance = 0.392900014

ADDED WAVE RESISTANCE SEA STATE 3

$$k = 2\pi/L_w = 0.2901926$$

$$L_w = 71 \text{ ft}$$

$$= 21.6408 \text{ m}$$

no	freq(rad/s)	R _A (KN)	W _e	S ₂ (we)	wave height (m)	S ₂ (we) R _{A/w} /wave height	simpson multiplier
1	0,32	0	0,40	0,00000000000	1,433	0	1
2	0,371	0	0,57	0,00000000000	1,433	0	0
3	0,421	0	0,74	0,00000000000	1,433	0	0
4	0,468	0,027	0,91	0,00000000000	1,433	0	0
5	0,513	1,462	1,08	0,00500000000	1,433	0,003559795	3
6	0,561	15,039	1,25	0,02400000000	1,433	0,175767194	3
7	0,607	42,651	1,42	0,04900000000	1,433	0,017730799	2
8	0,652	44,159	1,59	0,06700000000	1,433	1,440793206	3
9	0,695	34,48	1,75	0,07300000000	1,433	1,25738244	3
10	0,736	28,668	1,92	0,07000000000	1,433	0,977244095	2
11	0,777	24,915	2,09	0,06300000000	1,433	0,764379551	3
12	0,816	22,59	2,26	0,05500000000	1,433	0,605033416	3
13	0,854	19,379	2,43	0,04700000000	1,433	0,443544134	2
14	0,892	16,558	2,60	0,04000000000	1,433	0,32253399	3
15	0,928	14,137	2,77	0,03400000000	1,433	0,24068943	3
16	0,964	10,774	2,94	0,02900000000	1,433	0,152153725	2
17	0,998	8,311	3,11	0,02400000000	1,433	0,097134195	3
18	1,033	6,778	3,28	0,02100000000	1,433	0,0693152	3
19	1,066	5,351	3,45	0,01800000000	1,433	0,046904561	2
20	1,099	4,224	3,62	0,01500000000	1,433	0,030854804	3
21	1,131	3,338	3,79	0,01300000000	1,433	0,02113184	3
22	1,162	2,648	3,95	0,01100000000	1,433	0,014184639	2
23	1,193	2,099	4,12	0,01000000000	1,433	0,010221628	3
24	1,224	1,559	4,29	0,00800000000	1,433	0,006463146	3
25	1,254	1,329	4,46	0,00700000000	1,433	0,004530338	2
26	1,284	1,061	4,63	0,00700000000	1,433	0,003616771	3
27	1,313	0,842	4,80	0,00600000000	1,433	0,002460203	3
28	1,341	0,571	4,97	0,00500000000	1,433	0,001633805	2
29	1,37	0,531	5,14	0,00500000000	1,433	0,001292921	3
30	1,398	0,416	5,31	0,00400000000	1,433	0,000810328	3
31	1,425	0,327	5,48	0,00400000000	1,433	0,000636965	2
32	1,452	0,256	5,65	0,00300000000	1,433	0,000373998	3
33	1,479	0,197	5,82	0,00300000000	1,433	0,000287803	3
34	1,636	0,15	5,99	0,00300000000	1,433	0,000219139	2
35	1,783	0,115	6,15	0,00200000000	1,433	0,000112004	3
36	1,922	0,085	6,32	0,00200000000	1,433	8,27859E-05	3
37	2,053	0,061	6,49	0,00200000000	1,433	5,94111E-05	2
38	2,179	0,043	6,66	0,00200000000	1,433	4,18799E-05	3
39	2,299	0,027	6,83	0,00200000000	1,433	2,62967E-05	3
40	2,414	0,007	7,00	0,00200000000	1,433	6,81766E-06	1

mean added wave resistance =

1,298333805

jumlah

20,36602047

ADDED WAVE RESISTANCE SEA STATE 4

no	freq(rad/s)	R_{AW} (kN)	w_e	$S_2(we)$	wave height (m)	$S_2(we) R_{AW} / \text{wave height}$	simpson multiplier
1	0.32	0	0.40	0.0000000000	2.012	0	1
2	0.371	0	0.57	0.0000000000	2.012	0	3
3	0.421	0.074	0.74	0.0000000000	2.012	0	3
4	0.468	4.732	0.91	0.0280000000	2.012	0.026885407	2
5	0.513	30.808	1.08	0.0900000000	2.012	0.75342972	3
6	0.561	105.662	1.25	0.1660000000	2.012	4.332823141	3
7	0.607	161.042	1.42	0.1860000000	2.012	7.39393895	2
8	0.652	114.192	1.59	0.1730000000	2.012	4.880067507	3
9	0.695	59.693	1.75	0.1470000000	2.012	2.167628177	3
10	0.736	50.629	1.92	0.1200000000	2.012	1.50080295	2
11	0.777	40.284	2.09	0.0970000000	2.012	0.965269022	3
12	0.816	32.34	2.26	0.0780000000	2.012	0.623130007	3
13	0.854	25.557	2.43	0.0630000000	2.012	0.397735604	2
14	0.892	20.819	2.60	0.0510000000	2.012	0.26228383	3
15	0.928	17.129	2.77	0.0410000000	2.012	0.17348194	3
16	0.964	12.678	2.94	0.0340000000	2.012	0.10648139	2
17	0.998	9.553	3.11	0.0280000000	2.012	0.0665075713	3
18	1.033	7.644	3.28	0.0230000000	2.012	0.043430273	3
19	1.066	5.942	3.45	0.0190000000	2.012	0.02788833	2
20	1.099	4.63	3.62	0.0160000000	2.012	0.018296744	3
21	1.131	3.619	3.79	0.0140000000	2.012	0.012515859	3
22	1.162	2.846	3.95	0.0120000000	2.012	0.008436459	2
23	1.193	2.239	4.12	0.0100000000	2.012	0.00533093	3
24	1.224	1.758	4.29	0.0080000000	2.012	0.003908458	3
25	1.254	1.4	4.46	0.0060000000	2.012	0.0027667	2
26	1.284	1.112	4.63	0.0070000000	2.012	0.00192856	3
27	1.313	0.879	4.80	0.0060000000	2.012	0.001302819	3
28	1.341	0.697	4.97	0.0050000000	2.012	0.000860888	2
29	1.37	0.55	5.14	0.0050000000	2.012	0.000675324	3
30	1.398	0.43	5.31	0.0040000000	2.012	0.000424886	3
31	1.425	0.337	5.48	0.0040000000	2.012	0.000332992	2
32	1.452	0.263	5.65	0.0030000000	2.012	0.000196904	3
33	1.479	0.202	5.82	0.0030000000	2.012	0.000146598	3
34	1.636	0.154	5.99	0.0030000000	2.012	0.000114126	2
35	1.783	0.117	6.15	0.0020000000	2.012	5.78043E-05	3
36	1.922	0.087	6.32	0.0020000000	2.012	4.2987E-05	3
37	2.053	0.062	6.49	0.0020000000	2.012	3.06313E-05	2
38	2.179	0.043	6.66	0.0020000000	2.012	2.12443E-05	3
39	2.299	0.028	6.83	0.0020000000	2.012	1.38335E-05	3
40	2.414	0.012	7.00	0.0020000000	2.012	5.92864E-06	1
						jumlah	61,88153781
						mean added wave resistance =	3,944948035

ADDED WAVE RESISTANCE SEA STATE 5

$$k = 2\pi/L_w = 0.2901926$$

$$L_w = 71 \text{ ft} = 21.6408 \text{ m}$$

no	freq(rad/s)	$R_{AW}(kN)$	w_e	$S_2(w_e)$	wave height (m)	$S_2(w_e) R_{AW}$	wave height	simpson multiplier	
								0	1
1	0.32	0	0.40	0.0000000000	3.2	0.0195E-05	0	3	0.000150586
2	0.371	0.257	0.57	0.0020000000	3.2	0.588063281	3	3	1.764189844
3	0.421	32.727	0.74	0.1840000000	3.2	6.276802539	2	2	12.55360508
4	0.468	115.394	0.91	0.5570000000	3.2	12.9430557	3	3	38.332922871
5	0.513	202.366	1.08	0.6550000000	3.2	19.4160156	3	3	58.23480469
6	0.561	354.955	1.25	0.5600000000	3.2	15.47646328	2	2	30.95292656
7	0.607	370.278	1.42	0.4280000000	3.2	6.410280762	3	3	19.23084229
8	0.652	208.385	1.59	0.3150000000	3.2	2.116464924	3	3	6.349409473
9	0.695	93.821	1.75	0.2310000000	3.2	1.248567188	2	2	2.497134375
10	0.736	74.768	1.92	0.1710000000	3.2	0.831775	3	3	2.495325
11	0.777	66.542	2.09	0.1280000000	3.2	0.449163477	3	3	1.34749043
12	0.816	46.333	2.26	0.0980000000	3.2	0.229484375	2	2	0.45896875
13	0.854	30.92	2.43	0.0760000000	3.2	0.14094826	3	3	0.422846777
14	0.892	24.463	2.60	0.0590000000	3.2	0.090305176	3	3	0.270915527
15	0.928	19.675	2.77	0.0470000000	3.2	0.053140525	2	2	0.10628125
16	0.964	14.32	2.94	0.0380000000	3.2	0.032204883	3	3	0.096614648
17	0.998	10.638	3.11	0.0310000000	3.2	0.020532227	3	3	0.06159668
18	1.033	8.41	3.28	0.0250000000	3.2	0.01327809	2	2	0.026557617
19	1.066	6.475	3.45	0.0210000000	3.2	0.008796094	3	3	0.026388281
20	1.099	5.004	3.62	0.0180000000	3.2	0.005689453	3	3	0.017068359
21	1.131	3.884	3.79	0.0150000000	3.2	0.00385566	2	2	0.00771133
22	1.162	3.037	3.95	0.0130000000	3.2	0.002552344	3	3	0.007657031
23	1.193	2.376	4.12	0.0110000000	3.2	0.001633887	3	3	0.00490166
24	1.224	1.859	4.29	0.0090000000	3.2	0.001515163	2	2	0.002303125
25	1.254	1.474	4.46	0.0080000000	3.2	0.000798438	3	3	0.002395313
26	1.284	1.168	4.63	0.0070000000	3.2	0.000539648	3	3	0.001618945
27	1.313	0.921	4.80	0.0060000000	3.2	0.000427148	2	2	0.000839555
28	1.341	0.729	4.97	0.0050000000	3.2	0.000279785	3	3	0.000523828
29	1.37	0.573	5.14	0.0040000000	3.2	0.000174609	3	3	0.000106348
30	1.398	0.447	5.31	0.0030000000	3.2	0.000136719	2	2	5.27344E-05
31	1.425	0.35	5.48	0.0020000000	3.2	7.99805E-05	3	3	0.000295941
32	1.452	0.273	5.65	0.0010000000	3.2	6.12305E-05	3	3	0.000183691
33	1.479	0.209	5.82	0.0030000000	3.2	4.6582E-05	2	2	2.63672E-05
34	1.636	0.159	5.99	0.0030000000	3.2	5.66406E-06	3	3	1.69922E-05
35	1.783	0.121	6.15	0.0030000000	3.2	3.90625E-07	1	1	3.90625E-07
36	1.922	0.09	6.32	0.0020000000	3.2	1.75781E-05	3	3	175.7758677
37	2.053	0.064	6.49	0.0020000000	3.2	0.0000125	2	2	0.000025
38	2.179	0.045	6.66	0.0020000000	3.2	8.78906E-06	3	3	
39	2.299	0.029	6.83	0.0020000000	3.2		3	3	
40	2.414	0.002	7.00	0.0020000000	3.2		1	1	
									jumlah

mean added wave resistance = 11.20571156

ADDED WAVE RESISTANCE SEA STATE 6

mean added wave resistance =

115,43713359

ADDED WAVE RESISTANCE SEA STATE 2

$$k = 2\pi/L_w = 0.2901926$$

$$L_w = 71 \text{ ft}$$

$$= 21.6408 \text{ m}$$

no	freq(rad/s)	$R_{AW}(kN)$	w_e	$S_z(w_e)$	wave height (m)	$S_z(w_e) R_{AW}$	wave height	simpson multiplier
1	0.32	0	0.40	0.0000000000	1.006	0	0	0
2	0.371	0	0.57	0.0000000000	1.006	0	0	0
3	0.421	0.002	0.74	0.0000000000	1.006	0	0	0
4	0.468	2.378	0.91	0.0040000000	1.006	0.009393875	2	0.01879775
5	0.513	36.195	1.08	0.0330000000	1.006	1.180229755	3	3.540669264
6	0.561	79.915	1.25	0.0630000000	1.006	4.974768684	3	14.92430605
7	0.607	81.732	1.42	0.0660000000	1.006	5.330158216	2	10.66031643
8	0.652	54.578	1.59	0.0540000000	1.006	2.912161227	3	8.736483382
9	0.695	23.418	1.75	0.0410000000	1.006	2.948719216	3	2.846157647
10	0.736	14.72	1.92	0.0290000000	1.006	0.421803177	2	0.8433606354
11	0.777	10.02	2.09	0.0210000000	1.006	0.207917505	3	0.623752515
12	0.816	6.441	2.26	0.0150000000	1.006	0.095465972	3	0.286357915
13	0.854	4.637	2.43	0.0110000000	1.006	0.050400381	2	0.100800762
14	0.892	2.859	2.60	0.0080000000	1.006	0.022599987	3	0.06779996
15	0.928	1.846	2.77	0.0060000000	1.006	0.010944275	3	0.032832824
16	0.964	1.241	2.94	0.0050000000	1.006	0.006131205	2	0.01226241
17	0.998	0.824	3.11	0.0030000000	1.006	0.002442601	3	0.007327803
18	1.033	0.58	3.28	0.0030000000	1.006	0.001719306	3	0.005157919
19	1.066	0.4	3.45	0.0020000000	1.006	0.000790486	2	0.001580971
20	1.099	0.273	3.62	0.0020000000	1.006	0.000539506	3	0.0016168519
21	1.131	0.186	3.79	0.0010000000	1.006	0.000183788	3	0.000551364
22	1.162	0.127	3.95	0.0010000000	1.006	0.00012549	2	0.000250979
23	1.193	0.085	4.12	0.0010000000	1.006	8.39891E-05	3	0.000251967
24	1.224	0.055	4.29	0.0010000000	1.006	5.43459E-05	3	0.000163038
25	1.254	0.038	4.46	0.0010000000	1.006	3.75481E-05	2	7.50961E-05
26	1.284	0.026	4.63	0.0000000000	1.006	0	3	0
27	1.313	0.017	4.80	0.0000000000	1.006	0	3	0
28	1.341	0.01	4.97	0.0000000000	1.006	0	2	0
29	1.37	0.005	5.14	0.0000000000	1.006	0	3	0
30	1.388	0.001	5.31	0.0000000000	1.006	0	3	0
31	1.425	0	5.48	0.0000000000	1.006	0	2	0
32	1.452	0	5.65	0.0000000000	1.006	0	3	0
33	1.479	0	5.82	0.0000000000	1.006	0	3	0
34	1.636	0	5.99	0.0000000000	1.006	0	2	0
35	1.783	0	6.15	0.0000000000	1.006	0	3	0
36	1.922	0	6.32	0.0000000000	1.006	0	3	0
37	2.053	0	6.49	0.0000000000	1.006	0	2	0
38	2.179	0	6.66	0.0000000000	1.006	0	3	0
39	2.299	0	6.83	0.0000000000	1.006	0	3	0
40	2.414	0	7.00	0.0000000000	1.006	0	1	0
								42.7118122
								2.722337803

mean added wave resistance =

ADDED WAVE RESISTANCE SEA STATE 3

$$k = 2\pi/L_w = 0.2901926$$

$$L_w = 71 \text{ ft}$$

$$= 21.608 \text{ m}$$

no	$R_{AW}(\text{KN})$	W_e	$S_z(\omega e)$	wave height (m)	$S_z(\omega e) R_{AW}$ / wave height	simpson multiplier
1	0	0.40	0.0000000000	1.433	0	0
2	0.32	0.57	0.0000000000	1.433	0	0
3	0.371	0.74	0.0050000000	1.433	0.005213079	3
4	0.421					0.015639236
4	0.468	0.91	0.0850000000	1.433	2.187956602	2
5	0.513	1.08	0.1590000000	1.433	13.38100375	3
6	0.561	1.25	0.1490000000	1.433	13.84455773	3
7	0.607	1.42	0.1110000000	1.433	7.44160743	2
8	0.652	1.59	0.0760000000	1.433	2.811145324	3
9	0.695	29.151	1.75	0.0510000000	1.433	0.723987808
10	0.736	17.108	1.92	0.0340000000	1.433	0.283260344
11	0.777	11.142	2.09	0.0230000000	1.433	0.124795409
12	0.816	6.955	2.26	0.0160000000	1.433	0.054190697
13	0.854	4.91	2.43	0.0120000000	1.433	0.02869263
14	0.892	2.983	2.60	0.0080000000	1.433	0.011621197
15	0.928	1.906	2.77	0.0060000000	1.433	0.005569058
16	0.964	1.272	2.94	0.0050000000	1.433	0.003097168
17	0.998	0.84	3.11	0.0040000000	1.433	0.00163624
18	1.033	0.588	3.28	0.0030000000	1.433	0.008559026
19	1.066	0.404	3.45	0.0020000000	1.433	0.000393477
20	1.099	0.276	3.62	0.0020000000	1.433	0.000268811
21	1.131	0.187	3.79	0.0010000000	1.433	9.10645E-05
22	1.162	0.128	3.95	0.0010000000	1.433	6.23329E-05
23	1.193	0.085	4.12	0.0010000000	1.433	4.1393E-05
24	1.224	0.055	4.29	0.0010000000	1.433	2.67837E-05
25	1.254	0.038	4.46	0.0010000000	1.433	1.85051E-05
26	1.284	0.026	4.63	0.0000000000	1.433	0
27	1.313	0.017	4.80	0.0000000000	1.433	0
28	1.341	0.01	4.97	0.0000000000	1.433	0
29	1.37	0.005	5.14	0.0000000000	1.433	0
30	1.398	0	5.31	0.0000000000	1.433	0
31	1.425	0	5.48	0.0000000000	1.433	0
32	1.452	0	5.65	0.0000000000	1.433	0
33	1.479	0	5.82	0.0000000000	1.433	0
34	1.636	0	5.99	0.0000000000	1.433	0
35	1.783	0	6.15	0.0000000000	1.433	0
36	1.922	0	6.32	0.0000000000	1.433	0
37	2.053	0	6.49	0.0000000000	1.433	0
38	2.179	0	6.66	0.0000000000	1.433	0
39	2.299	0	6.83	0.0000000000	1.433	0
40	2.414	0	7.00	0.0000000000	1.433	0

mean added wave resistance = 7,190044965
jumlah

112,7850191

ADDED WAVE RESISTANCE SEA STATE 4

ADDED WAVE RESISTANCE SEA STATE 4							
no	freq(rad/s)	$R_{AW}(\text{KN})$	W_e	$S_2(\omega e)$	wave height (m)	$S_2(\omega e)R_{AW}$ /wave height	simpson multiplier
1	0.32	0	0.40	0.0000000000	2,012	0	0
2	0.371	0.258	0.57	0.0010000000	2,012	6,37329E-05	0.000191199
3	0.421	62,645	0.74	0.1490000000	2,012	2,305773955	6,917321864
4	0.468	231,574	0.91	0.3710000000	2,012	21,2230479	42,14609579
5	0.513	363,665	1.08	0.3340000000	2,012	30,00488366	90,01466598
6	0.561	288,534	1.25	0.2260000000	2,012	16,1082916	48,32487481
7	0.607	176,283	1.42	0.1420000000	2,012	6,18362044	12,36724089
8	0.652	88,802	1.59	0.0880000000	2,012	1,93040959	5,791228771
9	0.695	32,318	1.75	0.0560000000	2,012	0,447071053	1,341213158
10	0.736	18,356	1.92	0.0370000000	2,012	0,167773576	2,035547352
11	0.777	11,708	2.09	0.0250000000	2,012	0,07230474	3,021691422
12	0.816	7,205	2.26	0.0170000000	2,012	0,030257076	3,090771228
13	0.854	5,023	2.43	0.0120000000	2,012	0,014889787	2,029779573
14	0.892	3,038	2.60	0.0090000000	2,012	0,006754206	3,020262619
15	0.928	1,934	2.77	0.0060000000	2,012	0,002866499	3,008399496
16	0.964	1,285	2.94	0.0050000000	2,012	0,001587147	2,003174294
17	0.998	0,846	3.11	0.0040000000	2,012	0,000832939	3,002507816
18	1.033	0,591	3.28	0.0030000000	2,012	0,000437978	3,001313935
19	1.066	0,406	3.45	0.0020000000	2,012	0,000200286	2,0000401171
20	1.099	0,276	3.62	0.0020000000	2,012	0,000136359	3,0000490076
21	1.131	0,187	3.79	0.0010000000	2,012	4,6194E-05	3,000138382
22	1.162	0,128	3.95	0.0010000000	2,012	3,16194E-05	2,632389E-05
23	1.193	0,085	4,12	0.0010000000	2,012	2,09973E-05	3,29918E-05
24	1.224	0,055	4,29	0.0010000000	2,012	1,35865E-05	4,07594E-05
25	1.254	0,038	4,46	0.0010000000	2,012	9,38702E-06	2,18774E-05
26	1.284	0,026	4,63	0.0000000000	2,012	0	0
27	1.313	0,017	4,80	0.0000000000	2,012	0	3
28	1.341	0,01	4,97	0.0000000000	2,012	0	2
29	1,37	0,005	5,14	0.0000000000	2,012	0	3
30	1,398	0,001	5,31	0.0000000000	2,012	0	3
31	1,425	0	5,48	0.0000000000	2,012	0	2
32	1,452	0	5,65	0.0000000000	2,012	0	3
33	1,479	0	5,82	0.0000000000	2,012	0	3
34	1,636	0	5,99	0.0000000000	2,012	0	2
35	1,783	0	6,15	0.0000000000	2,012	0	3
36	1,922	0	6,32	0.0000000000	2,012	0	3
37	2,053	0	6,49	0.0000000000	2,012	0	2
38	2,179	0	6,66	0.0000000000	2,012	0	3
39	2,299	0	6,83	0.0000000000	2,012	0	3
40	2,414	0	7,00	0.0000000000	2,012	0	1
						Jumlah	207,9128376

ADDED WAVE RESISTANCE SEA STATE 5
 $k = 2\pi/L_w$ = 0.2901926
 L_w = 71 ft
 $= 21.6408 \text{ m}$

no	freq(rad/s)	$R_{AW}(\text{kN})$	w_e	$S_z(w_e)$	wave height (m)	$S_z(w_e) R_{AW}$ /wave height	simpson multiplier	
1	0.32	0.001	0.40	0.0000000000	3.2	0	1	0
2	0.371	88,607	0.57	0.3430000000	3.2	2,967988379	3	8,903965137
3	0.421	502,882	0.74	1,1990000000	3.2	58,9823748	3	176,6471244
4	0.468	583,064	0.91	0.9350000000	3.2	53,23875391	2	106,4775078
5	0.513	585,157	1.08	0.5380000000	3.2	30,7436002	3	92,2308059
6	0.561	379,448	1.25	0.2970000000	3.2	11,00547422	3	33,01642266
7	0.607	209,458	1.42	0.1680000000	3.2	3,436420313	2	6,872840625
8	0.652	99,919	1.59	0.0990000000	3.2	0.96601377	3	2,880841309
9	0.695	35,183	1.75	0.0630000000	3.2	0,20585623	3	0,628758691
10	0.736	19,581	1.92	0,0390000000	3.2	0,074576074	2	0,149152148
11	0.777	12,324	2.09	0,0260000000	3.2	0,031291406	3	0,093874219
12	0.816	7,521	2.26	0,0180000000	3.2	0,013220508	3	0,039661523
13	0.854	5,226	2.43	0,0120000000	3.2	0,006124219	2	0,012248438
14	0.892	3,14	2.60	0,0090000000	3.2	0,002759766	3	0,008279297
15	0.928	1,992	2.77	0,0060000000	3.2	0,001167188	3	0,003501563
16	0.964	1,32	2.94	0,0050000000	3.2	0,000644531	2	0,001289063
17	0.998	0,868	3.11	0,0040000000	3.2	0,000339663	3	0,00101017188
18	1,033	0,606	3.28	0,0030000000	3.2	0,000177539	3	0,000532617
19	1,066	0,415	3.45	0,0020000000	3.2	8,10547E-05	2	0,000162109
20	1,099	0,283	3.62	0,0020000000	3.2	5,52734E-05	3	0,00016582
21	1,131	0,192	3.79	0,0010000000	3.2	0,000001875	3	0,00005625
22	1,162	0,131	3.95	0,0010000000	3.2	1,2793E-05	2	2,55859E-05
23	1,193	0,087	4.12	0,0010000000	3.2	8,49609E-06	3	2,54883E-05
24	1,224	0,056	4,29	0,0010000000	3.2	5,46875E-06	3	1,64063E-05
25	1,254	0,039	4,46	0,0010000000	3.2	3,80839E-06	2	7,61719E-06
26	1,284	0,027	4,63	0,0000000000	3.2	0	3	0
27	1,313	0,017	4,80	0,0000000000	3.2	0	3	0
28	1,341	0,01	4,97	0,0000000000	3.2	0	2	0
29	1,37	0,005	5,14	0,0000000000	3.2	0	3	0
30	1,398	0,001	5,31	0,0000000000	3.2	0	3	0
31	1,425	0	5,48	0,0000000000	3.2	0	2	0
32	1,452	0	5,65	0,0000000000	3.2	0	3	0
33	1,479	0	5,82	0,0000000000	3.2	0	3	0
34	1,636	0	5,99	0,0000000000	3.2	0	2	0
35	1,783	0	6,15	0,0000000000	3.2	0	3	0
36	1,922	0	6,32	0,0000000000	3.2	0	3	0
37	2,053	0	6,49	0,0000000000	3.2	0	2	0
38	2,179	0	6,66	0,0000000000	3.2	0	3	0
39	2,299	0	6,83	0,0000000000	3.2	0	3	0
40	2,414	0	7,00	0,0000000000	3.2	0	1	0
							jumlah	427,9854766

mean added wave resistance =

27,28407413

ADDED WAVE RESISTANCE SEA STATE 6

no	freq(rad/s)	R_{AW} (kN)	W_e	$S_2(\omega_e)$	wave height(m)	$S_2(\omega_e)R_{AW}$ /wave height	simpson multiplier
1	0.32	1,445	0.40	0.01900000000	4,359	0.001444933	1
2	0.371	556,523	0.57	2,15400000000	4,359	63,08920844	3
3	0.421	952,168	0.74	2,27000000000	4,359	113,7537444	3
4	0.468	764,308	0.91	1,22600000000	4,359	49,31569268	2
5	0.513	665,52	1.08	0,61200000000	4,359	21,43575533	3
6	0.561	404,822	1.25	0,31700000000	4,359	6,75382231	3
7	0.607	216,415	1.42	0,17400000000	4,359	1,981813896	2
8	0.652	101,292	1.59	0,10100000000	4,359	0,538421982	3
9	0.695	35,327	1.75	0,06100000000	4,359	0,113413004	3
10	0.736	19,544	1.92	0,03900000000	4,359	0,0040114772	2
11	0,777	12,252	2,09	0,02600000000	4,359	0,016765117	3
12	0,816	7,456	2,26	0,01700000000	4,359	0,006670849	3
13	0,854	5,171	2,43	0,01200000000	4,359	0,003265743	2
14	0,892	3,104	2,60	0,00900000000	4,359	0,001470248	3
15	0,928	1,966	2,77	0,00600000000	4,359	0,000620813	3
16	0,964	1,303	2,94	0,00500000000	4,359	0,000342879	2
17	0,998	0,856	3,11	0,00400000000	4,359	0,000180202	3
18	1,033	0,597	3,28	0,00300000000	4,359	9,42588E-05	3
19	1,066	0,409	3,45	0,00200000000	4,359	4,30506E-05	2
20	1,099	0,279	3,62	0,00200000000	4,359	2,93671E-05	3
21	1,131	0,189	3,79	0,00100000000	4,359	9,94691E-06	3
22	1,162	0,129	3,95	0,00100000000	4,359	6,78916E-06	2
23	1,193	0,086	4,12	0,00100000000	4,359	4,52616E-06	3
24	1,224	0,055	4,29	0,00100000000	4,359	2,8946E-06	3
25	1,254	0,039	4,46	0,00100000000	4,359	2,05254E-06	2
26	1,284	0,026	4,63	0,00000000000	4,359	0	3
27	1,313	0,017	4,80	0,00000000000	4,359	0	3
28	1,341	0,01	4,97	0,00000000000	4,359	0	2
29	1,37	0,005	5,14	0,00000000000	4,359	0	0
30	1,398	0,001	5,31	0,00000000000	4,359	0	0
31	1,425	0	5,48	0,00000000000	4,359	0	2
32	1,452	0	5,65	0,00000000000	4,359	0	0
33	1,479	0	5,82	0,00000000000	4,359	0	3
34	1,636	0	5,99	0,00000000000	4,359	0	2
35	1,783	0	6,15	0,00000000000	4,359	0	3
36	1,922	0	6,32	0,00000000000	4,359	0	3
37	2,053	0	6,49	0,00000000000	4,359	0	2
38	2,179	0	6,66	0,00000000000	4,359	0	0
39	2,299	0	6,83	0,00000000000	4,359	0	3
40	2,414	0	7,00	0,00000000000	4,359	0	1
						jumlah	79,8146502

mean added wave resistance = 45,88818395